

II 39,880

**UNIVERSITATEA "DUNAREA DE JOS" GALAȚI
FACULTATEA DE ȘTIINȚE ȘI MEDIU**

**ANALIZA, MODELAREA
ȘI DESIGN-UL CLOPOTULUI BISERICESC**

REZUMATUL TEZEI DE DOCTORAT

OANCEA CONSTANTIN

**CONDUCĂTOR ȘTIINȚIFIC:
prof. dr. fiz. CONSTANTIN GHEORGHIES**



**GALAȚI
2011**

534
D-11

ROMÂNIA
MINISTERUL EDUCAȚIEI, CERCETĂRII, TINERETULUI ȘI SPORȚULUI
UNIVERSITATEA DUNAREA DE JOS DIN GALAȚI

Strada Domnească nr. 47, cod poștal 800008
 Galați, România
 E-mail: rectorat@ugal.ro



Tel.: (+4) 0336-130.109; 0336-130.108; 336-130.104
 Fax: (+4) 0236 - 461.353
www.ugal.ro

C 11485 / 08. 11. 2011

Către

Universitatea " Dunărea de Jos " din Galați vă face cunoscut că în data de 05.12.2011, ora 10.00, în sala FORINFO a Facultății de Științe și Mediu, va avea loc susținerea publică a tezei de doctorat intitulată: "ANALIZA, MODELAREA SI DESIGN-UL CLOPOTULUI BISERICESC", elaborată de domnul/doamna OANCEA CONSTANTIN, în vederea conferirii titlului științific de doctor în Domeniul de doctorat - Inginerie Industrială.

Comisia de doctorat are urmatoarea componență :

- | | |
|--------------------------------|---|
| Președinte: | <u>Prof.univ.dr.ing. Lucian-Piur GEORGESCU</u>
Decan – Facultatea de Științe și Mediu
Universitatea "Dunărea de Jos" din Galați |
| Conducător de doctorat: | <u>Prof.univ.dr.fiz. Constantin GHEORGHIIES</u>
Universitatea "Dunărea de Jos" din Galați |
| Referent 1: | <u>Prof.univ.dr.ing. Ioan MĂRGINEAN</u>
Universitatea POLITEHNICA București |
| Referent 2: | <u>Prof.univ.dr.ing. Ioan CARCEA</u>
Universitatea Tehnică "Gheorghe Asachi" din Iași |
| Referent 3: | <u>Prof.univ.dr.ing. Julian-Gabriel BÎRSAN</u>
Prorector-Universitatea "Dunărea de Jos" din Galați |
| Referent 4: | <u>Conf.univ.dr.ing. Gheorghe FLOREA</u>
Universitatea "Dunărea de Jos" din Galați |

Cu această ocazie vă transmitem rezumatul tezei de doctorat și vă invităm să participați la susținerea publică. În cazul în care doriti să faceți eventuale aprecieri sau observații asupra conținutului lucrării, vă rugăm să le transmiteți în scris pe adresa Universității, str. Domnească nr. 47, 800008 - Galați, Fax - 0236 / 461353.



SECRETAR DOCTORAT,

Ing. Luita AXINTE

Luita Axinte

Elaborarea acestei teze de doctorat a fost posibilă prin permanenta îndrumare a conducerii cercetării și susținătorul său: Prof. Dr. Fiz. Constantin Gheorghieș căruia doresc să-i mulțumesc pentru căldura și persuașiunea cu care a coordonat întreaga activitate de cercetare până la finalizarea lucrării.

Mulțumesc din suflet următoarelor firme cu care am colaborat:

- S.C. UZINSIDER Engineering S.A. Galați, pentru sprijin în anumite determinări, precum și soluționarea unor probleme ce au survenit în utilizarea unor programe în decursul realizării tezei de doctorat.
- S.C. RANCON S.R.L. Iași, care a asigurat în bună parte condițiile tehnice și materialele pentru turnarea unui clopot după tehnologia rezultată din planul de cercetare și analizele realizate la diferite lăcașuri de cult.



CUPRINS

INTRODUCERE	6
CAPITOLUL I - STADIUL CUNOASTERII	
CLOPOTUL: ISTORIC ȘI TRADIȚIE	8
CAPITOLUL II - FORMA CLOPOTELOR	9
II.1 Evoluția formei clopotelor	9
II.2 Stadiul actual privind proiectarea computerizată a design-ului clopotelor	11
CAPITOLUL III - MATERIALE UTILIZATE LA TURNAREA CLOPOTELOR	13
III.1 Aliaje utilizate la turnarea clopotelor	13
CAPITOLUL IV - ELEMENTE DE ACUSTICĂ FIZIOLOGICA ȘI MUZICALĂ RAPORTATE LA CLOPOTUL BISERICESC	15
IV.1 Elemente de acustică fiziológică și muzicală asociate clopotului bisericesc	15
IV.2 Nivele acustice	15
IV.3 Acustica clopotelor corelată cu forma acestora	16
IV.4 Optimizarea tehnologiei de fabricație în scopul îmbunătățirii calității sunetelor	18
CAPITOLUL V - CONTRIBUȚII PROPRII	
REZULTATE EXPERIMENTALE PRIVIND ANALIZA ACUSTICII UNOR CLOPOTE DIN ROMANIA	19
V.1 Analiza comparativă a clopotelor înregistrate din punct de vedere al armoniei sunetelor, greutății și modului de acționare	19
V.2 Programul de analiză Wavanal a sunetelor de clopote WAVANAL	21
V.3 Analiza semnalului utilizând programul SIGVIEW (SIGNAL VIEW)	22
V.4 Interpretarea statistică a datelor	23
V.5 Analiza sunetelor de clopote de la Mănăstirea Călui - Olt (nr.5)	24
V.6 Concluzii privind analiza sunetelor de clopote (nr. 5, 7, 8, 15, 20): DO2 - RE2 - MI2	29
V.7 Concluzii privind analiza sunetelor de clopote (nr. 9,10, 19): MI1 - SOL1 - SI - RE2	35
V.8 Rezultate experimentale obținute la măsurarea nivelului de presiune acustică cu sonometrul Peak Tech 5035	41
CAPITOLUL VI - REZULTATE EXPERIMENTALE PRIVIND CORELATIA DINTRE ANALIZA SPECTRELOR SUNETELOR, ANALIZA CHIMICĂ SI ACORDAREA MUZICALĂ A CLOPOTELOR DE LA MĂNĂSTIRILE: COCOŞ, SAON, CELIC-DERE	44
VI.1. Analiza spectrelor sunetelor de la mănăstirile: Cocoş, Saon, Celic-Dere	44
VI.2. Analiza chimică a clopotelor de la Mănăstirile: Saon și Celic-Dere	45
VI.3. Corelații frecvență, nota muzicală, nivel de presiune sonora L _{Aeq}	47
VI.4. Determinarea curbei de ponderare în frecvență Cz pentru clopoțele de la Mănăstirile Cocoş, Saon și Celic-Dere	48
VI.5. Dispozitiv pentru măsurarea cotelor interioare și exterioare ale clopotelor	49

CAPITOLUL VII - REZULTATE EXPERIMENTALE PRIVIND PROIECTAREA FORMEI CLOPOTELOR BISERICEȘTI	50
VII.1 Proiectarea formei clopotului în stil german	50
VII.2 Proiectarea formei clopotului în stil frantuzesc	51
VII.3 Proiectarea formei clopotului în stil rusesc	52
VII.4 Estimarea ecuațiilor ce conduc la reliefarea profilelor clopotelor realizate în diferite stiluri	53
CAPITOLUL VIII - STUDII COMPARATIVE PRIVIND TEHNOLOGIA DE FORMARE-TURNARE A CLOPOTELOR	57
VIII.1 Metoda clasică de formare cu miez din cărămizi fasonate	57
VIII.2 Metoda de formare cu model metalic fără plan de separație	59
VIII.3 Metoda de formare cu model metalic cu plan de separație și miez din amestec de formare	60
CAPITOLUL IX - REZULTATE EXPERIMENTALE PRIVIND REALIZAREA UNUI CLOPOT BISERICESC	61
IX.1 Contribuții privind turnarea unui clopot	61
IX.2 Parametrii de proiectare în vederea obținerii clopotului	62
IX.3 Execuția clopotului după proiect	62
IX.4 Determinarea compozitiei chimice a clopotului turnat	70
IX.5 Microscopie electronică cu baleaj	71
IX.6 Studii privind tonalitatea clopotului turnat la S.C. RANCON S.R.L. Iași	72
CAPITOLUL X – CONCLUZII GENERALE SI CONTRIBUȚII PROPRII	73
BIBLIOGRAFIE	75

INTRODUCERE

SCOPUL LUCRĂRII

Prezenta teză de doctorat realizează un *studiu complex asupra clopotului bisericesc din punct de vedere al design-ului, al producerii sunetelor în corelație cu forma, dimensiunile și compoziția chimică a aliajului, realizat prin operațiile tehnologice de elaborare- turnare.*

Scopul lucrării este de a corela datele analitice referitoare la calitatea aliajului destinat turnării clopotului - exprimată prin compoziția chimică, analiza frecvențelor parțiale provenite de la sunetele acestuia, precum și modelarea fizico-matematică în vederea îmbunătățirii formei clopotului, în vederea asigurării armoniei sunetelor, reducerii consumului de metal (aliaj) necesar turnării și obținerii unui design cât mai plăcut al acestuia.

Obiectivele lucrării prezentate în teză constau în:

1. realizarea unui dispozitiv mecanic în vederea stabilirii cotelor interioare și exterioare (diametrului și înălțimii), pentru obținerea profilului clopotelor bisericești;
2. efectuarea măsurătorilor (relevaул) necesare trasării profilului unor clopote aflate în diferite lăcașuri de cult;
3. studiul compoziției chimice a aliajelor din care s-au turnat clopotele de la mănăstirile Cocoș, Saon și Celic-Dere, în vederea stabilirii unui material destinat realizării clopotelor cu o acustică dorită;
4. analiza acustică a unor clopote aflate în diverse lăcașuri de cult (biserici și mănăstiri) din țară cu ajutorul unor software adecvate: Samuray, Wavanal și Sigview;
5. stabilirea corelației dintre parametrii dimensionali, compoziția chimică și acustica clopotelor de la cele trei mai importante mănăstiri din județul Tulcea (Cocoș, Saon și Celic-Dere);
6. proiectarea celor mai reprezentative tipuri de clopote (rusec, german, francez) în vederea analizării profilului acestora, tonalității și, totodată, configurației economice;
7. stabilirea ecuațiilor profilelor interioare și exterioare ce stau la baza proiectării ulterioare a şablonelor utilizate la generarea formei clopotelor;
8. proiectarea unui clopot pe baza concluziilor desprinse din analizele privind formă, materialul și acustica unor clopote aflate la diverse biserici și mănăstiri din țară și a schițelor rezultate în urma stabilirii profilelor celor mai importante ateliere de confectionare a acestor obiecte de cult;
9. turnarea unui clopot după un proiect realizat în urma cercetărilor efectuate;

10. crearea unei baze de date privind caracteristicile tipo-dimensionale, fizico-chimice ale aliajelor folosite la turnare și proprietățile acustice ale clopotelor aparținând unor lăcașuri de cult din România și corelația dintre ele, în vederea obținerii unui volum de date, a inventariilor lor, pe de o parte - unele fiind adevarate piese de patrimoniu, iar pe de altă parte, pentru asigurarea materialului preliminar altor studii și cercetări în domeniu.

Lucrarea este structurată pe capitulo, în modul următor:

- CAPITOLUL I, *Clopotul: istoric și tradiție.*
- CAPITOLUL II, *Forma clopotelor:* se prezintă succint evoluția formei clopotelor până la stadiul actual privind proiectarea computerizată a design-ului clopotelor: modelul matematic al clopotului, modificarea schiței clopotului pentru obținerea acustică dorite.
- CAPITOLUL III, *Materiale folosite la turnarea clopotelor:* proprietățile bronzurilor cu staniu și utilizarea lor și a materialelor feroase la turnarea clopotelor.
- CAPITOLUL IV, *Elemente de acustică fiziolologică și muzicală rapportate la clopotul bisericesc:* caracteristicile fiziológice ale sunetului, particularitățile producării sunetului, analiza vibrațiilor clopotului.
- CAPITOLUL V, *Rezultate experimentale privind analiza acustică a unor clopote din România,* ce au vizat următoarele: analiza comparativă a sunetelor de clopote cu soft-urile Wavanal, Sigview, FFT și statistică. Măsurarea nivelului echivalent de zgomot cu sonometru PEAK TECH 5035: determinări ale valorii în dB (A), în diferite puncte: atât în lăcașuri bisericești, cât și la limita de proprietate a acestora.
- CAPITOLUL VI, *Rezultate experimentale privind corelația dintre analiza spectrelor sunetelor, compoziția chimică și acordarea muzicală a clopotelor de la Mănăstirile: COCOȘ, SAON și CELIC-DERE,* utilizând instalațiile și soft-urile Samuray și Wavanal, respectiv spectrometrul Innov-X system.
- CAPITOLUL VII, *Rezultate experimentale privind proiectarea formei clopotelor bisericești:* sunt prezentate profile clasice de clopote și reliefate contribuțiile proprii privind metodele de proiectare ale unui

clopot cu masa de 7 kg și diametrul de 196,4 mm, precum și ecuațiile matematice reprezentative ale profilelor de clopote în variantele de proiectare.

➤ CAPITOLUL VIII, *Cercetări documentare comparative privind tehnologia de formare-turnare a clopotelor*; au fost analizate cazurile: metoda clasică de formare cu miez din cărămizi fasonate, metoda de formare cu model metalic fără plan de separație și metoda de formare cu model metalic cu plan de separație și miez din amestec de formare.

➤ CAPITOLUL IX, *Rezultate ale cercetărilor experimentale privind realizarea unui clopot bisericesc*, cuprinde contribuții proprii referitoare la: parametrii de proiectare în vederea obținerii clopotelor cu o sonoritate dorită, dirijarea în acest scop a procesului tehnicologic de formare și elaborare-turnare a aliajului și microscopie electronică cu baleaj pentru identificarea unei corelații "compoziție - structură - sonoritate dorită".

➤ CAPITOLUL X, *Conchuzile generale și contribuții proprii*, reliefază sintetic rezultatele cercetărilor efectuate și prezentate în teza de doctorat, precum și direcțiile de cercetare ce vor fi abordate în viitor.

VALORIZAREA REZULTATELOR TEZEI DE DOCTORAT

A) Lucrări publicate în reviste cotate ISI

OANCEA, Ctin; GHEORGHIIEŞ, C; FLOREA, G; FLOREA B., *XRD Studies on superficial layer of steel subjected to fatigue process*, Metalurgia International, Volume: 15, Issue: 11, pages: 66-68, published: 2010

OANCEA, Ctin; GHEORGHIIEŞ, C.; CONDURACHE-BOTA SIMONA, *Complex analysis of the bells' sounds from the "Saint Trinity" Cathedral from Alba Iulia*, European Journal of Science & Theology, December, 2011, vol.7, No.4, pag.103-119.

FLOREA B., HAGIOGLU, P.; GHEORGHIIEŞ, C.; CANTARAGIU,A.M.; OANCEA, Ctin; ATANASIU, O.V., *Corrosion behaviour of some metallic samples in NaCl solution*, Metalurgia International, No.11,2011, p.169.

B) Lucrări publicate în reviste BDI

GHEORGHIIEŞ, C.; LEVCOVICI, S.; PĂUNOIU, V.; GHEORGHIIEŞ, L.; OSTACHE, I.; OANCEA, Ctin, ALEXANDRU P., *XRD Analysis in front of a corrosion crack tip*, The Annals of "Dunarea de Jos" University of Galati, Fascicle IX, Metallurgy and Materials Science No. 1 – 2008, ISSN 1453 – 083X, PP.37-46.

GHEORGHIIEŞ, C.; GHEORGHIIEŞ, L.;OANCEA, Ctin;HAGIOGLU, P.;ATANASIU, O.V., *On the corrosion behavior of organic nanocomposite coatings*, The Annals of "Dunarea de Jos" University of Galati, Fascicle IX, Metallurgy and Materials Science, No. 2 – 2009, ISSN 1453 – 083X, pp.38-41.

OANCEA, Ctin; GHEORGHIIEŞ, C.; CONDURACHE-BOTA, S., *Comparative analysis of bell sounds from several Romanian orthodox monasteries and churches*, Journal of Science and Art, 2010; 12(1):199-204

G. FLOREA; C. OANCEA; C. GHEORGHIIES; L. GHEORGHIIES - *New Achievements in Manufacturing of Church Bells*, The Annals of "Dunarea de Jos" University of Galati. Fascicle IX. Metallurgy and Materials Science, No. 3, sept. 2010, pp.42-47, ISSN 1453 – 083X

GHEORGHIIEŞ, C.; OSTACHE,I.; GHEORGHIIEŞ, L.; OANCEA, Ctin, *Using of Laser Radiation in micromachining process of metals*, Nonconventional Technologies Review - No. 4 /2007, p.17-22

C) Cărți

Hirsch, Jürgen / Skrotzki, Birgit / Gottstein, Günter (Editors), Aluminium Alloys, Their Physical and Mechanical Properties, Edition - October 2008, Wiley-VCH, Weinheim,

GHEORGHIIEŞ, C.; CIOCAN, O.; PAUNOIU, V.; OANCEA, Ctin, *Structural Changes Induced by hydrostatic Extrusion Process of Aluminum*, pag.1850-1858.

D) Lucrări susținute și prezentate la diverse Sesiuni științifice naționale sau internaționale

GHEORGHIIEŞ, C.; CIOCAN, O.; PAUNOIU, V.; OANCEA, Ctin, *Structural Changes Induced by hydrostatic Extrusion Process of Aluminum*, Proceedings of ICAA11, Aachen, Germany, Sept.24-27, 2008, vol. 2, pp.1280-1285.

FLOREA, G.; OANCEA, Ctin; GHEORGHIIEŞ, C., *New Achievements in Manufacturing of Church Bells*, ARCAST 2010, pp. 155-157

STADIUL CUNOAȘTERII

CAPITOLUL I CLOPOTUL: ISTORIC ȘI TRADIȚIE

Încă de la începutul Epocii Bronzului, toate orașele și satele din China aveau câte un turn ce adăpostea un clopot destinat anunțării orei; sună la apariția unei incendii sau a unor calamități naturale. În India clopotele devin sinonime cu instrumentele muzicale. După gândirea budistă sunetele instrumentelor muzicale se uneau în clopot.

Între anii 1520 și 1521 în orașul Pskov, trei frați Mikhail, Onufry și Maxim Andreev au turnat două clopote pentru Mănăstirea Spaso unul cântărind 3500 pounds (1583 kilograme) și celălalt 7000 pounds (3171 kilograme) o greutate destul de mare și pentru zilele noastre, în timp ce cele mai mari clopote turnate în Pskov nu au depășit 14000 pounds (6342 kilograme) [75;103].

În anul 1551 în timpul domniei Țarului Ivan al IV-lea a fost turnat un clopot având o greutate de 77500 pounds (35107 kilograme), acest clopot datorită timbrului muzical deosebit a fost numit „Lebăda” (fig.1.1).

În 1599, Andrej Chokhov, considerat fondatorul școlii de turnătorie din Moscova toarnă la Kremlin Clopotul Godunov având o greutate de aproximativ 38 de tone. Acest clopot va fi retopit de două ori, prima dată în 1654 de Emilian Danilov, acesta îi crește greutatea la 144,5 tone, Danilov a turnat în 1655 un alt clopot cântărind aproximativ 155 de tone. A doua retopire a avut loc în 1735 fiind realizată de Mikhail Matorin care a mărit greutatea clopotului la 218 tone, acest clopot fiind celebrul „Tsar-kolokol” (fig.1.2).



Fig. 1.1. Clopot cu masa 700 kg, turnat în secolul al XV-lea în timpul lui Ivan cel Groaznic



Fig. 1.2. Clopotul Țar

În ceea ce privește originea clopotelor românești, în Dobrogea, în sec. III-II i.c.n. este localizată o descoperire care conține de astă dată clopotul ca simbol. Este vorba despre sarcofagul sculptat în marmură alb-violacee, descoperit la Tomis.

Clopotul este atestat în continuare și la *daci liberi* (ex. Mătăsaru, jud. Dâmbovița), dar mai ales în teritoriul roman, fiind folosit în cultul Cybelei, pentru a alunga spiritele malefice, pentru protecția turmelor și a recoltelor, ca piesă de harnășament etc. În aceeași perioadă a Daciei Traiane, în Dobrogea, au fost descoperiți trei clopoței de bronz: unul la Tomis și ceilalți doi de la Adamclisi - teritoriul așezării romano-bizantine de la Tropheum Traiani, fig.1.3 și fig.1.4 [16].



Fig.1.3 Tomis – sec. III e.n.



Fig.1.4 Adamclisi sec. V-VI e.n.

Clopotele au fost considerate **simbol al vestirii Evangheliei**. Părintele Alexander Schmemann, în celebra sa lucrare “Euharistia - Taina Împărătiei”, consideră că Sfânta Liturghie este, în primul rând, o Taină a Adunării. *Hristos a venit „pentru ca pe fiu împrășiați ai lui Dumnezeu să-i adune într-ună”* (Ioan 11, 52). Inscriptiile întâlnite pe vechile clopote creștine reamintesc rostul lor ocrotitor, de mântuire și vestire, adeverind *cuvintele Scripturii*, care zic: **“În tot pământul a ieșit vestirea lor”**.

În Țările Române clopotele au cunoscut o răspândire și utilizare foarte largă, fiecare biserică, mănăstire sau schit având unul sau mai multe clopote. Cel mai vechi clopot se află la Mănăstirea Cotmeana, ctitorie a lui Mircea cel Bătrân.

CAPITOLUL II FORMA CLOPOTELOR

II.1 EVOLUȚIA FORMEI CLOPOTELOR

Clopotele au avut de-a lungul timpurilor diverse forme: patrată, rectangulară, eliptică, ascuțită-elicptică, în formă de bol, cupă, lotus, butoi, cu obadă netedă sau rectangulară.

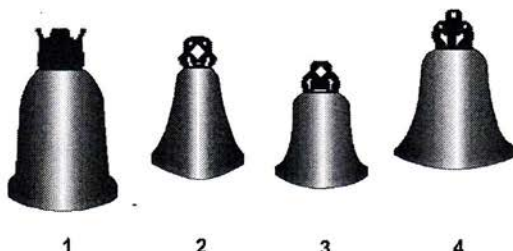


Fig. 2.1. Clopote de diferite forme: 1 – forma „stup de albine”, anul 1124; 2 – forma „calup de zahăr”, anul 1175; 3 – forma „cupă”, secolele XIII – XIV; 4 – forma „gotică”, anul 1389

Pe primul plan a stat stabilirea formei artistice necesare. În acest sens la turnarea clopotelor s-a trecut printr-o perioadă de imitație a contururilor unor forme naturale – „stup de albine” în secolele al XI-lea și al XII-lea; „calup de zahăr”, „ceasăcă”, „cupă” în perioada cuprinsă între secolul al XII-lea și al XIV-lea, până s-a ajuns la forma de lalea a clopotului modern, a cărei apariție poate fi atribuită epocii gotice de unde și denumirea de „formă gotică” (fig. 2.1) [16;18].

Evoluția formei clopotului în ultimii 300 de ani, se poate observa din figura 2.2.

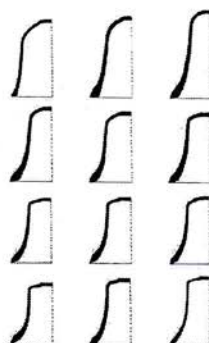


Fig. 2.2. Evoluția formei clopotului în ultimii 300 de ani [48]

Datorită formelor diferite ale grosimii clopotului, proprietățile pot fi împărțite în diferite categorii, și anume: a. după aspectul muzical: distincția se bazează pe grosimea peretelui clopotului. O distincție va fi găsită între una și a doua, a treia și a patra;

b. după aspectul exterior: în funcție de design-ul lor, se disting după construcție și li se atribuie diferite stiluri de forme. Aceste forme sunt: stup, zahăr, intermediară, pereți gotici (grosimea sa), grosimi secundare, baroc și formă modernă.

c. după greutatea peretelui (grosimea). Această clasificare a clopotelor este comună: ușoare, medii și coaste grele.

Particularitatea acestei linii o constituie estetica antropomorfă specifică a formei clopotelor, care s-a răspândit asupra terminologiei din practica turnătorilor și în denumirea părților componente ale clopotelor: urechi, limbă, cap, buză, umăr, grosimea perete (coană) etc., figurile 2.3 și 2.4.

Sunetul generat prin lovirea unui clopot se compune în principal din: fundamentala (prime), octava inferioară, quinta, terță și octava superioară (fig. 2.5).

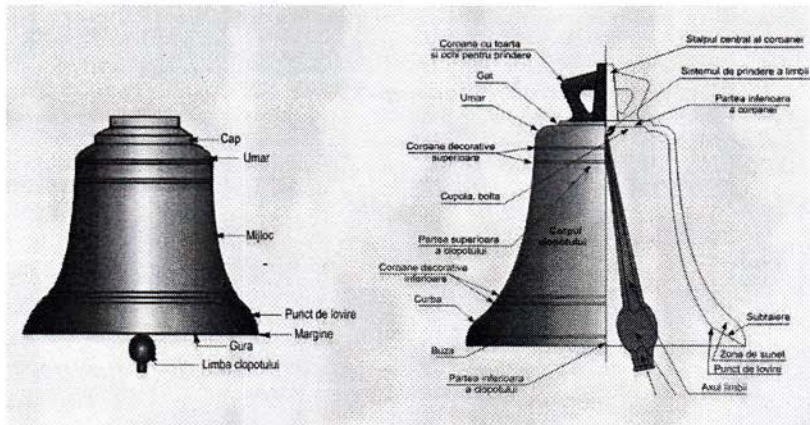


Fig. 2.3. Denumirea părților componente ale clopotelor [3]

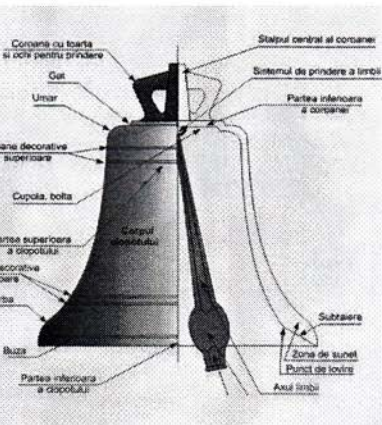


Fig. 2.4. Denumirea elementelor clopotului rusesc [80]

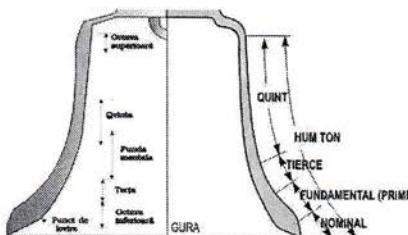


Fig. 2.5. Dispunerea principalelor parțiale pe înălțime în cazul unor clopote europene [32;39]

Prin forma sau învelișul clopotului se înțelege profilul clopotului care arată atât peretele de la marginea de jos până la zona de sus și la bolte, dar și proporțiile corpului clopotului, descriind astfel configurația (forma) acestuia. De structura lui depinde configurația armonică (tipul clopotului), precum și tonalitatea. Partea superioară, arcuită, poartă numele *bolță*. În cel mai de sus punct al ei se situează *coroana*, care la rândul ei este alcătuită din mai multe brațe sau mâneră, dispuse în jurul unei bucle. Clopotele moderne pot avea, în locul unei coroane cu brațe, o flanșă rotundă numită și coroană-disc. De regulă, coroanele nu se fixează direct pe bolță, ci pe un postament plat, numit *platou* [158]. Zona puternic curbată unde forma clopotului coboară abrupt, poartă numele *umar*. De el este legat peretele sau *învelișul*, care formează cea mai

mare parte a clopotului. Cea mai de sus parte a învelișului, direct legată de umărul clopotului poartă numele de *gât*. Învelișul se termină la *cercul de impact*, punct în care și curbura clopotului își modifică direcția. În acest loc, clopotul are cea mai mare rezistență a peretelui, unde este activ pendulul (*limba clopotului*). Cercul de impact se termină la marginea de jos cu tăietura, acolo unde clopotul atinge cel mai mare diametru.

În toate clopoțele, creșterea diametrului conduce la scăderea înălțimii sunetului, în timp ce o creștere corespunzătoare a grosimii (și rigidității în consecință) conduce la ridicarea înălțimii sunetului. *O grosime adevarată a zonei de sunet este deosebit de importantă*, fig.2.6.

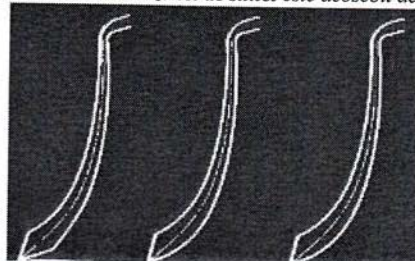


Fig. 2.6. Profile tipice de clopoțe de turn:
a - profil de clopot, stil franțuzesc; b - profil de clopot, stil german; c) profil rusesc [39,50,102]

Limba clopotului trebuie să lovească, de asemenea, în punctul corect al zonei de sunet; abateri ușoare în sunet pot fi observate, în funcție de punctul de lovire.

O limbă de clopot prea grea, nu numai că produce distorsiunea tonalității, dar poate deteriora fatal clopotul.

II.2 Stadiul actual privind proiectarea computerizată a design-ului clopotelor

Design-ul clopotului urmărește realizarea desenelor, la scară, ale clopotului, limbii, coroanei și contragreutății, cât și o simulare a mișcării de rotație a clopotului și a limbii.

Desenele urmăresc obținerea unui design cât mai frumos și o funcționalitate cât mai bună a tuturor componentelor. Prin desen și simularea mișcării clopotului și a lovirii lui de către limbă se urmărește și obținerea unei acustici mai bune [52;76].

➤ Proiectarea asistată de calculator a clopotelor

Realizarea unui program care să conducă la proiectarea asistată de calculator a clopotelor s-a făcut plecând de la dependența formă-acustică. Principalul factor care determină sunetul unui clopot este profilul acestuia, după care se confectionează şablonanele care servesc pentru obținerea, prin rotire, a formei interioare și exterioare.

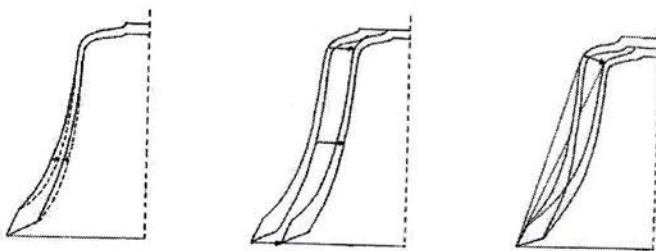


Fig. 2.7. Modificarea coastei clopotului pentru obținerea tonului fundamental dorit

În timp s-a observat că înălțimea principalului ton al clopotului depinde considerabil de grosimea peretelui acestuia în locul lovirii de către limbă. Astfel, din figura 2.7 se observă că orice modificare a profilului clopotului s-a făcut cu păstrarea acestei grosimi, fie că s-a redus grosimea peretelui (fig. 2.7, a) sau diametrul (fig. 2.7, b), fie că s-au redus înălțimea și

diametrul superior (fig. 2.7, c). Dimensionarea grosimii peretelui pe înălțimea profilului este determinantă pentru tot clopotul și pentru acustica lui [24].

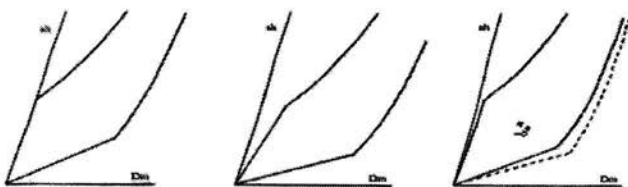


Fig. 2.8. Modificarea bazei clopotului pentru obținerea acusticii dorite [36;73;94]

Așa cum se arată din figura 2.8 obținerea acusticii dorite se poate face și prin modificarea formei bazei clopotului, fără modificarea diametrului de bază, respectiv a dimensiunilor trunchiului de con în care este înscriș clopotul.

➤ **Design-ul computerizat al clopotului**

Astăzi în majoritatea turnătorilor lumii se folosesc computerul pentru design-ul clopotelor. AUTODESK INVENTOR este un software 3D comprehensive, flexibil pentru design, simularea produselor, posibilitate de creație și design-ul comunicării.

Cu ajutorul softurilor specializate se urmărește realizarea geometriei viitorului clopot, pornindu-se de la secțiunea clopotului; analiza: vibrațiilor clopotului, acusticii clopotului, proprietăților mecanice și metalurgice ale clopotului, uzurii clopotului, tensiunilor la care este supus clopotul în urma bătăilor limbii, intensității impactului limbii asupra clopotului, simulării mișcării și analiza sunetelor clopotului.

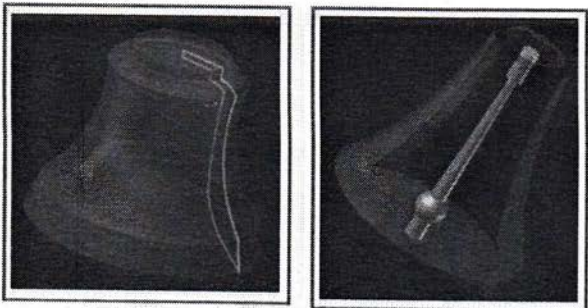


Fig. 2.9. Design clopot – în programul Autodesk Inventor

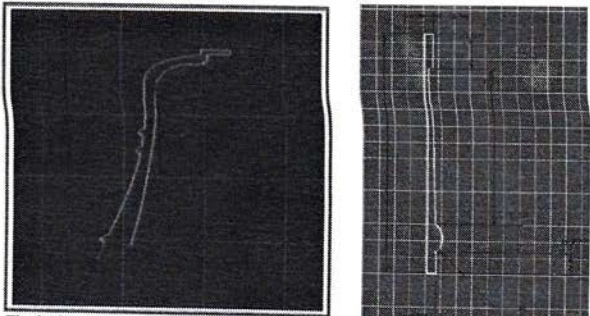


Fig. 2.10. Dimensionarea profilului clopotului

Fig. 2.11. Dimensionarea profilului limbii

Crearea tridimensională a limbii clopotului

Imaginea 3D a limbii clopotului se realizează pe baza profilului bidimensional din fig. 2.11 și redată în fig. 2.12.



Fig. 2.12. Imagini 3D ale limbii clopotului realizate în programul Autodesk Inventor

CAPITOLUL III MATERIALE UTILIZATE LA TURNAREA CLOPOTELOR

III.1 Aliaje utilizate la turnarea clopotelor

În prezent cel mai bun aliaj folosit la realizarea clopotelor este considerat bronzul cu 70-80% Cu, 20-22% Sn și 1-2% alte elemente, care, în anumite cazuri nu depășesc 1%.

Compoziția bronzului variază de la aproximativ 70% Cu și 30% Sn (în raport de masă) până la 90% Cu și 10% Sn. Majoritatea clopotelor sunt confectionate din bronz cu o compoziție de 80% Cu și 20% Sn, deși aceste procente pot fi modificate în funcție de dimensiunile clopotului. În bronzul utilizat la turnarea clopotelor de dimensiuni mari este folosit mai puțin staniu (maxim 18%), pe când în bronzul utilizat la turnarea clopotelor de mici dimensiuni procentul de staniu poate ajunge până la 25%. Compoziția aliajului determină duritatea clopotului. Proporția cupru-staniu este extrem de importantă pentru calitatea clopotului, nu numai din punct de vedere al durabilității, ci și al rezonanței, duratei sunetului și al timbrului. În figura 3.1 se prezintă diagrama de echilibru termic a sistemului binar Cu-Sn, cu evidențierea aliajului CuSn14.

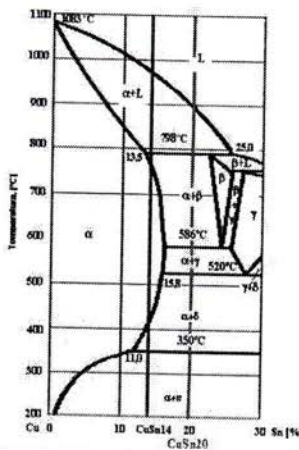


Fig. 3.1. Diagrama de echilibru termic a sistemului binar Cu-Sn,
vizualizare domeniul conținutului procentual 0÷30 % Sn [14;66]

Proprietățile mecanice ale bronzurilor cu staniu variază în funcție de conținutul de Sn, astfel: în domeniul 0 ÷ 8 % Sn, în care aliajele sunt monofazice, soluția solidă α este plastică și imprimă bronzurilor o rezistență mecanică bună combinată cu valori ridicate ale alungirii; în practică numai bronzurile cu staniu cu un conținut cuprins între 5 ÷ 6 % Sn au o structură constituită în întregime din grăunți de soluție solidă α; între 8 ÷ 10 % Sn, apariția

eutectoidului ($\alpha + \delta$) dur și fragil face să crească proprietățile de rezistență menținându-se aproximativ constantă alungirea; când conținutul în staniu ajunge la 10÷20 %, apare soluția solidă β care îmbunătățește rezistența la rupere (ex. CuSn14 - alungirea A, 2%), dar la aproximativ 18 % Sn alungirea devine nulă.

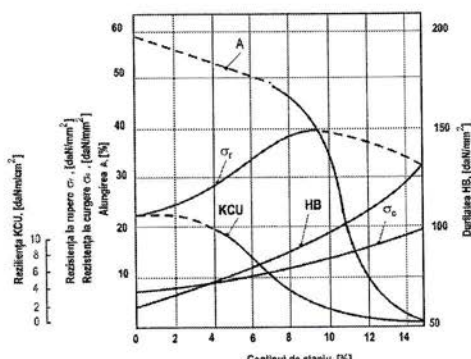


Fig. 3.2 Variația caracteristicilor mecanice ale bronzurilor cu Sn
în funcție de conținutul de Sn

La creșterea conținutului în staniu, singurul parametru care înregistrează o creștere continuă este duritatea fapt explicat de apariția în structură a fazelor β și a eutectoidului ($\alpha + \delta$) constituenți fragili și cu duritate mare.

În fig. 3.2 se prezintă variația caracteristicilor mecanice, ale aliajelor Cu-Sn în funcție de conținutul procentual de staniu, pentru reliefarea proprietăților mărcii CuSn14. La conținuturi de până la 14 % Sn, structura - soluție solidă α - este relativ moale și plastică (la cald și la rece).

Principalul factor care determină proprietățile sonore ale bronzului pentru clopoțe îl reprezintă structura sa, mai ales prezența fazei δ .

Asupra caracteristicilor bronzului o anumită influență o au și alți factori cum ar fi: puritatea, dimensiunile grăunților, porozitatea, factori care depind de tehnologia de turnare.

Caracteristicile sonore deosebite ale acestor aliaje le recomandă ca singurul material rațional pentru confectionarea clopotelor.

Adaptarea compoziției se alege în aşa fel încât să se asigure raportul celor două faze: δ foarte fragilă care imprinde proprietățile sonore ale aliajului și faza α plastică să permită rezistența mecanice (rezistență și plasticitate).

Din punct de vedere al *caracteristicilor sonore*, materialelor li se impune o bună generare și transmitere a sunetelor, care iau naștere la lovire, adică o perioadă mare de oscilație. Din punct de vedere al *proprietăților de turnare* și al celor de exploatare, bronzul cu staniu s-a dovedit a fi un aliaj cu o bună fluiditate și o ridicată rezistență la coroziune.

Prezența fierului și a plumbului în bronzul pentru clopoțe determină o reducere a duratăii iar sunetul va avea de suferit. Elemente cum ar fi: aluminiul, fosforul, magneziul, bismutul, fierul, cobaltul, sau nichelul înrăutățesc caracteristicile sonore ale clopotului.

Proprietățile chimice. Bronzurile cu staniu au o bună rezistență la coroziune în prezența agenților atmosferici, a apei de mare, a unor săruri, precum și în alte medii datorită formării unui strat protector de carbonat bazic la suprafața pieselor (malahit, azotit).

Proprietăți mecanice. Bronzurile cu staniu au culoarea în funcție de conținutul de staniu din aliaj astfel: bronzurile cu staniu ce conțin până la 8 % Sn au o culoare galben roșiatică; bronzurile cu staniu cu un conținut de aproximativ 14 % Sn au o culoare gălbuiu; bronzurile cu staniu cu un conținut de 27 % Sn au o culoare cenușie.

Pentru a îmbunătăți proprietățile mecanice, în ultimul moment al turnării, se aplică bronzurilor cu staniu fenomenul de modificare prin adăugarea în topitură a unei cantități de B,

V, Cr, Zr, Ti, care formează compuși greu fuzibili cu rol de centri de cristalizare forțată finisând structura.

Proprietățile de turnare Datorită intervalului mare de solidificare, bronzurile cu staniu, au o fluiditate mică și o tendință de creștere a porozității pieselor turnate. Pentru a elimina aceste deficiențe în aliajele de turnătorie se adaugă zinc, pentru a restrâng intervalul de solidificare și pentru a diminua tendința de segregăție și porozitate.

Bronzurile au o conductibilitate termică și electrică ridicată care se micșorează odată cu creșterea conținutului de Sn sau a celorlalte elemente de aliere și în special a impurităților.

Elasticitatea și densitatea mediului de propagare determină viteza de propagarea sunetului prin acel mediu. Bronzul care este mai greu și mai dur conține cantități mari de staniu și puțin plumb, într-un aliaj cu mai mult de 25% staniu va avea un punct de topire scăzut, devenind fragil și sensibil la fisurare. Aliajul care se situează la limita domeniului de fragilitate este bronzul cu 20-25% Sn. Ar fi vorba de două cerințe contradictorii: pe de o parte căt mai mult staniu pentru a asigura în clopot căt mai multă fază și pentru a-i asigura duritatea și caracteristicile sonore, iar pe de altă parte nu prea mult staniu pentru a-i asigura elasticitatea.

Trebuie să se respecte compoziția chimică, ținând cont de un raport strict între cele două faze:

- fază și foarte fragilă, care imprimă caracteristicile sonore ale aliajului;
- fază plastică, care generează proprietățile de rezistență mecanică și plasticitate.

Din punct de vedere al caracteristicilor sonore, materialelor li se cere o bună generare și transmisie a sunetelor, care iau naștere la lovire, adică o perioadă mare de oscilație. Existența unei bune elasticități (o perioadă de timp mare până la stingerea sunetului), a unei densități mari și a unei porozități minime fac ca materialele să aibă bune proprietăți sonore.

Din punct de vedere al proprietăților de turnare și al celor de exploatare, bronzul cu staniu s-a dovedit a fi un aliaj cu o bună fluiditate și o ridicată rezistență la coroziune.

CAPITOLUL IV

ELEMENTE DE ACUSTICĂ FIZIOLOGICĂ ȘI MUZICALĂ RAPORTATE LA CLOPOTUL BISERICESC

IV.1. Elemente de acustică fiziolologică și muzicală asociate clopotului bisericesc

Undele elastice cu frecvențe cuprinse între limitele 16 Hz și 20 kHz, produc o senzație auditivă și se numesc *unde sonore* sau *sunete*.

Calitățile sunetului desemnează tipurile de efecte subiective corespunzătoare caracteristicilor cantitative ale undei incidente. În funcție de senzație auditivă produsă, sunetele se deosebesc după înălțime, timbru și intensitate (tăria).

Sunetul prezintă următoarele calități: *înălțimea* corespunzătoare *frecvenței*, *tăria* corespunzătoare *intensității*; *timbrul* corespunzător *conținutului* în armonici al unui sunet compus [13;27;77].

IV.2 Nivele acustice

LEGEA WEBER - FECHNER, arată că *dacă intensitatea sonoră crește în progresie geometrică, atunci intensitatea auditivă crește în progresie aritmetică*.

Dacă intensitatea excitării crește în progresie geometrică, intensitatea senzației crește în progresie aritmetică. Se definește *nivelul de intensitate sonoră L* măsurat în beli (B) (după numele lui Bell) sau în neperi (după numele lui Neper):

$$L = \lg \frac{I}{I_0} \text{ în B sau } L = \ln \frac{I}{I_0} \text{ în Np}, \quad (4.1)$$

unde: I_0 este intensitatea de referință, de obicei pragul auditiv inferior la 1 kHz: $I_0 = 10^{-12} \text{ W/m}^2$.

Nivelul intensității auditive

Dacă alegem intensitatea sonoră de referință I_0 variabilă cu frecvența, *corespunzător pragului auditiv inferior*, adică corespunzător lui $S(I_0, \nu) = 0$, deci $I_0(\nu)$, obținem formula *intensității senzației*

în funcție de intensitatea excitării: $S(I, \nu) = k(\nu) \lg \frac{I(\nu)}{I_0(\nu)}$ (4.2)

unde $I_0(\nu)$ descrie curba pragului auditiv inferior (fig.4.1). Normând constanta $k(\nu)$ la valoarea $k = 10$ pentru $\nu = 1 \text{ kHz}$, formula (4.2) definește *nivelul intensității auditive sau iaria sunetului în phoni (phon)*.

Prin urmare, *iaria sunetului exprimată în phoni este egală cu nivelul sonor exprimat în decibeli al sunetului de referință de 1 kHz care produce aceeași intensitate a senzației auditive.*

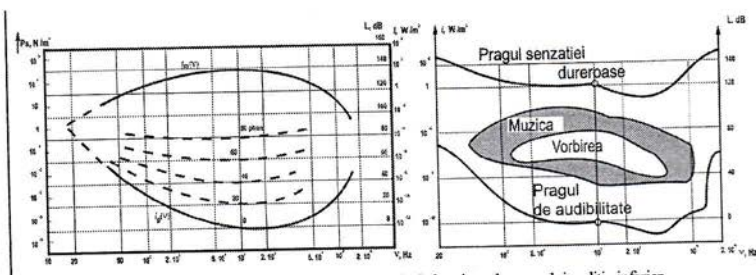


Fig. 4.1. Curbele pragului auditiv, în care $I_0(\nu)$ descrie curba pragului auditiv inferior, iar $I_m(\nu)$, intensitatea maximă a pragului auditiv superior.

IV.3. Acustica clopotelor corelată cu forma acestora

Limba de clopot lovește clopotul lângă buză, în partea cea mai groasă a arcului, o regiune în care apar mișcarea elastică maximă și rezonanță. Numărul mare de frecvențe produse de sunetul său este fiecare asociat cu caracteristica modurilor de vibrație conținute în clopot. Astfel de linii nodale ale relaxării sunt găsite atât pe verticală în jurul clopotului (numite *meridiane*), cât și pe orizontală la cote diferite (numite *paralele*).

Această mișcare radială dă naștere la alta, cunoscută sub numele de mișcare tangențială, care este o oscilație de compresie-extindere a particulelor peretelui clopotului, fiind complementară cu mișcarea radială și rezultatul logic al deformărilor proprii.

Clopotul poate fi considerat ca o serie de felii subțiri verticale unite împreună. Acest tip de mișcare constă în patru puncte-noduri pe circumferință care nu se deplasează radial de la axa clopotului. Pe conturul circumferinței clopotului sunt prezентate diviziunile nodale (unde linile intrerupe se intersectează) ale părților importante sau pozițiile meridianelor verticale (fig. 4.2, a, b și c) [120; 139; 140; 156].

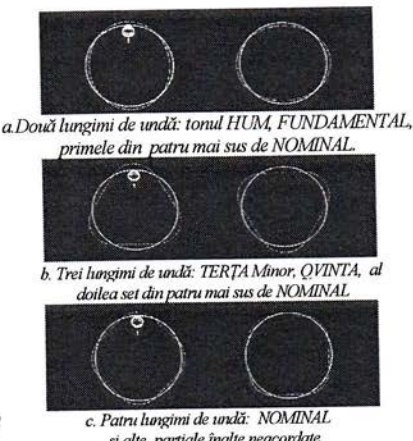


Fig.4.2

c. Patru lungimi de undă: NOMINAL și alte părți ale clopotului neacordate

Aceste patru noduri echidistante pe verticală, care se întind de la baza spre cap-liniile de repaos sau meridianele, sunt poziționate în funcție de locul unde lovește limba clopotului. Întrucât deformarea inițială a clopotului nu este o elipsă pură, sunt produse alte meridiane nodale. Aceasta a fost determinată ca segmente de vibrare care produc parțiale ale Terței minor și Quintei ce sunt separate de șase meridiane nodale care formează trei lungimi de undă, cele care produc Nominalul (octava fundamentalului) sunt separate de opt meridiane ce formează patru lungimi de undă. Frecvențele mai mari conțin diferite diviziuni nodale echidistante, numerotate 6, 8, 10 și 12, care coincid în parte cu cele patru linii de bază nodale.

Liniile orizontale de la B la H arată aproximativ pozițiile nodale paralele cu vibrațiile verticale care produc parțialele importante ale clopotului. Tonul HUM -zumzet (frecvența cea mai mică), are un singur nod, capul (fig. 4.3). Forma sa geometrică, dimensiunea și grosimea peretelui sunt responsabile pentru lungimile de undă ale diferitelor frecvențe. Cea mai pronunțată frecvență este într-o corelație matematică simplă cu fundamentalul (fig.4.4).

Cu excepția clopotelor mai mici, nominalul este inițial puternic la impact, dar se diminuează mult mai rapid decât primele trei parțiale, în fapt, *corelația intensității tuturor componentelor se modifică în funcție de timp. Clopotul nu este unic în această privință, deoarece s-a demonstrat că același fenomen se produce într-un sir de vibrații.*

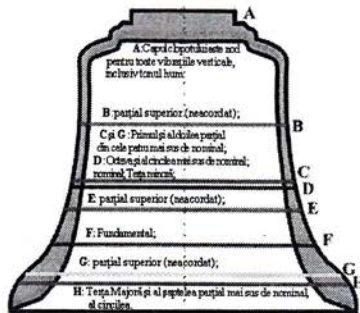


Fig. 4.3. Prezentarea pozițiilor nodurilor paralele ale vibrațiilor verticale care produc parțialele importante în clopot

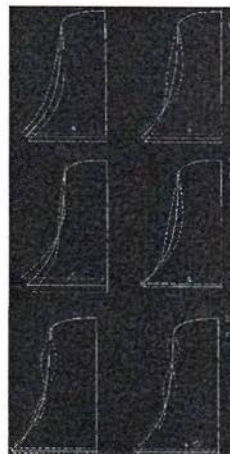


Fig. 4.4. Prezentarea diagramelor de vibrații verticale în clopot

Tonalitățile diminuate se obțin din pierderea de energie elastică, deoarece trece în căldură (amortizare internă a metalului) și de la energia de radiație acustică (amortizare externă sau acustică). Cu alte cuvinte, rigiditatea naturală a materialului acionează reducându-i mișcarea vibratorie, de asemenea și rezistența aerului din mediu înconjurător și în consecință, fricțiunea. Putem concluziona faptul că parțialele inițiale relativ tari în clopote de diferite dimensiuni, variază apreciabil cu excepția tendinței generale a tuturor parțialelor superioare de a se estompa mai repede decât cele inferioare.

Când este lovit de limbă, clopotul vibrează într-un mod complex. În principiu, mișcarea sa de vibrație poate fi descrisă în termenii unei combinații lineare de moduri normale de vibrație ale căror amplitudini sunt determinate de distorsiunea clopotului când acesta este lovit. În practică, descrierea devine complexă, datorită unui mare număr de moduri normale a caracterului divers care contribuie la mișcare [17;41].

Nota de bătaie este de interes pentru psihoacusticieni, din cauză că este un ton subiectiv creat de trei armonice parțiale puternice apropiate în sunetul clopotului. Octava sau nominala, a douăsprezecea și octava superioară normală au frecvențe aproape în raportul 2:3:4. Urechea percepce ca fiind aceste parțiale a unui fundamental lipsă, care este auzit ca notă de bătaie sau ca notă de bătaie primară. Sunetele clopotelor sunt de obicei reglate în tonalitatea majoră, astfel încât intervalul în semitonuri dintre două clopote consecutive dintr-un grup este același cu intervalul dintre două note consecutive. Sunetele clopotelor din tonalitatea minoră pot fi trecute la tonalitatea majoră prin adăugarea unui clopot tenor a căruia înălțime este mai scăzut cu un ton decât al tenorului existent. Înălțimea unei note este descrisă exact cu frecvența măsurată în Hz ce reprezintă numărul de vibrații complete ale sunetului.

Scara Naturală uneori numită și *Scara Diatonică* se bazează pe rapoarte simple probabil derive din vibrațiile corzilor de lungimi diferite, intervalul dintre fiecare notă și nota de bază este considerat un interval „perfect”. *Scara Egal Temperată* permite o aranjare completă a melodiei și armoniei în muzică și modulară nelimitată în orice tonalitate. Există trei moduri diferite cu ajutorul cărora se poate arăta nota ce determină înălțimea sunetului unui clopot și anume prin *notă de lovire* și *frecvența nominală*.

IV.4. Optimizarea tehnologiei de fabricație a clopotelor în scopul îmbunătățirii calității sunetelor

Au fost create diferite modele cu elemente finite, incluzând elemente cu funcții pătratice. Frecvențele vibrațiilor au fost calculate pentru a fi comparate cu datele măsurate acustic ale sunetului de clopot. Mișcarea clopotului a fost simulață cu o suprapunere modală și integrare ne-liniară în timp. Raportul ideal între frecvențe este: 1:2:2:4:3:4:5:... Cu toate acestea, clopotele reale nu ating perfecțiunea în formă, fiind necesară acordarea. Modele cu elemente finite au fost utilizate pentru a calcula modurile formelor cu algoritmul subspațial. Desenele modelelor de vibrații sunt prezentate în figura 4.5, fiind utilizate pentru corespondența parțialelor și frecvențelor.

a. Hum



b. Prime



c. Tierce



Fig.4.5 Moduri de vibrație (cu alb = rețea nedeformată), [44;73]

CAPITOLUL V

REZULTATE EXPERIMENTALE PRIVIND ANALIZA ACUSTICII UNOR CLOPOTE DIN ROMÂNIA

Sunete de clopote au fost înregistrate, editate și transformate în formate de tip: .wav sau .mp3 cu software Sound Forge la Radio PRO FM 92,4 MHz Galați, pentru a fi analizate cu software Wavanal și SigView Spectral Analyzer, în scopul caracterizării acustice clopotelor provenind de la 25 lăcașuri de cult:

- Patriarhia Română - București.
- Catedrale: Reîntregirii Neamului - Alba Iulia; Ortodoxă Nouă - Arad; Ortodoxă - Oradea;
- Biserici Ortodoxe: Ploiești; Șerbaniești; Balta Albă; Bârlad; Micalaca Veche; Mizil; Căiuți; Satul Ocna Dejului; de rit vechi Jurilovca; Ghimbav; Matca; Vashui;
- Biserica "Neagră" - Brașov.
- Mănăstiri: Călu - Olt; Caraiman - Bușteni; Cașin - București; Izvorul Mureșului - Miercurea Ciuc; Putna - Suceava; Morisena; "Mihai Vodă Viteazul" - Câmpia Turzii; Neamț.

Sunetele înregistrate au fost comparate cu sunete marți (existente în arhivă) constând în sunete de clopote din diferite armonii: SOL, SI, RE, MI, LA, FA, DO, în vederea constatării diferențelor acustice. Au fost prezentate pe scurt locașurile sfinte ale căror clopote au fost menționate în tabelele 5.1 și 5.2: *Analiza comparativă a clopotelor înregistrate din punct de vedere al armoniei sunetelor, masei și modului de acționare* [55;56;59;60].

V.1 Analiza comparativă a clopotelor înregistrate din punct de vedere al armoniei sunetelor, greutății și modului de acționare

Tabelul nr.5.1

Nr. crt.	LOCATIA	NUMĂRUL de CLOPOTE	TONUL	DIAMETRU L [cm]	MASA [kg]	DURATA [min]
1	2	3	4	5	6	7
1.	Catedrala Reîntregirii Neamului "Sfânta Treime" "Sfinții Arhangheli Mihail și Gavril" Alba Iulia - Alba	3 în armonie acționate electric	RE 1 D1 FA 1 F1 LA 1 A1	136 115 91	1530 890 450	<1'18">
2.	Catedrala Ortodoxă Nouă "Sfânta Treime" Arad	5 în armonie acționate electric	LA 0 A0 MI1 E1 FA# Fis-ges1 LA1 A1 DO# REb2 Cis-des2	187 122 108 91 75	4058 1054 738 434 250	<2'25">
3.	Biserica "Neagră" Brașov	1 clopot	FA# - SOLb0 Fis-ges0	225	6300	<14">
4.	Catedrala Ortodoxă "Adormirea Maicii Domnului" Oradea - Bihor	5 în armonie	DO# REb1 Cis-des1 MI1 E1 FA# - SOLb1 Fis-ges1 LA1 A1 DO# REb2 Cis-des2	145 122 108 91 75	1880 1070 745 450 250	<1'26">
5.	Mănăstirea Călu "Sfântul Nicolae" Olt	3 în armonie	DO 2 C2 RE2 D2 MI 2 E2	76 68 61	260 185 144	<1'05">
6.	Mănăstirea Caraiman "Inălțarea Sfintei Cruci" Bușteni - Prahova	3 în armonie cu alte 3 vedete existente, acționate electric	FA# - SOLb1 Fis-ges1 LA1 A1 DO# REb2 Cis-des2	108 91 75	745 450 250	<1'29">
7.	Mănăstirea Cașin "Sfinții Arhangheli Mihail și Gavril" București	3 în armonie	DO 2 C2 RE 2 D2 MI 2 E2	76 68 61	260 185 130	<1'05">
8.	Mănăstirea Izvorul Mureșului "Adormirea Maicii Domnului" Miercurea Ciuc-Harghita	3 în armonie	DO 2 C2 RE 2 D2 MI 2 E2	76 68 61	260 185 130	<1'05">
9.	Biserica Ortodoxă "Sfântul Apostol Andrei" Ploiești -Prahova	4 în armonie	MI 1 E1 SOL1 G1 SI 1 H1 RE 2 D2	122 102 81 68	1070 635 320 185	<34">

10.	Biserica Ortodoxă “Pogorârea Sfântului Duh” Şerbăneşti - Bacău	4 în armonie	MI 1 E1 SOL1 G1 SI 1 H1 RE 2 D2	122 102 81 68	1070 635 320 185	<1'45">
11.	Biserica Ortodoxă “Sfântul Nicolae” Balta Alba - Bucureşti	4 în armonie	RE 1 D1 FA1 F1 LA1 A1 DO 2 C2	136 115 91 76	1530 890 450 260	<1'30">
12.	Biserica Ortodoxă “Nașterea Domnului” și “Sfânta Ecaterina” Bârlad - Vaslui	3 în armonie	SI 1 H1 RE 2 D2 FA2 F2	81 68 55,5	320 185 102	<1'33">
13.	Biserica Ortodoxă “Sfinții Arhangeli Mihail și Gavriil” Micalaca Veche - Arad	3 în armonie	SOL1 G1 SI 1 H1 RE2 D2	102 81 68	630 315 185	<1'38">
14.	Biserica Ortodoxă “Sfinții și Dreptii Părinți Ioachim și Ana” Mizil - Prahova	3 în armonie <i>acționare electrică</i>	FA#-SOLb1 Fis-ges1 LA1 A1 DO#-REb2 Cis-des2	108 91 75	745 450 255	<1'29">
15.	Biserica Ortodoxă “Sfinții Arhangeli Mihail și Gavriil” Căruți - Onești - Bacău	3 în armonie	DO 2 C2 RE 2 D2 MI 2 E2	76 68 61	260 185 130	<1'05">
16.	Mănăstirea Putna “Adormirea Maicii Domnului” Suceava	4 în armonie	RE 1 D1 MI 1 E1 SOL1 G1 SI 1 H1	136 122 102 81	1530 1070 635 320	<2'30">
17.	Biserica Ortodoxă “Sfântul Gheorghe” Dej - Cluj-Napoca	4 în armonie	SI 1 H1 RE2 D2 FA#-SOLb2 Fis-ges2 LA2 A2	81 68 55 46	320 185 97 56	<1'34">
18.	Biserica Ortodoxă de rît vechi “Acooperământul Maicii Domnului” Jurilovca - Tulcea	3 în armonie	RE1 D1 FA#-SOLb1 Fis-ges1 LA1 A1	136 108 91	1530 745 450	<1'48">
19.	Biserica Ortodoxă “Sfinții Apostoli Petru și Pavel” Ghimbav - Brașov - Prahova	4 în armonie	MI 1 E1 SOL1 G1 SI 1 H1 RE2 D2	122 102 81 68	1070 635 320 185	<1'45">
20.	Biserica Ortodoxă “Sfânta Cuvioasă Parascheva” Matca - Galati	3 în armonie	DO 2 C2 RE2 D2 MI2 E2	76 68 61	260 185 130	<1'05">
21.	Mănăstirea „Sfântul Ioan Botizațorul” Morisena- Cenad, Timiș	2 în armonie	MI 2 E2 SOL2 G2	61 51	130 78	<21">
22.	Biserica Ortodoxă “Sfânta Cuvioasă Parascheva” Vaslui	4 în armonie	RE 1 D1 FA#-SOLb1 Fis-ges1 LA1 A1 DO#-REb2 Cis-des2	136 108 91 75	1500 745 450 255	<1'49">
23.	Mănăstirea “Mihai Vodă Viteazul” Câmpia Turzii, Cluj	1 clopot	SOL2 G2	51	78	<36">
24.	Patriarhia Română “Sfântul Dimitrie cel Nou” Bucureşti	5 în armonie	DO#- REb1 Cis-des1 RE# -Mib1 Dis-es1 FA#-SOLb1 Fis-ges1 LA# -Slb1 Ais-bl DO#- REb1	145 132 108 86 245	1850 1390 745 380 9000	<1'43">
25.	Mănăstirea Neamț “Înălțarea Domnului” ("Ierusalimul Ortodoxiei Române") Neamț	4 în armonie	MI 1 E1 FA# -SOLb1 Fis-ges1 LA1 A1 RE# - Mib2 Dis-es2	122 108 91 64	1070 745 450 160	<5">

**Analiza comparativă a sunetelor martor cu
a sunetelor de clopote înregistrate** Tabelul nr.5.2

TONALITATE	ARMONII DE CLOPOTE	NUMĂRUL SUNETULUI ÎNREGISTRAT / MARTOR
1	2	3
DO 2 - RE 2 - MI 2	DO - 260 kg, RE - 185 kg, MI - 130 kg.	5, 7, 8, 15, 20
DO# - MI - FA# - LA - DO#	DO# - 1880 kg, MI - 1070 kg, FA# - 745 kg, LA - 450 kg, DO# - 250 kg	4
RE1 - FA # 1 - LA 1	RE1 - 1530 kg, FA# - SOLb1 - 745 kg, LA 1 - 450 kg	18
RE2 - FA 2 - LA 2	RE - 1530 kg, FA - 890 kg, LA - 450 kg	1
RE 1 - FA 2 - LA 2 - DO 3	RE - 1530 kg, FA - 890 kg, LA - 450 kg, DO - 260 kg	11
RE 1 - FA# 1 - LA 1 - DO# 2	RE - 1500 kg, FA# - 745 kg, LA - 450 kg, DO# - 255 kg	22
RE 2 - MI 2 - SOL 2 - SI 2	RE - 1530 kg, MI - 1070 kg, SOL - 635 kg, SI - 320 kg	16
RE _b - MI _b - SOL _{b1} - SI _b	DO#(REb1) - 1850 kg, RE#(Mbs1) - 1390 kg, FA#(SOLb1) - 745 kg, LA#(Sb1) - 380 kg, DO# - 9000 kg	24
MI 1 - FA# 1 - SOL# 1 - SI 1	MI - 130 kg, SOL - 78 kg	21
MI 1 - SOL 1 - SI - RE 2	MI - 1070 kg, SOL - 635 kg, SI - 320 kg, RE - 185 kg	9, 10, 19
FA# - 6300 kg		3
MI 1 - SOL 1 - LA 1 - SI 1	MI - 1070 kg, FA#1 - 745 kg, LA 1 - 450 kg, RE# - 160 kg	25
FA# 1 - LA 1 - DO# 2	FA# - 745 kg, LA - 450 kg, DO# - 255 kg	6, 14
SOL# 1 - SI 1 - RE#2	SOL - 630 kg, SI - 315 kg, RE - 185 kg	13
SOL 1 - LA 1 - DO 2	SOL - 78 kg	23
LA 0 - MI 1 - FA# 1 - LA 1 - DO# 2	LA - 4058 kg, MI - 1054 kg, FA# - 738 kg, LA - 434 kg, DO# - 250 kg	2
SI 1 - RE 2 - FA 2	SI - 320 kg, RE - 185 kg, FA - 102 kg	12
SI 1 - RE 2 - FA# 2 - LA 2	SI - 320 kg, RE - 185 kg, FA# - 97 kg, LA - 56 kg	17

V.2. Programul de analiză Wavanal a sunetelor de clopote WAVANAL

Sunetele clopotelor au fost analizate cu ajutorul programului Wavanal.exe, [94]. Acest program oferă facilitarea reprezentării grafice a sunetelor de clopote înregistrate, identificării frecvențelor parțiale și sintezei sunetelor din lista parțialelor.

$$\text{sutimi cents} = \frac{1200}{\ln 2} \times \ln \left(\frac{f_2}{f_1} \right) \approx 1731,234 \times \ln \left(\frac{f_2}{f_1} \right)$$

1200 sutimi = octavă; 100 sutimi = semiton.

Frecvențele din spectrul unui model de sunet de lungime 2s sunt distribuite la o distanță de 0,5 Hz. Măsurările frecvențelor în această teză au fost luate în general probe la 2s, oferind lățimi de bin 0,5 Hz (au terminația după virgulă, 5, de ex. frecvențe: 520,5 Hz; 706,5 Hz; 1314,5 Hz; 1521,5 Hz).

Pentru fiecare sunet de clopote aparținând locasurilor bisericesti au mai fost calculate conform tabelului 5.3 și intensitatea sunetului, raportarea la frecvența minimă și raportarea la frecvența nominală.

► intensitatea sunetului [dB], după formula: $I_{1,2,\dots,n} = 20 \cdot \lg(a_{1,2,\dots,n} / a_{\max})$, [dB]

unde: $a_{1,2,\dots,n}$ - amplitudinea parțialului 1, 2, ..., n, iar a_{\max} - amplitudinea maximă, a celui mai tare audibil parțial din șirul de amplitudini analizate.

- raportarea la frecvența minimă, după formula: $r_{f_{\min}, 1,2,\dots,n} = \frac{f_{1,2,\dots,n}}{f_{\min}}$, unde: $f_{1,2,\dots,n}$ reprezintă frecvența $1,2,\dots,n$, [Hz], f_{\min} - valoarea frecvenței minime [Hz]
- raportarea la frecvența nominală, după formula: $r_{f_{\text{nominal}}, 1,2,\dots,n} = \frac{f_{1,2,\dots,n}}{f_{\text{nominal}}}$, unde:

$f_{1,2,\dots,n}$ reprezintă frecvența $1,2,\dots,n$, [Hz], f_{nominal} reprezintă frecvența nominală, corespunzătoare parțialului *NOMINAL*, [Hz].

Analiza caracteristicilor sunetului înregistrat nr.1 [55] Tabel nr.5.3

INREGISTRARE NR.1								
Nr. ref.	Frecvență [Hz]	Ampitudine	Intensitate sunet [dB]	Partial	Neta	Sutină	Raportare la trece/min.	Raportare la nominal
1	222	1.167	-10.36	HUM	A(0)115	-2302	1	0.26
2	438	9.449	0.00	PRIME	A(1)7	-1206	1.97	0.50
3	620.6	2.862	-10.20	TIERCE	C(2)9	-907.1	2.34	0.59
4	708.5	1.361	-17.01	QUINT	F(2)19	-378.2	2.16	0.80
5	781	0.1907	-34.00		G(2)4	-204.6	3.62	0.98
6	679	3.221	-9.28	NOMINAL	A(2)1	0	3.96	1.00
7	1178	1.44	-16.62		D(3)14	606.8	6.31	1.34
8	1316	2.018	-13.80	SUPERQUINT	E(3)5	494.8	6.82	1.60
9	1622	0.6339	-23.26		F(3)147	949.8	6.86	1.73
10	1613	3.18	-9.64	OCT. NOM	B(2)48	1020	6.17	1.20
11	2033	0.414	-20.22		C(3)13	1451	5.16	2.31
12	2150	0.2611	-26.54		D(4)19	1653	8.71	2.45
13	2959	0.2106	-29.05		A(4)18	2451	16.03	4.06
Min.	222	0.01079	-34.19			-2302.0	1.00	0.26
Max.	3659	9.4900	0.00			2451.0	16.03	4.06
Media	1317.0	2.00000	-18.30			201.7	6.83	1.60
STDDEV*	913.2	2.83100	9.80			7311.7	4.11	1.04

V.3 Analiza semnalului utilizând programul SIGVIEW (SIGNAL VIEW)

SIGVIEW este o aplicație de analiză a semnalului în timp real într-un domeniu complet de tipuri de analiză spectrală, funcții statistice și soluții grafice comprehensive pentru corelații în 2D sau 3D.

➤ Analiza Fourier

Fiecare termen sinusoidal, numit *armonică* și având frecvențele ω , 2ω , $3\omega, \dots, n\omega$, respectiv pulsăriile v , $2v$, $3v, \dots, nv$, este caracterizat printr-o amplitudine și o fază determinate:

$$\begin{aligned} f(t) &= A_0 + A_1 \sin(\omega t + \varphi_1) + A_2 \sin(2\omega t + \varphi_2) + \dots + A_n \sin(n\omega t + \varphi_n) = \\ &= A_0 + \sum_{k=1}^n A_k \sin(k\omega t + \varphi_k) \end{aligned}$$

Primul termen este numit *armonica 1-a* sau *fundamentală*, termenul al doilea este numit *armonica a 2-a* s.a.m.d. Coeficienții diferenților termeni se calculează prin integrare, aplicând integralele Fourier. Determinarea armonicelor unei funcții $f(t)$ reprezintă *analiza Fourier* a acelei funcții. Se poate spune că o armonică este o undă a cărei frecvență este un multiplu întreg al unei frecvențe minime numită *fundamentală*. Descompunerea într-o serie Fourier este reprezentată grafic în funcție de frecvență și se obține în acest fel o *reprazentare spectrală*.

Semnalul este împărțit în segmente mici egal spațiate (cu posibile suprapunerii), FFT este calculat pentru fiecare segment, iar toate sevențele FFT sunt utilizate pentru a construi graficul în 3D, fig.5.1.

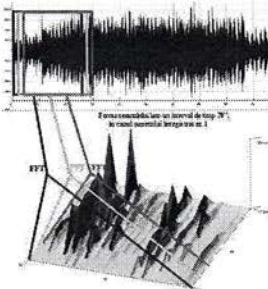


Fig. 5.1 Corespondența dintre amplitudinea semnalului studiat pe un domeniu de frecvență și graficul 3D rezultat

➤ *Observarea spectrogramei*

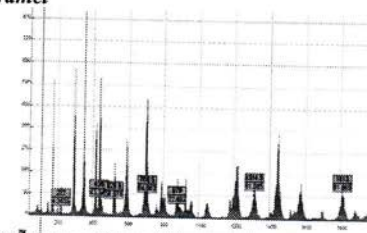


Fig. 5.2 Grafic FFT în domeniul de frecvență 0÷1850 Hz cu vizualizarea principalelor parțiale (hum, prime, tierce, quint, nominal, superquint, octave nominal)

După introducerea semnalului de analizat (sunetului înregistrat), cu ajutorul programului SIGVIEW se poate reprezenta grafic dependența amplitudinii de frecvență sunetului.

În figura 5.2 se prezintă spectrograma în cazul sunetului înregistrat nr. 1: abscisă: frecvență [Hz]; ordonată: amplitudinea semnalului [55].

V.4 Interpretarea statistică a datelor Investigarea statistică presupune, prin definiție, considerarea fenomenelor în multiplicitatea și variabilitatea lor. Au fost calculate valorile minime, maxime, medii și abaterii medii patratice ale parametrilor: frecvență, amplitudine, intensitate.

Abaterea medie patratnică, STDEV - deviația standard estimată pentru intensitate, amplitudini și frecvențe. Dispersia ca măsură sintetică a împrișterii (variației) reprezintă media aritmetică a patratelor abaterilor valorilor individuale de la tendința lor centrală.

$$STDEV = \sqrt{\frac{n \sum x^2 - (\sum x)^2}{n(n-1)}}$$

în care: x este una dintre ($x_1, x_2, x_3, \dots, x_{13}$) valorile individuale ale fiecărui parametru intensitate, amplitudine sau frecvență.

În partea stângă a graficului este reprezentată legenda de culori ale valorilor amplitudinii în ordine crescătoare. Se observă că valoarea maximă a amplitudinii corespunde culorii maroniu închis. Amplitudinea maximă de 9,649 (valoarea din tabel) se produce la o frecvență a parțialului PRIME de 438 Hz și o intensitate a sunetului de 0 dB.

➤ Nota muzicală rezultată este A(1) -7, însemnând (nota LA); A(1)-7, nr. din paranteză (1), imediat după literă, dă indicația octavei;

A(1)-7, nr. final (-7) - deviația în sutimi pentru o notă egal temperată bazată pe A(4)=440Hz.

Domeniul de variație al frecvenței este: 222÷3559 Hz inclus în 0÷4000 Hz, iar domeniul de variație al intensității sunetului: -34,10 +0 dB inclus în -40÷0 dB.

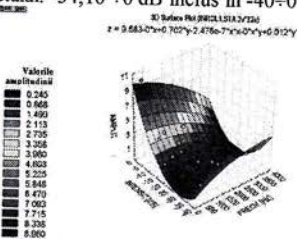


Fig. 5.3 Reprezentarea 3-D a dependenței amplitudinii (z) de intensitate (y) și frecvență (x) în cazul sunetului înregistrat nr.1

In continuare se prezintă doar sunetul nr.5 din setul total de 25 sunete, restul fiind identic, analizându-se la final doar concluziile desprinse din compararea graficelor [55].

V.5. ANALIZA SUNETELOR DE CLOPOTE ÎNREGISTRATE ȘI MARTOR Nr. 5 Armonie DO - RE - MI, Mănăstirea Călu "Sfântul Nicolae" Olt
A. ANALIZA WAVANAL Caracteristici: 3 în armonie DO - 260 kg, RE - 185 kg, MI - 144 kg. Durata: 1'05"

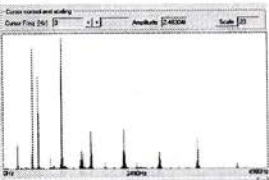


Fig. 5.4 Analiza Wavanal a frecvențelor 328-3765,5 Hz, sunet înregistrat nr.5

Obs sunet înreg.5: La frecvența 1322 Hz, amplitudinea max: 4,4925, intensitate sunetului: 0dB, parajul: NOMINAL, nota E(3).
 Analiza caracteristicilor sunetului înregistrat nr.5 Tabel nr.5.4
 INREGISTRARE NR.5

Nr. crt.	Frecvență [Hz]	Amplitudea sunetului [dB]	Intensitatea sunetului [dB]	Paraj	Nota	Suflet	Raport la frecvență	Raport la nominal
1	328	1.60382	-4,51	HUM	D(0)4	-2413,1	1,00	0,26
2	611,8	3,11283	-3,19	PRIME	E(2)9,4	-1198,1	2,82	0,60
3	781	4,25164	-0,44	TIERCE	D(2)4	-411,5	3,38	0,69
4	964	0,35444	-14,43	QUINT	B(2)10	-493,8	5,63	0,75
5	1094,5	0,13043	-31,74		D(3)9,8	-342,8		
6	1270	0,30000	-29,25				4,82	1,00
7	1456,5	0,29872	-14,68				Ab(3)18	415,4
8	1717,5	0,39062	-31,45				AD(4)7	602,7
9	1882,5	1,26916	-19,97	SUPERQUINT	B(3)4	701,5	4,64	1,60
10	2170	0,78268	-16,19				D(4)37	851,9
11	2456,5	0,97287	-30,80				D(4)12	1028,4
12	2849	0,30074	-29,25				E(4)4	1198,1
13	3232,5	0,19909	-30,76				F(4)14	1399,5
14	3625	0,25078	-15,62				A(4)22	1710,8
15	3718,5	0,00362	-34,11				B(4)18	1812,1
Min.	228	0,07287	-31,80					2413,1
Max.	3718,5	4,4925	0,00					1,00
Media	1882,5	1,35041	-17,14				228,1	0,75
STDDEV	1045,8	1,41238	12,19				1193,2	2,19

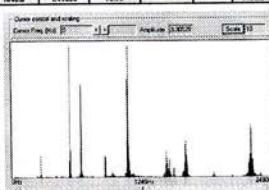


Fig. 5.5 Analiza Wavanal a frecvențelor sunetelor martor pe un domeniu 292,5-4682,5 Hz

Obs sunet martor: La frecvența: 783,5 Hz, amplitudinea max: 7,80886, intensitate sunetului: 0dB, parajul: TIERCE, nota G(2).
 La frecvența: 1322 Hz, amplitudinea are valoarea: 5,35423 și intensitate sunetului: -3,28 dB, iar parajul este NOMINAL, nota E(3).
 Analiza caracteristicilor sunetului MARTOR Tabel nr.5.5

Nr. crt.	Frecvență [Hz]	Amplitudea sunetului [dB]	Intensitatea sunetului [dB]	Paraj	Nota	Suflet	Raport la frecvență	Raport la nominal
1	292,5	0,15604	-33,82				D(0)14	351,4
2	328	1,88148	-12,45				E(1)9,4	381,2
3	611,8	0,24147	-1,13	PRIME	E(2)9,4	381,2	2,12	0,50
4	781	0,78086	0,00				TIERCE	1198,1
5	964	1,42722	-14,76				QUINT	B(2)10
6	1272	0,25423	-3,28					NOMINAL
7	1456,5	1,87016	-13,90				E(3)9,4	415,4
8	1717,5	0,36712	-10,09				Ab(3)18	415,4
9	1882,5	0,21764	-30,49				AD(4)7	602,7
10	2170	0,25423	-12,49	SUPERQUINT	B(3)4	701,5	4,64	1,00
11	2456,5	0,96448	-15,36				D(4)37	851,9
12	2849	0,20987	-20,74				E(4)4	1198,1
13	3232,5	0,18593	-32,48				F(4)14	1399,5
14	3625	0,25442	-28,77				A(4)22	1710,8
15	3718,5	1,35041	-14,96				B(4)18	1812,1
16	3765	0,25423	-12,49					2413,1
17	3952,5	0,11963	-26,94				BD(4)8	2169,4
Min.	292,5	0,11963	-36,34					16,81
Max.	4682,5	7,80886	0,00					3,64
Media	2000,3	1,72638	-19,19				228,1	0,75
STDDEV	1292,2	1,24468	11,43				1437,6	2,19

Obs. Valoare negative ale intensității sunetului [dB] sunt din cauza faptului că în formula de calcul $I_{1,2,n} = 20 \cdot \lg(a_{1,2,n}/a_{\max})$, [dB] unde: $a_{1,2,n}$ = amplitudinea parajului 1, 2, n este la numitor, iar a_{\max} = amplitudinea maximă, este la numitor, \lg unei fracții în care $a_{\max} > a_{1,2,n}$, $\lg a_{\max}$ scăzându-l, deci rezultatul \lg este negativ, implica și valoarea intensității sunetului negativ.

Figura 5.20D Variația abaterii medii pătratice STDEV a intensității în funcție de tipul sunetelor: 5, 7, 8, 15, 20 și mator

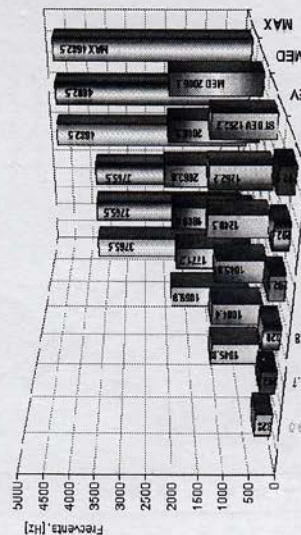
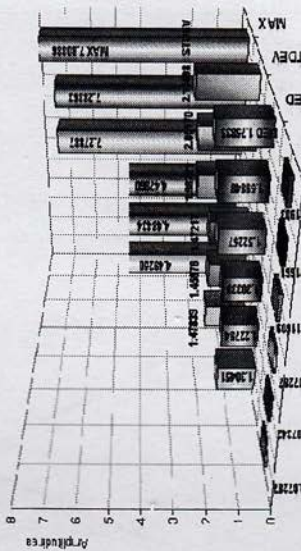
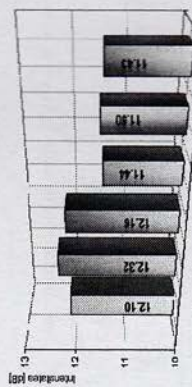


Figura 5.20E Variația valorilor minime, abaterii medii pătratice, medii și maxime a amplitudinii pentru sunetele: 5, 7, 8, 15, 20 și mator

Figura 5.20F Variația valorilor minime, medii, abaterii medii pătratice și maxime a amplitudinii pentru sunetele: 5, 7, 8, 15, 20 și mator

V.7 Concluzii privind analiza comparativa a sunetelor 9, 10, 19: MI 1-SOL1 - SI - RE 2

Pentru simplificarea expunerii diferențelor dintre sunetele clopotelor și evitarea repetării graficelor, se va prezenta comparația sunetelor de clopote 9, 10, 19 cu sunetul martor, din aceeași armonie MI1-SOL1-SI-RE2, iar în continuare se vor reda doar concluziile.

1. În tabelul 5.7 sunt prezentate sintetic datele referitoare la: frecvență, amplitudine, intensitate, parțial și notă muzicală, pentru înregistrările sunetelor de clopote nr.: 9,10,19, comparative cu cele ale sunetului considerat martor, în vederea evidențierii diferențelor dintre acestea.
2. Au fost analizate sunetele de clopote nr. 9, 10 și 19 prezentând caracteristici comune în ceea ce privește: tonalitatea MI-SOL-SI-RE și masele clopotelor MI:1070 kg, SOL:635 kg, SI:320 kg, RE:185 kg. Din figura 5.12.A s-a observat similitudinea sunetelor de clopote: martor, înregistrările 10 și 19 obținându-se grafice identice, rezultate prin suprapunerea graficelor celor trei sunete, clopotele având aceleași caracteristici: ale parametrilor fizici intensitate sunet și frecvență, muzicale - tonalități și din punct de vedere construtiv - mase. În același timp se remarcă unicitatea sunetului înregistrat nr. 9, care are o tonalitate mai înaltă, față de restul sunetelor analizate, deși are aceleași caracteristici dimensionale și care teoretic este acordat în aceeași tonalitate cu celelalte. Ca particularitate, sunetul înregistrat nr. 9 are valorile intensității sunetului prime (-1,21 dB) cu fierce (-1,38 dB) apropriate, iar parțialul principal octave nominal nu există.
3. Deși toate clopotele corespunzătoare sunetelor nr. 9, 10, 19, au aceleași caracteristici geometrice și sunt acordate în aceeași armonie MI, SOL, SI, RE, se remarcă mici variații ale domeniilor de valori în care se încadrează intensitatea și frecvența, (figura 5.21.A).
4. În figura 5.21.B, se remarcă gruparea valorilor amplitudinii pentru sunetele martor, înregistrate nr. 10, 19, precum și separarea celor corespunzătoare sunetului înregistrat nr.9 în corelația simplă intensitate, y, în funcție de frecvență, x, $y=f(x)$.
Variația intensității sunetelor, y, în funcție de tipul partialelor principale analizate, x, a fost prezentată în figura 5.21.C, observându-se din nou gruparea acelorași valori ale intensității sunetelor martor, înregistrate nr. 10, 19, încadrându-se între următoarele limite:
 - HUM: -5,94 + -8,43 dB; martor: -5,94 dB; înregistrările 10: -8,43 dB și 19: -6,45 dB;
 - PRIME: intensitățile sunt identice, în punctul de coordonate x = prime și y=0 dB;
 - TIERCE: -5,72 + -7,30 dB; martor: -6,10 dB; înregistrările 10:-7,30 dB și 19: -5,72 dB;
 - QUINT: -10,32 + -11,67 dB; martor: -11,21 dB; înregistrările 10: -11,67 dB și 19: -10,32 dB;
 - NOMINAL: -9,01 + -10,36 dB; martor: -9,97 dB; înregistrările 10: -10,36 dB și 19: -9,01 dB;
 - SUPERQUINT: -5,61+ -10,13dB; martor: -5,88dB; înregistrările 10:-10,13dB și 19: -5,61dB;
 - OCTAVE NOMINAL: -18,64 + -19,89 dB.Octave nominal martor: -18,65 dB; înregistrările 10 și 19: -19,89 dB, respectiv -18,64 dB.
Se observă gruparea valorilor sunetului martor cu înregistrările 10 și 19, având intensitațile sunetelor între limitele apropriate.
5. În figura 5.21.D se observă variația abaterii medii pătratice a intensității sunetelor: același domeniu de valori ale abaterii medii pătratice cuprinse între $11,25 \pm 11,27$ dB în cazul sunetelor martor și înregistrate 10, 19;
6. Iar separat, valoarea de 11,31 dB pentru cazul sunetului înregistrat nr. 9, afiindu-se în domeniul de valori, dar la limita superioară a acestuia.
7. În figurele 5.21.E și 5.21.F este prezentată: a) variația valorilor minime, abaterii medii pătratice, medii și maxime ale frecvenței pentru sunetele înregistrate: 9,10,19 și martor, respectiv ale amplitudinii; b) în ambele cazuri analizate, tendința de separare a sunetelor înregistrate 10,19, și martor, de sunetul nr.9.
7. Deși se presupunea că se obțin aceleași note muzicale în cazul clopotelor de mase identice, acordate în aceeași gamă, s-a demonstrat astfel unicitatea sunetelor de clopote impercepțibilă auditiv.

**SINTEZA CORELAȚIILOR DINTRE PARAMETRI: FRECVENTA, AMPLITUDELE DE NOTE MUZICALE
PENTRU ÎNREGISTRĂRILE NR. 9, 10, 10 1/2 MARION**

Tabel 5.7

5.7

5.7

5.7

5.7

5.7

5.7

5.7

5.7

5.7

5.7

5.7

5.7

5.7

5.7

5.7

5.7

5.7

5.7

5.7

5.7

5.7

5.7

5.7

5.7

5.7

5.7

5.7

5.7

5.7

5.7

5.7

5.7

5.7

5.7

5.7

5.7

5.7

5.7

5.7

5.7

5.7

5.7

5.7

5.7

5.7

5.7

5.7

5.7

5.7

5.7

5.7

5.7

5.7

5.7

5.7

5.7

5.7

5.7

5.7

5.7

5.7

5.7

5.7

5.7

5.7

5.7

5.7

5.7

5.7

5.7

5.7

5.7

5.7

5.7

5.7

5.7

5.7

5.7

5.7

5.7

5.7

5.7

5.7

5.7

5.7

5.7

5.7

5.7

5.7

5.7

5.7

5.7

5.7

5.7

5.7

5.7

5.7

5.7

5.7

5.7

5.7

5.7

5.7

5.7

5.7

5.7

5.7

5.7

5.7

5.7

5.7

5.7

5.7

5.7

5.7

5.7

5.7

5.7

5.7

5.7

5.7

5.7

5.7

5.7

5.7

5.7

5.7

5.7

5.7

5.7

5.7

5.7

5.7

5.7

5.7

5.7

5.7

5.7

5.7

5.7

5.7

5.7

5.7

5.7

5.7

5.7

5.7

5.7

5.7

5.7

5.7

5.7

5.7

5.7

5.7

5.7

5.7

5.7

5.7

5.7

5.7

5.7

5.7

5.7

5.7

5.7

5.7

5.7

5.7

5.7

5.7

5.7

5.7

5.7

5.7

5.7

5.7

5.7

5.7

5.7

5.7

5.7

5.7

5.7

5.7

5.7

5.7

5.7

5.7

5.7

5.7

5.7

5.7

5.7

5.7

5.7

5.7

5.7

5.7

5.7

5.7

5.7

5.7

5.7

5.7

5.7

5.7

5.7

5.7

5.7

5.7

5.7

5.7

5.7

5.7

5.7

5.7

5.7

5.7

5.7

5.7

5.7

5.7

5.7

5.7

5.7

5.7

5.7

5.7

5.7

5.7

5.7

5.7

5.7

5.7

5.7

5.7

5.7

5.7

5.7

5.7

5.7

5.7

5.7

5.7

5.7

5.7

5.7

5.7

5.7

5.7

5.7

5.7

5.7

5.7

5.7

5.7

5.7

5.7

5.7

5.7

5.7

5.7

5.7

5.7

5.7

5.7

5.7

5.7

5.7

5.7

5.7

5.7

5.7

5.7

5.7

5.7

5.7

5.7

5.7

5.7

5.7

5.7

5.7

5.7

5.7

5.7

5.7

5.7

5.7

5.7

5.7

5.7

5.7

5.7

5.7

5.7

5.7

5.7

5.7

5.7

5.7

5.7

5.7

5.7

5.7

5.7

5.7

5.7

5.7

5.7

5.7

5.7

5.7

5.7

5.7

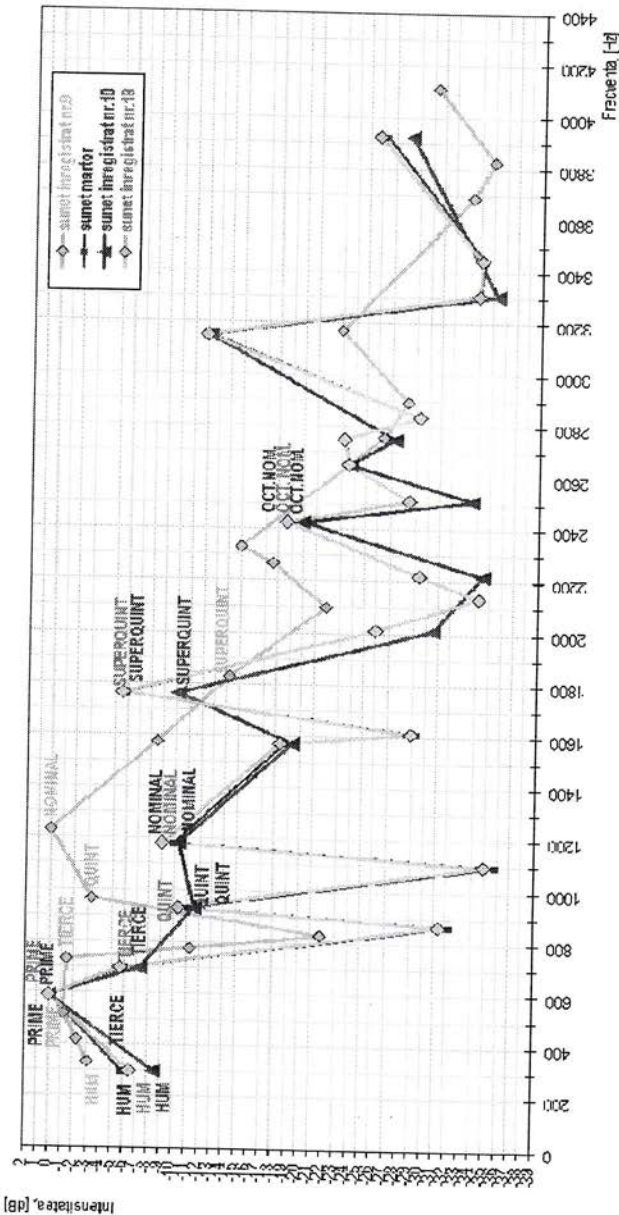


Figura 5.21A. Influența variației frecvenței asupra intensității sunetelor parțiale înregistrate versus manton

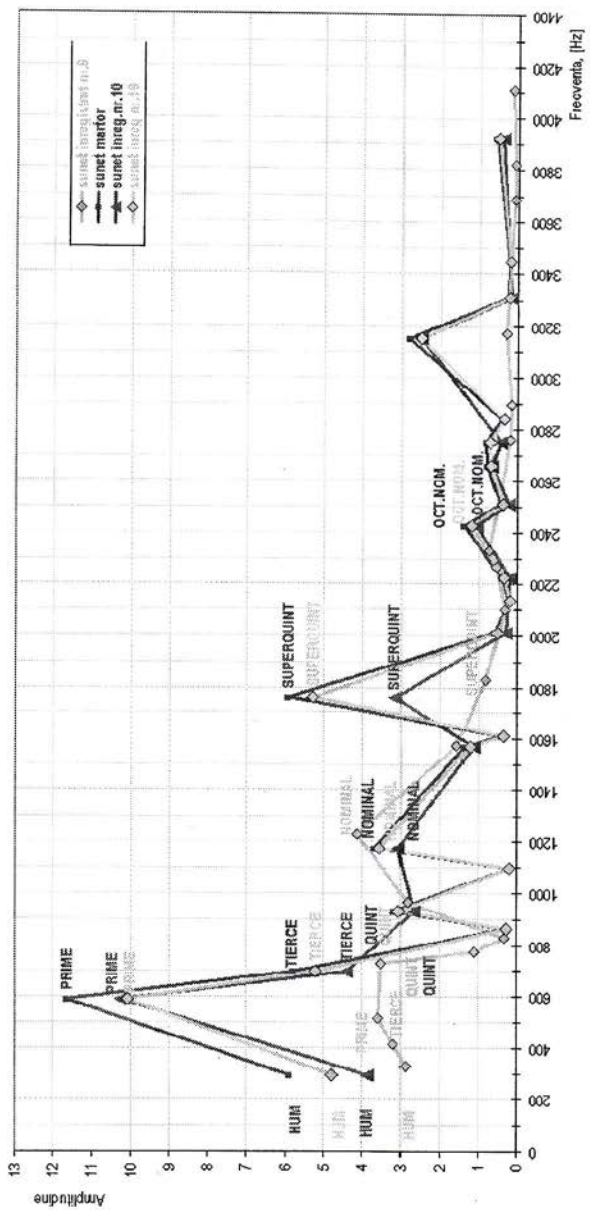


Figura 5.21.B Dependenția de frecvență a amplitudinii principalelor parțiale înregistrate versus sunetul marotor

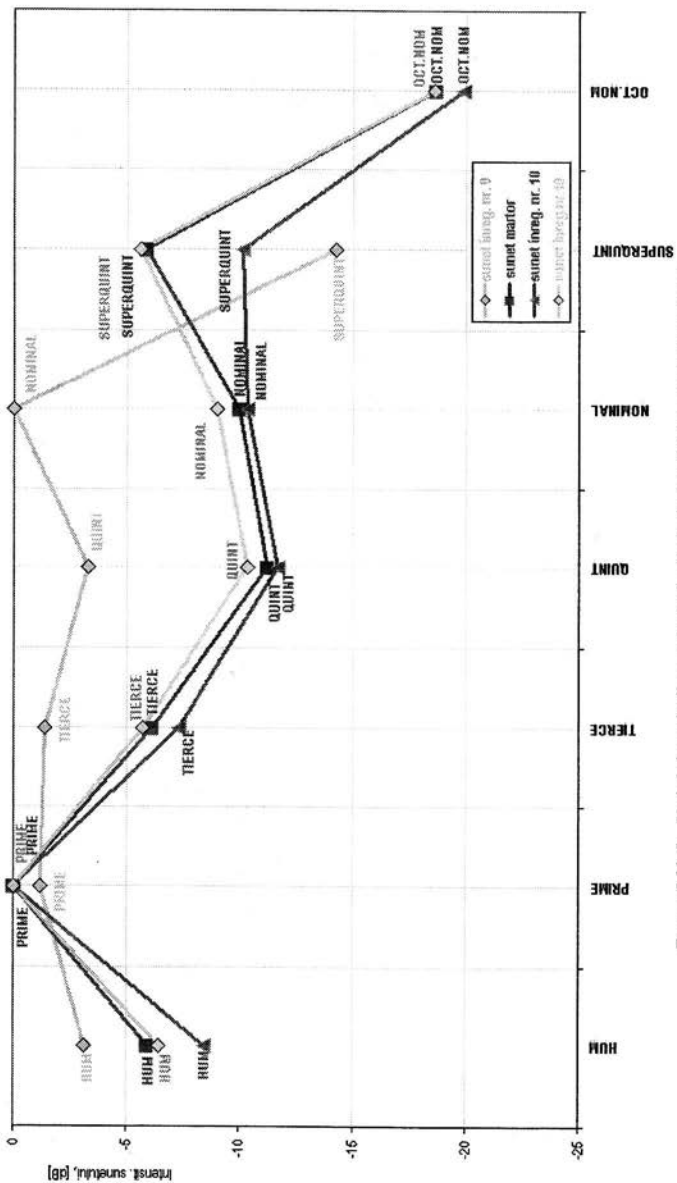


Figura 5.21.C. Variatia intensitatii sunetelor in functie de tipul partidelor principale analizate

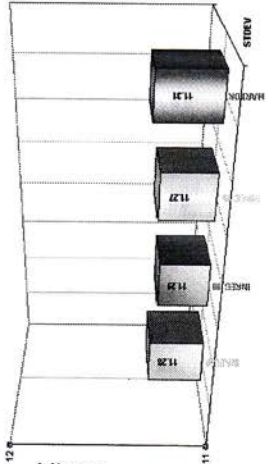


Figura 5.21.D Variația abaterii medii pătratice STDEV a intensității în funcție de tipul sunetelor: 9, 10, 19 și martor

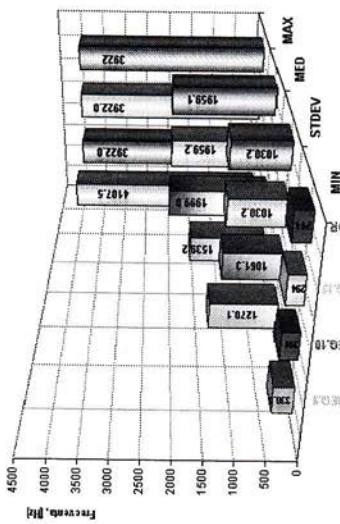


Figura 5.21.E Variația valorilor minime, abaterii medii pătratice, medii și maxime a frecvenței pentru sunetele: 9, 10, 19 și martor

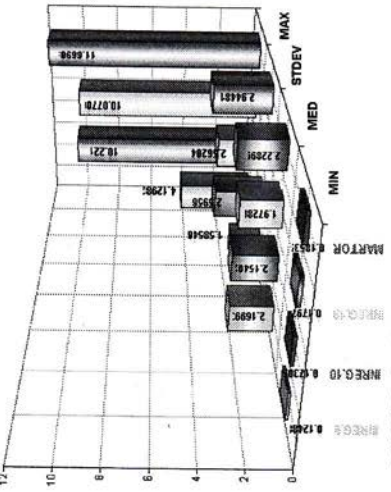


Figura 5.21.F Variația valorilor minime, medii, abaterii medii pătratice și maxime a amplitudinii pentru sunetele: 9, 10, 19 și martor

V.8. REZULTATE EXPERIMENTALE OBȚINUTE LA MĂSURAREA NIVELULUI DE PRESIUNE ACUSTICĂ CU SONOMETRUL PEAK TECH 5035*

Măsurători sonometrice în zona clopotniței și la limita de proprietate a Bisericii "Adormirea Maicii Domnului" din Galați

Date informative clopot: greutate 1800 kg; turnat în anul 1942; acționat manual

Obiectiv monitorizat: Clopot amplasat în clopotniță situată în exteriorul bisericii
Amplasarea punctului de efectuare a măsurătorilor: sub clopotniță, 0 m

Tabel 5.8

Valori instantanee înregistrate - dB [A]									
73,4	78,2	76,5	80,4	81,2	82,3	83,5	84,1	83,7	82,8
78,4	79,4	81,2	83,5	80,6	83,3	83,6	82,1	82,2	82,7
77,1	79,1	80,3	81,1	82,3	82,5	83,9	81,2	80,8	79,5

Umiditate relativă mediu ambiant (RH %): 32 %, Temperatură medie a mediului ambiant: 30,2°C
Val max.= **84,1** dB [A]; Val min.= **73,4** dB [A]; Val.medie calculată = **81,03** dB [A];

Obiectiv monitorizat: Clopot amplasat în clopotniță situată în exteriorul bisericii
Amplasarea punctului de efectuare a măsurătorilor: lângă clopotniță, la 3m

Tabel 5.9

Valori instantanee înregistrate - dB [A]									
78,3	79,2	78,7	77,8	78,6	78,5	78,0	77,4	75,2	74,5
81,4	82,5	81,2	81,4	73,6	71,0	72,0	72,5	73,4	73,1
74,6	74,7	74,3	74,1	78,3	78,5	78,9	79,2	78,2	77,5

Umiditate relativă mediu ambiant (RH %): 32 %, Temperatură medie a mediului ambiant: 30,2°C
Val max.= **82,5** dB [A]; Val min.= **71,0** dB [A]; Val.medie calculată = **76,89** dB [A]

Obiectiv monitorizat: Clopot amplasat în clopotniță situată în exteriorul bisericii
Amplasarea punctului de efectuare a măsurătorilor: 20 m față de sursa de zgomot

Tabel 5.10

Valori instantanee înregistrate - dB [A]									
78,2	74,9	73,2	76,2	74,1	77,8	79,2	78,9	79,1	78,2
79,3	77,2	74,2	76,5	67,9	74,1	61,5	66,5	77,5	77,2
74,5	80,1	79,9	76,8	77,0	78,1	69,4	72,0	70,2	75,2

Umiditate relativă mediu ambiant (RH %): 32 %, Temperatură medie a mediului ambiant: 30,2°C
Val max.= **80,1** dB [A]; Val min.= **61,5** dB [A]; Val.medie calculată = **75,16** dB [A]

Obiectiv monitorizat: Clopot amplasat în clopotniță situată în exteriorul bisericii
Amplasarea punctului de măsurare: 40 m față de sursa de zgomot (la limita de proprietate)

Tabel 5.11

Valori instantanee înregistrate - dB [A]									
68,5	68,9	68,4	68,2	67,3	59,1	67,1	71,3	71,5	72,3
67,3	67,1	68,8	68,4	70,3	69,1	70,1	70,2	70,7	71,1
68,1	67,9	69,5	70,2	68,5	68,9	70,9	71,1	71,1	71,3

Umiditate relativă mediu ambiant (RH %): 32 %, Temperatură medie a mediului ambiant: 30,2°C
Val max.= **72,3** dB [A]; Val min.= **59,1** dB [A]; Val.medie calculată = **69,11** dB [A]

Observații:

- Sonometrele măsoară nivelul de zgomot (nivelul de presiune acustică), exprimat în dB, dB[A] și sunt utilizate frecvent în studii de poluare acustică pentru determinarea aproape a oricărui tip de

zgomot.

- dB[A] - este o unitate de măsură a nivelului de zgomot foziologic, ponderat pe *curba de ponderare A*, care ţine seama de modul de percepere al urechii umane. În dB[A] se dă o singură valoare globală.
- Valorile indicate de sonometru *nu sunt identice cu percepția sunetului de către urechea umană*; pentru aceasta standardul Internațional pentru performanțele sonometrelor IEC 61672:2003 prevede includerea și utilizarea *filtrului A de ponderare în frecvență* precum și a altor curbe de ponderare C și Z (zero) [94].

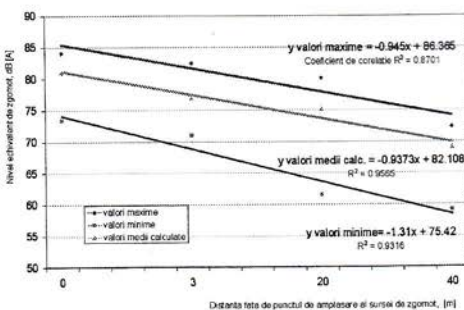


Fig. 5.22 Variația valorilor înregistrate cu sonometrul PEAK TECH 5035 la clopotul situat în exteriorul bisericii

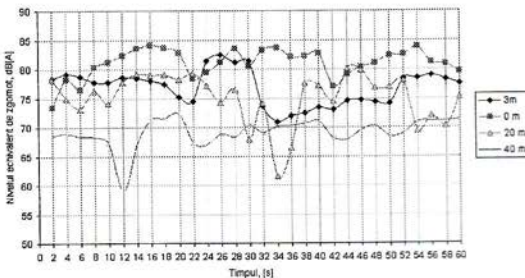


Fig. 5.23 Variația valorilor nivelului echivalent de zgomot în timp de 1 minut la clopotul situat în exteriorul bisericii, având valorile maxime la impact

CONCLUZII asupra măsurătorilor de zgomot efectuate la **clopotul amplasat în exterior**

1. Măsurările sonometrice, cu aparatul de măsură a nivelului echivalent de zgomot PEAK TECH 5035, la *clopotul amplasat în clopotnița situată în exteriorul bisericii*, au pus în evidență *valorile maxime* înregistrate în momentul bătăii (impactul limbii de peretele clopotului) și *valorile minime* în timpul reverberației.
- Domeniul de valori maxime înregistrate în timpul bătăii: **72,3 dB [A] + 84,1 dB [A]**;

- Domeniul de valori minime înregistrate la reverberație: $59,1 \text{ dB [A]}$ - $73,4 \text{ dB [A]}$;
 - Domeniul de valori medii: $69,11 \text{ dB [A]}$ - $81,03 \text{ dB [A]}$.
2. Pe măsură creșterii distanței de măsurare a nivelului echivalent de zgomot față de sursă (de la 0 m - sub clopotniță la 40 m - limita de proprietate) valorile sunetelor înregistrate sunt mai mici, cu variații de la tonuri puternice la tonuri mai slabe.
Se remarcă scăderea valorilor înregistrate ale sunetelor de la valoarea maximă de $84,1 \text{ dB [A]}$ la valoarea maximă de $72,3 \text{ dB [A]}$.

Măsurători sonometrice în zona clopotniței Bisericii "Sfinții Împărați Constantin și Elena" din Galați

Date informative clopot: greutate 350 kg; turnat în anul 2001; acționat manual

Obiectiv monitorizat: Clopot amplasat în clopotniță din interiorul bisericii
Amplasarea punctului de efectuare a măsurătorilor: sub clopotniță

Tabel 5.12

Valori instantanee înregistrate - dB [A]											
58,9	60,2	61,7	62,3	61,0	61,3	61,4	60,9	58,3	55,6		
64,0	71,2	70,8	70,5	69,7	65,2	63,1	60,8	58,6	57,6		
63,2	70,3	70,2	69,8	68,4	65,3	62,9	60,0	61,2	60,2		

Umiditate relativă mediu ambiant (RH %): 32 %, Temperatură medie a mediului ambiant: $30,2^{\circ}\text{C}$

Val max.= $71,2 \text{ dB [A]}$; Val min.= $55,6 \text{ dB [A]}$; Val.media calculată = $63,49 \text{ dB [A]}$

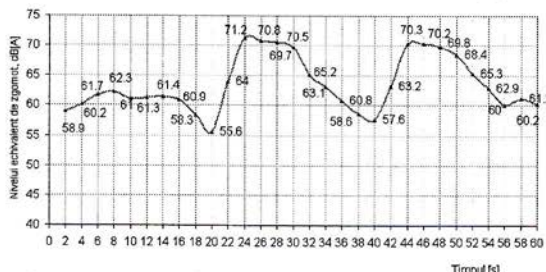


Fig. 5.24. Variația valorilor nivelului echivalent de zgomot în timp de 1 minut la clopotul situat în incinta bisericii, având valorile maxime în momentul impactului

CONCLUZII asupra măsurătorilor efectuate la clopotul amplasat în interiorul lăcașului de cult

1. Măsurările sonometrice, cu aparatul de măsură a nivelului echivalent de zgomot PEAK TECH 5035, la clopotul amplasat în clopotniță situată în interiorul bisericii, au pus în evidență valoarea maximă înregistrată în momentul bătăii (impactului limbii de peretele clopotului) și valoarea minimă în timpul reverberației.
➤ Valoarea maximă înregistrată în timpul bătăii: $71,2 \text{ dB [A]}$;
➤ Valoarea minimă înregistrată la reverberație: $55,6 \text{ dB [A]}$;
➤ Valoarea medie calculată: $63,49 \text{ dB [A]}$.
2. La clopoțele acționate manual valoarea maximă a nivelului echivalent de zgomot este influențată în mare măsură de factorul uman.

CAPITOLUL VI

REZULTATE EXPERIMENTALE PRIVIND CORELAȚIA DINTRE ANALIZA SPECTRELOR SUNETELOR, COMPOZIȚIA CHIMICĂ ȘI ACORDAREA MUZICALĂ A CLOPOTELOR DE LA MĂNĂSTIRILE: COCOŞ, SAON, CELIC-DERE

VI.1 Analiza spectrelor sunetelor de la mănăstirile: Cocos, Saon, Celic-Dere

Micile modificări ca frecvența ale unui sunet sunt greu de constată de către urechea umană normală, mai ales de una care nu este antrenată. În general, se cunoaște ca doar o diferență de cinci sutimi de semiton adică cam 0, 3% în frecvența sunetului poate fi sesizată. Dacă cele două sunete de comparat sunt emise simultan, atunci existența diferenței dintre frecvențelor lor va fi mai usor de sesizat. Din aceste motive, o analiza obiectivă a unui sunet nu poate fi făcută decât cu o aparaturationă performantă atât de captare, cat și de analiză a unui sunet. În acest sens, utilizarea soft-ului SAMURAY împreună cu un software adecvat, cum ar fi programul Wanaval reprezintă un sistem obiectiv de analiză a oricărui sunet, inclusiv cel emis de către un clopot, asa cum s-a folosit în experimentele pe care le-am efectuat în vederea înregistrării și analizării sunetelor emise de clopote de la unele manastiri din județ Tulcea (Cocos, Saon, Celic-Dere).

Scopul programului de analiză a sunetelor cu software Wanaval este acela de a analiza sunetele emise de către un clopot, în tandem cu un computer care lucrează, de exemplu, sub Windows NT. Acesta oferă facilități pentru afișarea grafică a sunetelor emise de către un clopot realizând identificarea frecvențelor parțiale, facând posibilă și sinteza sunetului de clopot dintr-o listă de parțiale. Programul Wanaval permite, de asemenea, determinarea completă a armonicității unui clopot, precum și modalitatea de acordaj, astă incat să se obtină un anumit sunet.

Programul Wanaval analizează sunete mono, pasul de frecvență de esantionare fiind de 11, 22 sau 44 kHz, pe 8 sau 16 biți. Cele mai bune rezultate sunt obținute pentru înregistrări pe 16 biți și frecvență de esantionare de 44 kHz, durata unui sunet fiind de 10 secunde. Sunetele fiind digitizate de către program apar descompuse în frecvență, indicându-se pentru fiecare frecvență, amplitudinea sunetului.

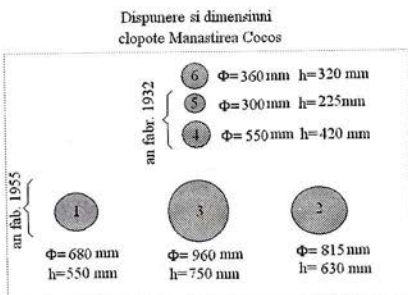


Fig.6.1 Dispunerea și dimensiunile clopotelor de la Manastirea Cocos

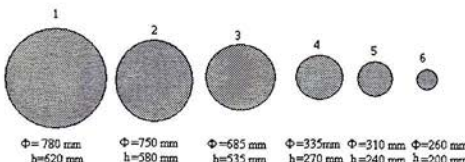


Fig. 6.2 Dispunerea si dimensiunile clopotelor de sus de la clopotnita Mănăstirii Celic-Dere

CONCLUZII la analiza spectrelor sunetelor de la Mănăstirile: COCOȘ, SAON, CELIC-DERE

1. Analiza sunetelor unor clopote cu ajutorul programului Wavanal reprezinta o modalitate moderna si de actualitate in vederea caracterizarii acestora, fiind o amprenta specifica a clopotului, ajutand, pe de o parte, atat la diferentierea obiectiva a acestora, cat si la selectarea unui anumit clopot pentru o anumita destinatie.
2. Fiecare clopot, avand o anumita forma, dimensiune si masa, are spectrul sau sonar caracteristic de frecvente si amplitudini, programul Wanaval scotand in evidenta dominata sonara (primă, secundă, terță, cvasită, cincinată, sextă, septimă, octavă etc.) a acestuia ceea ce constituie amprenta sa sonora.
3. Spectrul sonar al tuturor celor sase clopote nu apare ca superpozitia celor sase spectre ale fiecarui spectru, luat separat, aceasta fiind cauzata de posibilele interferente distructive. Este de remarcat faptul ca spectrul celor sase clopote actionate simultan este influentat mai puternic la frecvente mai inalte de distanta dintre emitor (clopot) si receptor (microfon).

VI.2 Analiza chimică a clopotelor de la Mănăstirile: Saon și Celic-Dere

Analiza chimică a fost realizată cu ajutorul aparatului de măsură - spectrometrul de fluorescență cu raze X pentru toate clopotele bisericesti de la Mănăstirea SAON și Mănăstirea CELIC-DERE.

Analiza chimică a clopotelor de la Mănăstirea SAON Tabel.6.1

Nr. clopot	Compoziție chimică clopot, [%]							
	Si	Al	Sn	Pb	Zn	Cu	Fe	Sb
Clopot 1 Ø 790 mm; 260 kg; C2-DO2	1,60	1,34	25,15	0,83	-	69,58	1,22	0,25
Clopot 2 Ø 540 mm; 97 kg; FAH-SOL b2	2,53	0,32	21,37	3,66	3,29	67,71	1,11	-
Clopot 3 Ø 480 mm; 65 kg; SOL-Lab2	3,67	0,15	23,86	3,42	0,70	65,16	1,66	-
Clopot 4 Ø 370 mm; 29 kg; C3-DO3	1,93	0,51	24,08	2,41	1,35	67,62	1,58	-
Clopot 5 Ø 310 mm; 20 kg; MI4-E4	2,63	0,00	20,70	3,96	4,39	63,70	4,52	-

Obs.: In coloana clopotelor sunt date: diametrele [mm], mascele [kg] și notele muzicale in care sunt acordate.

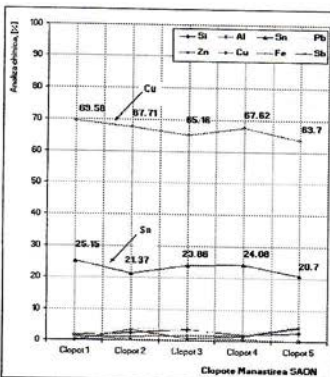


Fig. 6.3 Caracterizarea clopotelor în funcție de analiza chimică - Mănăstirea SAON

Analiza chimică a clopotelor de la Mănăstirea CELIC-DERE (Clopotnița de sus) Tabel 6.2

Nr. clopot	Compoziție chimică clopote, [%]							
	Si	Al	Sn	Pb	Zn	Cu	Fe	Nb
Clopot 1, C2-DO2 Ø 780 mm; 260 kg	1,17	1,36	26,09	0,96	5,26	64,49	0,67	0,06
Clopot 2, DO#-Reb2 Ø 750 mm; 255 kg	1,44	1,67	20,49	3,49	1,78	71,12	-	-
Clopot 3, D2-RE2 Ø 685 mm; 185 kg	0,88	1,97	30,24	0,55	4,19	61,60	0,47	-
Clopot 4, Db-REb Ø 335mm; 24 kg	1,17	1,96	19,71	0,81	0,38	76,02	0,26	-
Clopot 5, MI4-E4 Ø 310 mm; 20 kg	2,21	3,17	25,95	4,61	0,33	63,47	0,41	-
Clopot 6, GH-SOL# Ø 260 mm; 16 kg	1,55	0,90	22,95	1,28	7,91	71,91	1,41	-

Mănăstirea CELIC-DERE (Clopotnița de jos) Tabel 6.3

Nr. clopot	Compoziție chimică clopote, [%]							
	Si	Al	Sn	Pb	Zn	Cu	Fe	Ni
Clopot 1, C#-DO# Ø 830 mm; 345 kg	1,62	1,94	21,21	-	2,96	71,65	0,42	0,19
Clopot 2, D2 - RE2 Ø 670 mm; 185 kg	1,15	2,82	23,90	1,03	4,19	63,83	0,79	2,29
Clopot 3, G2-SOL2 Ø 500 mm; 78 kg	1,67	2,71	7,00	1,09	1,34	85,25	0,37	0,27
Clopot 4, LA#- SIB2 Ø 410 mm; 42 kg	1,44	3,54	10,70	2,06	4,81	76,72	0,62	0,10

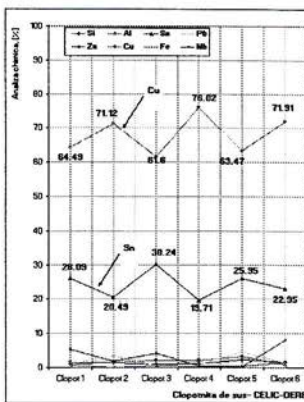


Fig. 6.4 Caracterizarea clopotelor din clopotniță de sus în funcție de analiza chimică-Mrea Celic-Dere

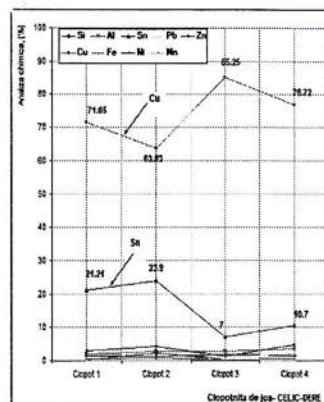


Fig. 6.5 Caracterizarea clopotelor din clopotniță de jos în funcție de analiza chimică-Mrea Celic-Dere

CONCLUZII cu privire la analiza chimică a clopotelor:

- Continutul de staniu în proporție de 20 % -25 % (cu valori chiar mai mari la Mrea. Celic Dere – clopotniță de sus), se situează în apropierea domeniului de fragilitate maximă, reprezentând un criteriu restricтив pentru elementul principal de aliere.
- Prezența fierului (cu limitele de variație: 0,26 % - 4,52 %) și a plumbului (0,55 % - 4,61 %) în bronzul pentru clopote determină o reducere a duratăii, iar sunetul va fi influențat negativ.
- Existența elementelor cum ar fi: aluminiul (cu limitele de variație: 0,15 % - 3,54 %), fierul, nichelul (0,10% - 2,29 %), manganul (0,30 %), determină înrăutățirea caracteristicilor sonore ale clopotelor.

VL3 Corelații frecvență, nota muzicală, nivelul de presiune sonora LAeq

Analiza corelațiilor surtelor de clopote de la Mănăstirea COCOȘ Tabelul 6.4

COCOS CLOPOTUL 1 680 kg		
Partial	Frecvența [Hz]	Nota
hum	21.5	D(1)-15 REb
prime	45.6	E(1)-20 SI
fieice	641.5	E(2)-47 MI
quint	860	A(2)-39 LA
nominal	1125.5	D(3)-25 REb
superquint	1411.5	A(3)-38 EA
oct.nom	2358	C(4)-9 LE

CLOPOTUL 2 815 kg		
Partial	Frecvența [Hz]	Nota
hum	268.5	C(3)+1 DO
prime	425.5(A1)+1 LAB	
fieice	568.5(Db2)+43 REb	
quint	762.5(G2)-49 SOL	
nominal	1000	D(3)-25 REb
superquint	1466.5(F3)+10 FA	
oct.nom	1908(B3)+32 Sib	

CLOPOTUL 3 960 kg		
Partial	Frecvența [Hz]	Nota
hum	230.5(Bb2)-19 Sib	
prime	359.5(F1)+6 FA	
fieice	481.5(E1)-43 SI	
quint	643(E2)-49 MI	
nominal	860(D2)-46 LAB	
superquint	1196.5(D3)+31 RE	
oct.nom	1628(A3)-34 LAB	

CLOPOTUL 4 550 kg		
Partial	Frecvența [Hz]	Nota
hum	405.5(Ab1)-43 LAB	
prime	722.5(F1)-29 FAB	
fieice	981.5(G1)-37 LA	
quint	1001.5(A2)-26 SI	
nominal	1488(F#3)+9 FAB	
superquint	2200(D#4)-13 REb	
oct.nom	2984(F#4)+14 LAB	

CLOPOTUL 5 390 kg		
Partial	Frecvența [Hz]	Nota
hum	565.5(Db2)+32 REb	
prime	1096.5(D3)-19 REb	
fieice	1352.5(G3)-37 LA	
quint	1638.5(B3)-24 Sib	
nominal	2368.5(A4)+14 RE	
superquint	3368.5(Ab4)+34 LAB	

CLOPOTUL 6 360 kg		
Partial	Frecvența [Hz]	Nota
hum	137.5(G2)+46 DO	
prime	1011.5(B2)+40 SI	
fieice	1226.5(E3)-13 Mib	
quint	1761.5(A3)+1 LA	
nominal	2178.5(D4)-37 REb	
superquint	3373.5(Ab4)+32 LAB	
oct.nom	4327.5(D#4)+35 REb	

Analiza corelațiilor sunetelor de clopoțe de la Mănăstirea SAON Tabelul 6.5

SAON CLOPOTUL 1 750 kg	Partial	Frecvența [Hz]	Nota
	hum	250 (D1) +1	RE
	prime	478 (E2) +43	Sib
	terce	695 (F2) +37	Mib
	quint	1035.5 (A2) +9	Lab
	nominal	1016 (B2) +48	SI
	superquint	1518 (F#3) +43	FA#
	oct.nom.	2697.5 (C4) +12	DO

CLOPOTUL 2 540 kg	Partial	Frecvența [Hz]	Nota
	hum	354 (F1) +23	FA
	prime	606 (E2) +45	Mib
	terce	835 (A2) +9	Lab
	quint	1154 (C#3) +39	Reb
	nominal	1257 (D3) +49	Mi
	superquint	1978 (E3) +2	SI

CLOPOTUL 3 480 kg	Partial	Frecvența [Hz]	Nota
	hum	427 (E1) +13	Mib
	prime	845 (A1) +29	Lab
	terce	1269.5 (E2) +22	Mib
	quint	1499.5 (F#3) +22	FA#
	nominal	2156.5 (D#4) +48	Reb
	superquint	3244.5 (A4) +41	Lab
	oct.nom.	4264.5 (C5) +31	DO

CLOPOTUL 4 370 kg	Partial	Frecvența [Hz]	Nota
	hum	681 (G1) +46	SI
	prime	1025 (G2) +45	SOL
	terce	1308.5 (B2) +55	SI
	quint	1525.5 (D3) +47	SOL
	nominal	1753.5 (A3) +6	LA
	superquint	2697 (E4) +19	MI

CLOPOTUL 5 310 kg	Partial	Frecvența [Hz]	Nota
	hum	654 (E2) +13	MI
	prime	1152 (D3) +33	RE
	terce	1407.5 (F3) +13	FA
	quint	1880.5 (B3) +14	Sib
	nominal	2269.5 (D4) +40	Reb
	superquint	3357.5 (A4) +18	Lab

Analiza corelațiilor sunetelor de clopoțe de la Mănăstirea CELIC-DERE Tabelul 6.6

CELCIC DERE CLOPOTUL 1 SUS 780 kg	Partial	Frecvența [Hz]	Nota
	hum	449.5 (A1) +36	LA
	prime	740.5 (D2) +13	SOL
	terce	1009.5 (D2) +37	SI
	quint	1321 (E3) +3	MI
	nominal	1716 (A3) +43	LA
	superquint	2444 (E4) +31	Mib

CLOPOTUL 2 SUS 750 kg	Partial	Frecvența [Hz]	Nota
	hum	252.5 (B1) +38	SI
	prime	461 (B2) +19	Sib
	terce	598.5 (D2) +21	RE
	quint	811.5 (E2) +21	Sib
	nominal	1036 (C#3) +27	DO
	superquint	1577 (G3) +9	SOL
	oct.nom.	2164.5 (D4) +41	Reb

CLOPOTUL 3 SUS 605 kg	Partial	Frecvența [Hz]	Nota
	hum	612.5 (E2) +27	Mib
	prime	1093.5 (D3) +23	Reb
	terce	1482 (F#3) +2	FA#
	quint	1683 (A3) +32	Lab
	nominal	2174.5 (C4) +41	DO
	superquint	3587.5 (A4) +22	LA

CLOPOTUL 4 SUS 335 kg	Partial	Frecvența [Hz]	Nota
	hum	516.5 (C2) +22	DO
	prime	914.5 (B2) +33	Sib
	terce	1212.5 (D3) +27	RE
	quint	1559.5 (E3) +34	FA#
	nominal	2074.5 (C4) +15	DO
	superquint	3094.5 (G4) +23	SOL
	oct.nom.	4162.5 (C5) +9	DO

CLOPOTUL 5 SUS 310 kg	Partial	Frecvența [Hz]	Nota
	hum	895 (F2) -8	FA
	prime	1235 (E3) +13	RE
	terce	1533 (B3) +12	SOL
	quint	2214.5 (D4) +13	Reb
	nominal	2681.5 (E4) +28	MI
	superquint	4051.5 (B4) +43	LA

CLOPOTUL 6 SUS 260 kg	Partial	Frecvența [Hz]	Nota
	hum	604 (D2) +48	RE
	prime	1193.5 (D3) +26	RE
	terce	1591.5 (B3) +27	FA
	quint	1975 (E3) +6	SI
	nominal	2360 (A3) +7	MI
	superquint	3599.5 (A4) +38	LA

V14 Determinarea curbei de ponderare în frecvență Cz

Cz este valoarea în dB la 1000 Hz a curbei nivelului de presiune acustică ce nu poate fi depășită în niciun punct al spectrului (NC 001-99).

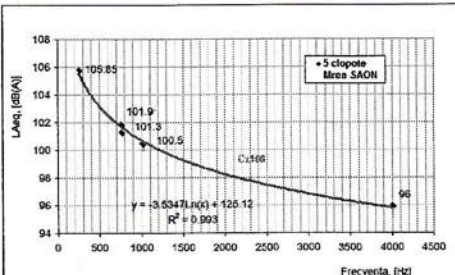
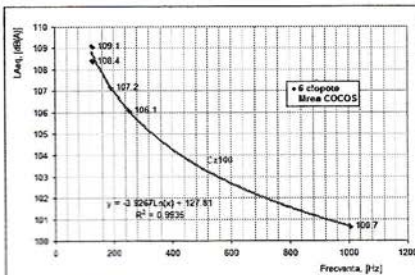


Fig.6.6 Determinarea Cz(100) clopoțele Mănăstirii COCOS

Fig.6.7 Determinarea Cz (100) clopoțele Mănăstirii SAON

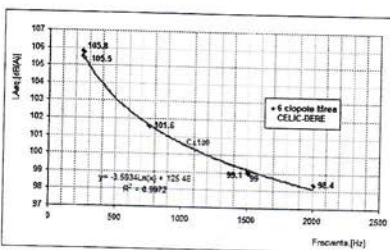


Fig.6.8 Determinarea numărului curbei $Cz(100)$ pentru clopotele de ponderare la Mănăstirea CELIC-DERE

CONCLUZII cu privire la curbele de ponderare în frecvență Cz

- În toate cazurile analizate Cz a avut valoarea 100, încadrându-se în limitele prevăzute în tabelul din anexa II a normativului NC 001-99, referitor la *valorile nivelurilor de presiune acustică în benzi de octavă corespunzătoare curbelor Cz* .
- Toate punctele rezultate au fost situate pe curbă sau în apropierea curbei $Cz100$.

VLS. Dispozitiv pentru măsurarea cotelor interioare și exterioare ale clopotelor

Riglele aflate pe cadru și pe bara de susținere a palpatorului destinat copierii profilului servesc la determinarea a câte două cote (abscisă și ordonată) pentru fiecare punct măsurat (fig. 6.9).

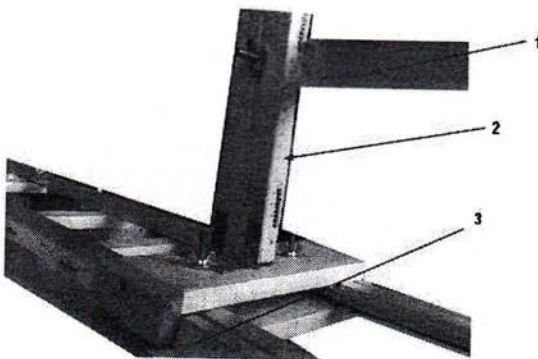


Fig. 6.9 Riglele folosite la copierea profilului clopotelor

1-Suport reglabil de susținere a palpatorului

2-Sistem de rigle verticale (determinarea înalțimii) și rigle orizontale (cîtirea diametrelor exterioare și interioare).

3-Rigle aflate pe cadru și pe suportul de susținere a palpatorului folosit la copierea profilului servesc la determinarea a cîte două cote abscisa și ordonată) pentru fiecare punct măsurat.

Suportul orizontal (dreapta-sus, fig. 6.9), montat pe bara de susținere a palpatorului, servește la sprijinirea și menținerea în poziție fixă a acestuia din urmă. Ordinatelor punctelor se citesc direct pe rigla verticală, în timp ce abscisele se stabilesc prin distanța pe care palpatorul se deplasează față de marginea barei de susținere a dispozitivului, fixat la extremitatea diametrului, respectiv cu cat se reduce raza clopotului. La prelevarea cotelor interioare, tot în coordonate duble, suportul de susținere al palpatorului, cu unități de măsură gravate pe el, se deplasează pe orizontală, spre interiorul clopotului.

CAPITOLUL VII

REZULTATE EXPERIMENTALE PRIVIND PROIECTAREA FORMEI CLOPOTELOR BISERICEȘTI

Caracteristicile constructive ale clopotelor realizate în stil german, francez și rusesc se pot observa în imaginile prezentate în figurele 7.1, 7.2 și 7.3. Astfel, se remarcă la clopotele rusești grosimea de perete mai mare decât la clopotele omoloage lor, construite în stil francez sau german. Dar, aceasta nu este singura diferență dintre clopotele rusești și cele europene.

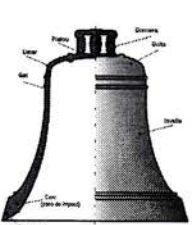


Fig. 7.1 Clopot în stil german



Fig. 7.2 Clopot în stil francez

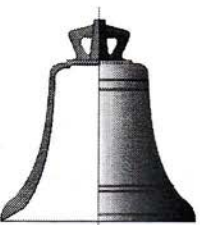


Fig. 7.3 Clopot în stil rusesc

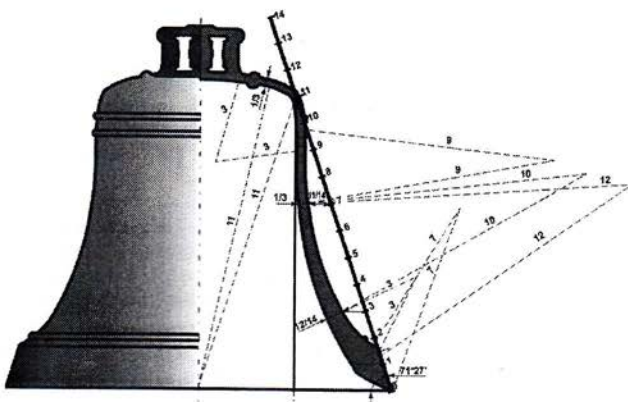
Prin forma sau învelișul clopotului se înțelege profilul unui clopot care arată atât peretele de la marginea de jos până la zona de sus și a boltei, dar și proporțiile corpului clopotului, descriind astfel construcția (forma) acestuia. De structura lui depind configurația armonică (tipul clopotului), precum și tonalitatea [39,50,102].

VII.1 PROIECTAREA FORMEI CLOPOTULUI ÎN STIL GERMAN

Cea mai importantă dimensiune a clopotului o reprezintă *diametrul marginii de jos* (D_m), care determină și mărimea generală a clopotului; altele dimensiuni importante sunt *diametrul superior din zona gatului* (d_m), situat direct sub umerii clopotului, *generatoarea* (L) de la marginea de jos până la umăr și *grosimea de la cercul de impact* (S_r), [80].

Diametrul superior și inferior, precum și generatoarea descriu proporțiile corpului clopotului (precizând în același timp și un trunchi de con care înconjoară corpul clopotului), din acest motiv putând fi denumite și „dimensiuni de profil”. În tehnologia construcției clopotelor, dimensiunile sunt redate în centimetri (cm), iar în desenul tehnic se utilizează în milimetri (mm).

- Se împarte diametrul mare al clopotului în 14 părți egale și se utilizează drept scară cu un număr de 14 unități.
- Se măsoară unghiul de la bază specific profilului în stil german: 71°27'.
- Se utilizează scara pe generatoarea clopotului, după care conform desenului, se trasează arce de cerc care conduc la conturarea profilului din imagine, fig. 7.4.



NOTA:

$H/h = 5:4$

— 1 unit = 14,03 mm
— $\frac{1}{4}$ unit = 7,015 mm

Fig.7.4 Dimensionarea scării specifice clopotului german

- Diametrul mic (superior) este jumătate din diametrul mare (inferior).
- Raportul calculat dintre înălțimea mare a clopotului H și înălțimea mică h este de $5/4$.
- Din calcule rezultă că profilul clopotului se încadrează la coaste groase.
- Din construcție se observă că grosimea de la cercul de impact este maximă în dreptul buzei clopotului.

VII.2 PROIECTAREA FORMEI CLOPOTULUI ÎN STIL FRANȚUZESC

În fiecare mănăstire, clopoțele marchează ritmul vietii în fiecare zi, fiind un mod de a conștientiza trecerea timpului, de exemplu: 2 bătaie pentru prima, a treia, a șasea, a nouă, 1 oră pentru orologiu, 1 oră pentru refectoriu, 1 oră până la culcare.

Le P. Mersenne este primul care a înregistrat o metodă sigură pentru turnarea clopotelor; el a stabilit raporturile care trebuie să fie între diametrele instrumentului cu înălțimea și cu greutatea relativă a diverselor parti, fig.7.5, fig.7.6.

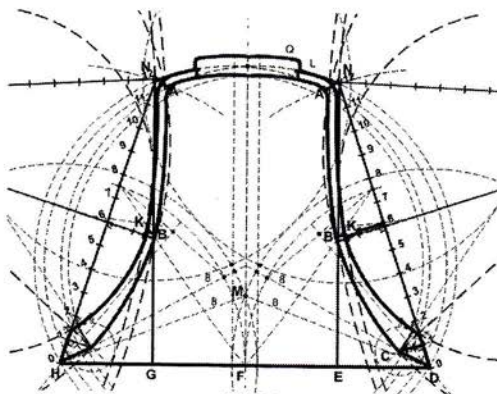


Fig.7.5

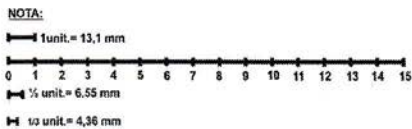


Fig. 7.6 Obținerea scării, prin împărțirea diametrului HD în 15 părți egale pentru aflarea unității

- GE va fi diametrul gâtului; aceasta înseamnă ca diametrul gâtului va fi la mijlocul clopotului; *octava în care va suna clopotul va fi aceeași cu cea a gâtului.*
- Se împarte diametrul HD în 15 părți egale și rezultă grosimea C1 a marginii; se împarte una din cele 15 părți în trei părți egale, și se formează o scară care este formată din 15 sau 25 terțe; lungimea acestei scări va fi egală cu diametrul clopotului.
- Se măsoară cu compasul douăsprezece măsuri; se așază un vârf al compasului în D; se descrie un arc care taie linia E în punctul N; se trasează linia DN; se împarte linia în douăsprezece părți egale, pe marginile 1, 2, 3, 4, 5, etc.

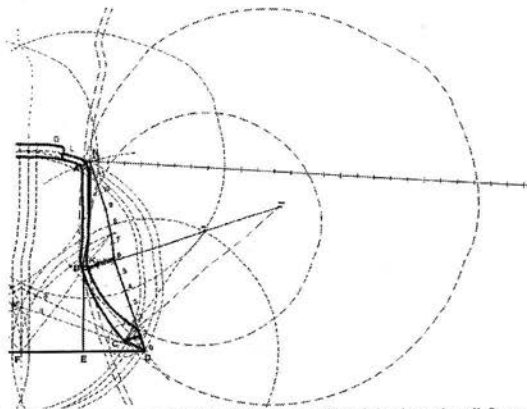


Fig. 7.7 Vizualizarea modului de obținere a profilului de clopot în stil franțuzesc

- În scopul de a trasa arcele care vor descrie profilul clopotului, se iau diferite centre. Se ia în deschiderea compasului 30 de dimensiuni sau la dublul diametrului clopotului; se pune un varf în punctul N, se descrie un arc de cerc; se aduce același varf în K, și cu aceeași deschidere se descrie un arc de cerc care îl taie pe primul; punctul de intersecție al celor două arce va fi centrul arcului N K, fig. 7.7.
- Sunt mai multe moduri de a trasa arcul Kp: unul dintre acestea presupune descrierea unui centru la o distanță de nouă unități fata de punctele p și K; celalalt la o distanță de șapte unități de ambele puncte.

Sunetul unui clopot nu este simplu, el este compus din tonuri diferite produse de părțile clopotului, între care cele fundamentale trebuie să absoarbă armonicele, aşa cum se întâmplă cu orga: atunci când atingem acordul MI, SOL, facem să sună MI, SOL; MI, SOL, SI; SOL, SI, RE; nu auzim decât MI, SOL.

VII.3 PROIECTAREA FORMEI CLOPOTELOR ÎN STIL RUSESC

Realizarea formei clopotelor, după metoda savantului rus V.S. Knabbe, se bazează mai întâi pe trasarea liniei axiale a peretelui clopotului, iar după aceasta ceea ce rezultă din construcția geometrică, conturarea liniilor profilului interior și exterior.

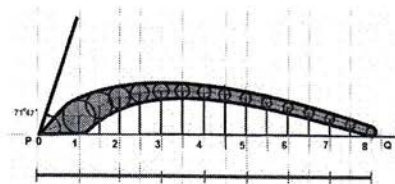


Fig. 7.8 Obținerea scării după modul și schiței profilului de clopot în stil rusesc

Nota: D - diametrul mare al clopotului, $D = 19,64 \text{ cm}$;
 δ - grosimea de perete cea mai mare, $\delta = 0,08 \cdot D = 0,08 \cdot 19,64 = 1,571 \text{ cm}$;
 m - modulul, $m = 0,1 \cdot D = 0,1 \cdot 19,64 = 1,964 \text{ cm}$.

Cu ajutorul construcției geometrice prezentată în fig.7.9, 7.10 s-au obținut în fiecare punct al secțiunii de la 1 la 8, valorile diametrului exterior și interior corespunzător.

În anexă se poate observa forma finală a clopotului obținut prin proiectare în stil rusesc (construcție geometrică și dimensionare).

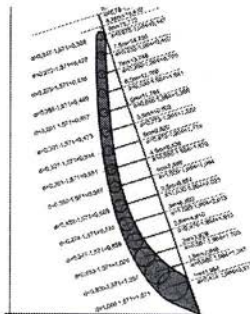


Fig. 7.9 Profilul clopotului obținut prin metoda de proiectare rusească

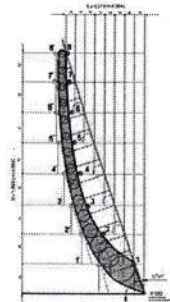


Fig. 7.10 Construcția geometrică pentru determinarea valorilor diametrelor

VII.4 Estimarea ecuațiilor ce conduc la reliefarea profilelor clopotelor realizate în diferite stiluri ➤ Clopotul proiectat în stil german

Tabel 7.2

VARIANTA DEZIGHIANTĂ	
1.	0,14 Mm
2.	0,15 Mm
3.	0,16 Mm
4.	0,17 Mm
5.	0,18 Mm
6.	0,19 Mm
7.	0,20 Mm
8.	0,21 Mm
9.	0,22 Mm
10.	0,23 Mm
11.	0,24 Mm
12.	0,25 Mm
13.	0,26 Mm
14.	0,27 Mm
15.	0,28 Mm
16.	0,29 Mm
17.	0,30 Mm
18.	0,31 Mm
19.	0,32 Mm
20.	0,33 Mm
21.	0,34 Mm
22.	0,35 Mm
23.	0,36 Mm
24.	0,37 Mm
25.	0,38 Mm
26.	0,39 Mm
27.	0,40 Mm
28.	0,41 Mm
29.	0,42 Mm
30.	0,43 Mm
31.	0,44 Mm
32.	0,45 Mm
33.	0,46 Mm
34.	0,47 Mm
35.	0,48 Mm
36.	0,49 Mm
37.	0,50 Mm
38.	0,51 Mm
39.	0,52 Mm
40.	0,53 Mm
41.	0,54 Mm
42.	0,55 Mm
43.	0,56 Mm
44.	0,57 Mm
45.	0,58 Mm
46.	0,59 Mm
47.	0,60 Mm
48.	0,61 Mm
49.	0,62 Mm
50.	0,63 Mm
51.	0,64 Mm
52.	0,65 Mm
53.	0,66 Mm
54.	0,67 Mm
55.	0,68 Mm
56.	0,69 Mm
57.	0,70 Mm
58.	0,71 Mm
59.	0,72 Mm
60.	0,73 Mm
61.	0,74 Mm
62.	0,75 Mm
63.	0,76 Mm
64.	0,77 Mm
65.	0,78 Mm
66.	0,79 Mm
67.	0,80 Mm
68.	0,81 Mm
69.	0,82 Mm
70.	0,83 Mm
71.	0,84 Mm
72.	0,85 Mm
73.	0,86 Mm
74.	0,87 Mm
75.	0,88 Mm
76.	0,89 Mm
77.	0,90 Mm
78.	0,91 Mm
79.	0,92 Mm
80.	0,93 Mm
81.	0,94 Mm
82.	0,95 Mm
83.	0,96 Mm
84.	0,97 Mm
85.	0,98 Mm
86.	0,99 Mm
87.	1,00 Mm
88.	1,01 Mm
89.	1,02 Mm
90.	1,03 Mm
91.	1,04 Mm
92.	1,05 Mm
93.	1,06 Mm
94.	1,07 Mm
95.	1,08 Mm
96.	1,09 Mm
97.	1,10 Mm
98.	1,11 Mm
99.	1,12 Mm
100.	1,13 Mm
101.	1,14 Mm
102.	1,15 Mm
103.	1,16 Mm
104.	1,17 Mm
105.	1,18 Mm
106.	1,19 Mm
107.	1,20 Mm
108.	1,21 Mm
109.	1,22 Mm
110.	1,23 Mm
111.	1,24 Mm
112.	1,25 Mm
113.	1,26 Mm
114.	1,27 Mm
115.	1,28 Mm
116.	1,29 Mm
117.	1,30 Mm
118.	1,31 Mm
119.	1,32 Mm
120.	1,33 Mm
121.	1,34 Mm
122.	1,35 Mm
123.	1,36 Mm
124.	1,37 Mm
125.	1,38 Mm
126.	1,39 Mm
127.	1,40 Mm
128.	1,41 Mm
129.	1,42 Mm
130.	1,43 Mm
131.	1,44 Mm
132.	1,45 Mm
133.	1,46 Mm
134.	1,47 Mm
135.	1,48 Mm
136.	1,49 Mm
137.	1,50 Mm
138.	1,51 Mm
139.	1,52 Mm
140.	1,53 Mm
141.	1,54 Mm
142.	1,55 Mm
143.	1,56 Mm
144.	1,57 Mm
145.	1,58 Mm
146.	1,59 Mm
147.	1,60 Mm
148.	1,61 Mm
149.	1,62 Mm
150.	1,63 Mm
151.	1,64 Mm
152.	1,65 Mm
153.	1,66 Mm
154.	1,67 Mm
155.	1,68 Mm
156.	1,69 Mm
157.	1,70 Mm
158.	1,71 Mm
159.	1,72 Mm
160.	1,73 Mm
161.	1,74 Mm
162.	1,75 Mm
163.	1,76 Mm
164.	1,77 Mm
165.	1,78 Mm
166.	1,79 Mm
167.	1,80 Mm
168.	1,81 Mm
169.	1,82 Mm
170.	1,83 Mm
171.	1,84 Mm
172.	1,85 Mm
173.	1,86 Mm
174.	1,87 Mm
175.	1,88 Mm
176.	1,89 Mm
177.	1,90 Mm
178.	1,91 Mm
179.	1,92 Mm
180.	1,93 Mm
181.	1,94 Mm
182.	1,95 Mm
183.	1,96 Mm
184.	1,97 Mm
185.	1,98 Mm
186.	1,99 Mm
187.	2,00 Mm

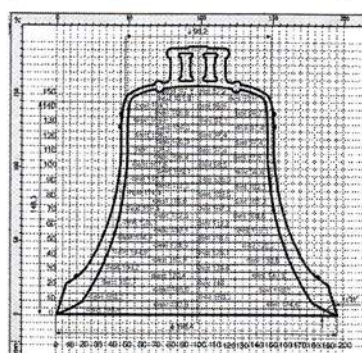


Fig. 7.11 Suprapunerea valorilor diametrelor și înalțimii ce definesc profilul clopotului în stil german

h - înălțime clopotului, [mm]; g - grosimea de perete a clopotului, [mm];
 Dext - diametrul exterior al clopotului, [mm]; Dint - diametrul interior al clopotului, [mm].

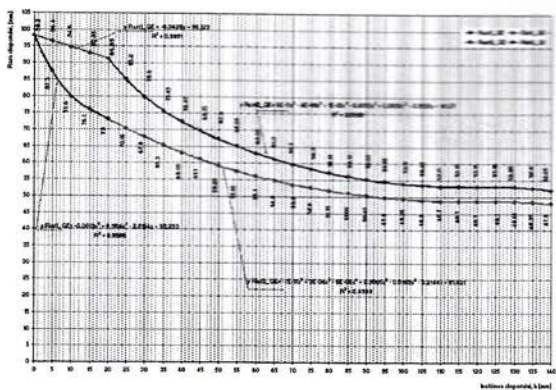


Fig. 7.12 Ecuatiile generatoare de profil de clopot in stil german

> Clopotul proiectat in stil frantuzesc

Masuratorile dimetriilor (interioare si exterioare), precum si inaltimei au fost realizate pe clopotul proiectat in stil frantuzesc cu instrumentul de masura conceput in acest scop.

Tabel 7.3

d	D_{int}	D_{ext}	h
10	14,4	16,4	1,2
12	16,2	17,5	1,4
15	20,5	22,5	1,6
18	23,5	25,5	1,8
20	24,5	26,5	2,0
25	31,4	34,3	3,0
28	35,2	38,0	3,5
30	37,5	40,5	3,7
35	43,2	47,1	4,5
40	50,0	54,0	5,0
45	56,8	61,8	5,5
50	63,6	68,6	6,0
55	70,4	75,4	6,5
58	73,4	78,3	7,0
60	75,0	80,0	7,2
65	81,1	87,1	8,0
70	84,8	90,8	8,5
75	88,5	94,5	9,0
80	91,2	97,2	9,5
85	93,9	100,0	10,0
90	96,6	103,6	10,5
95	100,0	107,0	11,0
100	103,4	110,4	11,5
105	106,8	113,8	12,0
110	110,2	117,2	12,5
115	113,6	120,6	13,0
120	117,0	124,0	13,5
125	120,4	127,4	14,0
130	123,8	130,8	14,5
135	127,2	134,2	15,0
140	130,6	137,6	15,5
145	134,0	141,0	16,0
150	137,4	144,4	16,5
155	140,8	147,8	17,0
160	144,2	151,2	17,5
165	147,6	154,6	18,0
170	151,0	158,0	18,5
175	154,4	161,4	19,0
180	157,8	164,8	19,5
185	161,2	168,2	20,0
190	164,6	171,6	20,5
195	168,0	174,0	21,0
200	171,4	177,4	21,5
205	174,8	181,8	22,0
210	178,2	185,2	22,5
215	181,6	188,6	23,0
220	185,0	192,0	23,5
225	188,4	194,4	24,0
230	191,8	197,8	24,5
235	195,2	201,2	25,0
240	198,6	204,6	25,5
245	202,0	208,0	26,0
250	205,4	211,4	26,5
255	208,8	214,8	27,0
260	212,2	218,2	27,5
265	215,6	221,6	28,0
270	219,0	225,0	28,5
275	222,4	228,4	29,0
280	225,8	231,8	29,5
285	229,2	235,2	30,0
290	232,6	238,6	30,5
295	236,0	242,0	31,0
300	239,4	245,4	31,5
305	242,8	248,8	32,0
310	246,2	252,2	32,5
315	249,6	255,6	33,0
320	253,0	258,0	33,5
325	256,4	261,4	34,0
330	260,0	265,0	34,5
335	263,4	268,4	35,0
340	266,8	271,8	35,5
345	270,2	275,2	36,0
350	273,6	278,6	36,5
355	277,0	282,0	37,0
360	280,4	285,4	37,5
365	283,8	288,8	38,0
370	287,2	292,2	38,5
375	290,6	295,6	39,0
380	294,0	299,0	39,5
385	297,4	302,4	40,0
390	300,8	305,8	40,5
395	304,2	309,2	41,0
400	307,6	312,6	41,5
405	311,0	316,0	42,0
410	314,4	319,4	42,5
415	317,8	322,8	43,0
420	321,2	326,2	43,5
425	324,6	329,6	44,0
430	328,0	333,0	44,5
435	331,4	336,4	45,0
440	334,8	339,8	45,5
445	338,2	343,2	46,0
450	341,6	346,6	46,5
455	345,0	350,0	47,0
460	348,4	353,4	47,5
465	351,8	356,8	48,0
470	355,2	360,2	48,5
475	358,6	363,6	49,0
480	362,0	367,0	49,5
485	365,4	370,4	50,0
490	368,8	373,8	50,5
495	372,2	377,2	51,0
500	375,6	380,6	51,5
505	379,0	384,0	52,0
510	382,4	387,4	52,5
515	385,8	390,8	53,0
520	389,2	394,2	53,5
525	392,6	397,6	54,0
530	396,0	401,0	54,5
535	399,4	404,4	55,0
540	402,8	407,8	55,5
545	406,2	411,2	56,0
550	409,6	414,6	56,5
555	413,0	418,0	57,0
560	416,4	421,4	57,5
565	420,0	425,0	58,0
570	423,4	428,4	58,5
575	426,8	431,8	59,0
580	430,2	435,2	59,5
585	433,6	438,6	60,0
590	437,0	442,0	60,5
595	440,4	445,4	61,0
600	443,8	448,8	61,5
605	447,2	452,2	62,0
610	450,6	455,6	62,5
615	454,0	459,0	63,0
620	457,4	462,4	63,5
625	460,8	465,8	64,0
630	464,2	469,2	64,5
635	467,6	472,6	65,0
640	471,0	476,0	65,5
645	474,4	479,4	66,0
650	477,8	482,8	66,5
655	481,2	486,2	67,0
660	484,6	489,6	67,5
665	488,0	493,0	68,0
670	491,4	496,4	68,5
675	494,8	499,8	69,0
680	498,2	503,2	69,5
685	501,6	506,6	70,0
690	505,0	510,0	70,5
695	508,4	513,4	71,0
700	511,8	516,8	71,5
705	515,2	520,2	72,0
710	518,6	523,6	72,5
715	522,0	527,0	73,0
720	525,4	530,4	73,5
725	528,8	533,8	74,0
730	532,2	537,2	74,5
735	535,6	540,6	75,0
740	539,0	544,0	75,5
745	542,4	547,4	76,0
750	545,8	550,8	76,5
755	549,2	554,2	77,0
760	552,6	557,6	77,5
765	556,0	561,0	78,0
770	559,4	564,4	78,5
775	562,8	567,8	79,0
780	566,2	571,2	79,5
785	569,6	574,6	80,0
790	573,0	578,0	80,5
795	576,4	581,4	81,0
800	580,0	585,0	81,5
805	583,4	588,4	82,0
810	586,8	591,8	82,5
815	590,2	595,2	83,0
820	593,6	598,6	83,5
825	597,0	602,0	84,0
830	600,4	605,4	84,5
835	603,8	608,8	85,0
840	607,2	612,2	85,5
845	610,6	615,6	86,0
850	614,0	619,0	86,5
855	617,4	622,4	87,0
860	620,8	625,8	87,5
865	624,2	629,2	88,0
870	627,6	632,6	88,5
875	631,0	636,0	89,0
880	634,4	639,4	89,5
885	637,8	642,8	90,0
890	641,2	646,2	90,5
895	644,6	649,6	91,0
900	648,0	653,0	91,5
905	651,4	656,4	92,0
910	654,8	659,8	92,5
915	658,2	663,2	93,0
920	661,6	666,6	93,5
925	665,0	670,0	94,0
930	668,4	673,4	94,5
935	671,8	676,8	95,0
940	675,2	680,2	95,5
945	678,6	683,6	96,0
950	682,0	687,0	96,5
955	685,4	690,4	97,0
960	688,8	693,8	97,5
965	692,2	697,2	98,0
970	695,6	700,6	98,5
975	699,0	704,0	99,0
980	702,4	707,4	99,5
985	705,8	710,8	100,0
990	709,2	714,2	100,5
995	712,6	717,6	101,0
1000	716,0	721,0	101,5

Fig. 7.13 Suprapunerea valorilor diametrelor și înălțimi ce definesc profilul clopotului în stil franțuzesc

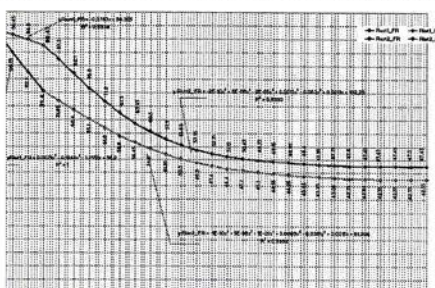


Fig. 7.14 Ecuatiile generatoare de profil de clopot in stil franțuzesc

➤ Clopotul proiectat în stil rusesc

Tabel 7.4

VARIANTA DIN RUSSIA		
<i>h</i>	<i>D_{ext}</i>	<i>D_{int}</i>
0	100.0	100.0
1	99.4	101.6
2	98.8	102.8
3	98.1	104.0
4	97.4	105.2
5	96.7	106.4
6	96.0	107.6
7	95.3	108.8
8	94.6	110.0
9	93.9	111.2
10	93.2	112.4
11	92.5	113.6
12	91.8	114.8
13	91.1	116.0
14	90.4	117.2
15	89.7	118.4
16	89.0	119.6
17	88.3	120.8
18	87.6	122.0
19	86.9	123.2
20	86.2	124.4
21	85.5	125.6
22	84.8	126.8
23	84.1	128.0
24	83.4	129.2
25	82.7	130.4
26	82.0	131.6
27	81.3	132.8
28	80.6	134.0
29	80.0	135.2
30	79.3	136.4
31	78.6	137.6
32	78.0	138.8
33	77.3	140.0
34	76.6	141.2
35	76.0	142.4
36	75.3	143.6
37	74.6	144.8
38	74.0	146.0
39	73.3	147.2
40	72.6	148.4
41	72.0	149.6
42	71.3	150.8
43	70.6	152.0
44	70.0	153.2
45	69.3	154.4
46	68.6	155.6
47	68.0	156.8
48	67.3	158.0
49	66.6	159.2
50	66.0	160.4
51	65.3	161.6
52	64.6	162.8
53	64.0	164.0
54	63.3	165.2
55	62.6	166.4
56	62.0	167.6
57	61.3	168.8
58	60.6	170.0
59	60.0	171.2
60	59.3	172.4
61	58.6	173.6
62	58.0	174.8
63	57.3	176.0
64	56.6	177.2
65	56.0	178.4
66	55.3	179.6
67	54.6	180.8
68	54.0	182.0
69	53.3	183.2
70	52.6	184.4
71	52.0	185.6
72	51.3	186.8
73	50.6	188.0
74	50.0	189.2
75	49.3	190.4
76	48.6	191.6
77	48.0	192.8
78	47.3	194.0
79	46.6	195.2
80	46.0	196.4
81	45.3	197.6
82	44.6	198.8
83	44.0	200.0
84	43.3	201.2
85	42.6	202.4
86	42.0	203.6
87	41.3	204.8
88	40.6	206.0
89	40.0	207.2
90	39.3	208.4
91	38.6	209.6
92	38.0	210.8
93	37.3	212.0
94	36.6	213.2
95	36.0	214.4
96	35.3	215.6
97	34.6	216.8
98	34.0	218.0
99	33.3	219.2
100	32.6	220.4
101	32.0	221.6
102	31.3	222.8
103	30.6	224.0
104	30.0	225.2
105	29.3	226.4
106	28.6	227.6
107	28.0	228.8
108	27.3	230.0
109	26.6	231.2
110	26.0	232.4
111	25.3	233.6
112	24.6	234.8
113	24.0	236.0
114	23.3	237.2
115	22.6	238.4
116	22.0	239.6
117	21.3	240.8
118	20.6	242.0
119	20.0	243.2
120	19.3	244.4
121	18.6	245.6
122	18.0	246.8
123	17.3	248.0
124	16.6	249.2
125	16.0	250.4
126	15.3	251.6
127	14.6	252.8
128	14.0	254.0
129	13.3	255.2
130	12.6	256.4
131	12.0	257.6
132	11.3	258.8
133	10.6	260.0
134	10.0	261.2
135	9.3	262.4
136	8.6	263.6
137	8.0	264.8
138	7.3	266.0
139	6.6	267.2
140	6.0	268.4
141	5.3	269.6
142	4.6	270.8
143	4.0	272.0
144	3.3	273.2
145	2.6	274.4
146	2.0	275.6
147	1.3	276.8
148	0.6	278.0
149	0.0	279.2

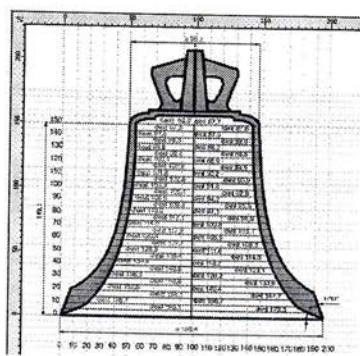


Fig. 7.15 Suprapunerea valorilor diametrelor exterioare, interioare și înălțimi ce definesc profilul clopotului în stil rusesc

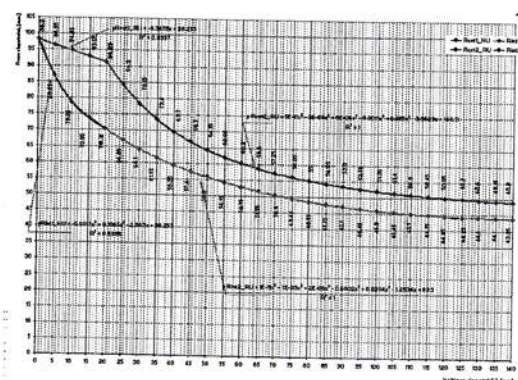


Fig. 7.16 Ecuatiile generatoare de profil de clopot în stil rusesc

În figura 7.17 sunt prezentate graficele prin suprapunere, punând în evidență contururile peretilor de clopoțe: german, franțuzesc și rusesc, precum și ecuațiile ce conduc la obținerea profilelor.

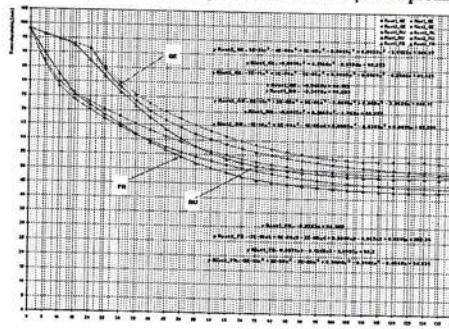


Fig. 7.17 Evidențierea diferențelor dintre contururile peretilor de clopoțe

➤ Ecuațiile profilului clopotului realizat în stil german:

$$y_{Rext1_GE} = -0,3428x + 98,123$$

$$y_{Rext2_GE} = 6 \cdot 10^{-11}x^6 - 4 \cdot 10^{-8}x^5 + 1 \cdot 10^{-5}x^4 - 0,0013x^3 + 0,0933x^2 - 3,9133x + 141,37$$

$$y_{Rint1_GE} = -0,0019x^3 + 0,1164x^2 - 2,8154x + 98,293$$

$$y_{Rint2_GE} = -7 \cdot 10^{-11}x^6 + 3 \cdot 10^{-8}x^5 - 6 \cdot 10^{-6}x^4 + 0,0005x^3 - 0,0189x^2 - 0,2144x + 81,621$$

➤ Ecuațiile profilului clopotului realizat în stil francezesc:

$$y_{Rext1_FR} = -0,3783x + 98,305$$

$$y_{Rext2_FR} = -2 \cdot 10^{-10}x^6 + 8 \cdot 10^{-8}x^5 - 2 \cdot 10^{-5}x^4 + 0,0015x^3 - 0,063x^2 + 0,0211x + 102,26$$

$$y_{Rint1_FR} = 0,0071x^3 - 0,1245x^2 - 1,2551x + 98,2$$

$$y_{Rint2_FR} = -2 \cdot 10^{-11}x^6 + 1 \cdot 10^{-8}x^5 - 3 \cdot 10^{-6}x^4 + 0,0004x^3 - 0,0142x^2 - 0,4665x + 84,531$$

➤ Ecuațiile profilului clopotului realizat în stil rusesc:

$$y_{Rext1_RU} = -0,3478x + 98,253$$

$$y_{Rext2_RU} = 5 \cdot 10^{-11}x^6 - 3 \cdot 10^{-8}x^5 + 8 \cdot 10^{-6}x^4 - 0,0011x^3 + 0,085x^2 - 3,9629x + 144,11$$

$$y_{Rint1_RU} = -0,0017x^3 + 0,1065x^2 - 2,863x + 98,253$$

$$y_{Rint2_RU} = -1 \cdot 10^{-10}x^6 + 5 \cdot 10^{-8}x^5 - 1 \cdot 10^{-5}x^4 + 0,0009x^3 - 0,0381x^2 + 0,0015x + 81,206$$

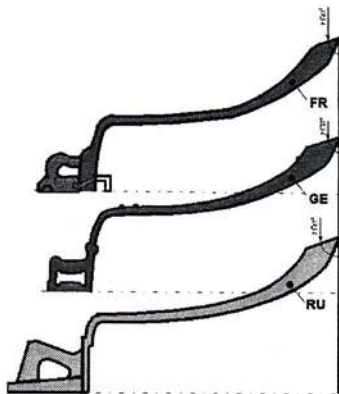


Fig.7.18 Diferențele dintre profilele clopotelor în cele trei variante proiectate

CONCLUZII cu privire la proiectarea formei clopotelor:

➤ Observând în paralel graficele din fig. 7.19 și profilele clopotelor din fig.7.20, se remarcă faptul că *cea mai mare grosime de perete apartine clopotului rusesc*, urmată de cea a clopotului german și la final de cea francezescă, evidențiuindu-se aceeași alură a profilelor cu cea a graficelor. Clopot cu *profil francezesc are pereti mult mai arcuiji, mai subțiri*, rezultând din proiectare o mai mare suplețe a formei.

➤ Toate clopotele proiectate au cea mai mare grosime de perete în dreptul buzei, în secțiunea zonei de impact cu limba clopotului.

➤ Se remarcă menținerea în toate cazurile a variațiilor de proporții *“secțiunii de aur”*:

forma „germană”: $D_n = 14$ m, unghiul de la bază: $71^\circ 27'$, raportul L / R: 1,57, L = 11 m;

forma „franceză”: $D_n = 15$ m, unghiul de la bază: $71^\circ 47'$, raportul L / R: 1,6, L = 12 m;

forma „rusească”: $D_n = 12,5$ m, unghiul de la bază: $71^\circ 47'$, raportul L / R: 1,6, L = 10 m.

➤ În ceea ce privește sistemul de prindere - coroana: *este amplă, dreaptă, în cazul clopotului rusesc și cu forme arcuite în celelalte două cazuri*.

CAPITOLUL VIII

STUDII COMPARATIVE PRIVIND TEHNOLOGIA DE FORMARE-TURNARE A CLOPOTELOR

Un clopot este un obiect liturgic care este destinat unei biserici, o piesă a turnătoriei de artă și un instrument muzical în același timp. Astfel, el prezintă o excelentă calitate metalurgică și respectă norme foarte precise din punct de vedere muzical.

VIII.1 Metoda clasică de formare cu miez din cărămizi fasonate

Operația de modelare-formare începe cu confectionarea celor două șabloane, unul pentru partea inferioară a formei (realizarea miezului) și altul pentru partea exterioară a clopotului (așa numitul *clopot fals*). Pe o bază metalică rotundă, mai mare decât diametrul viitorului clopot, vertical, se monteză, în centru, sprijinită la extremități, o bară-ax pe care se va introduce un suport pentru susținerea, pe rând, a șablonului pentru obținerea profilului interior și, numai după aceea, a celui pentru asigurarea trasării configurației exterioare, în concordanță cu procesul tehnologic de modelare.

Miezul interior, cel care va reprezenta, de altfel, acea parte a formei cu care se va obține profilul interior al clopotului, se formează prin înzidirea, cu mortar din lut, a unor cărămizi, fie refractare procurate din exterior, fie confectionate – în atelier - din amestec de formare, generând un gol uniform la interior și păstrând, la exterior, un contur care se află cu circa 2 cm subcotele nominale ale șablonului. Acest miez se acoperă, în continuare, cu straturi uniforme, succeseive, de amestec, surplusul din acesta îndepărându-se cu șablonul pentru profilul interior, prin rotirea acestuia în jurul barei-ax. Straturile de argilă se usucă cu flacără, de la focul făcut în golul din interiorul miezului.

► Tehnologia, veche de sute de ani, prevede realizarea, în continuare, pe suprafața miezului, a unui clopot în mărime naturală, din amestec care, după uscarea și realizarea formei finale, se spargea lăsând în interiorul acesteia negativul viitorului clopot. Acest clopot este cunoscut sub denumirea de *clopot fals* (fig. 8.1-8.4).

Pentru realizarea acestui clopot, miezul finisat se vopsește cu un material antiaderent (în trecut se folosea untura) pentru a se asigura obținerea unui strat intermediar, după care, pe el, se depun straturi succeseive al căror surplus de material este îndepărtat, după fiecare depunere, prin rotirea șablonului de exterior, montat pe bara-ax verticală, în locul celui de interior.

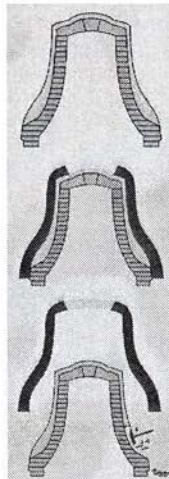


Fig.8.1 Primul strat era miezul din caramizi, apoi al doilea strat clopotul fals- partea fasonată din amestec de formare, peste miez, care reprezinta clopotul insusi, care-i tinea locul provizoriu: de aceeași dimensiuni și aceeași grosime ca viitorul clopot.
Pe suprafața clopotului fals se amplasau ornamente și inscripții. Împărimarile în relief erau executate din ceară.

Fig.8.2 Se executa forma exterioara a clopotului, al treilea strat

Fig.8.3a Spargerea clopotului fals

► O altă variantă prevede tot şablonarea la trasarea conturului exterior la clopotului, care însă poate fi realizată independent de operația anterioară, de obținere a miezului, și fără utilizarea clopotului fals. Pentru aceasta se folosește o ramă metalică de formă tronconică, care, după ce este așezată cu baza mare în sus (fig. 8.5), este acoperită la interior cu straturi din amestec de formare al cărui surplus este înălțat prin răzuire cu şablonul de exterior care se rotește în jurul aceleiasi bare-ax montată în centrul ramei metalice și asigurată la partea superioară contra unor eventuale deplasări laterale. Şablonul va fi fixat pe bara-ax corespunzător noului montaj, având un unghi de înclinare care urmărește profilul peretelui ramei și al clopotului, invers decât în cazul realizării clopotului fals (cu profilul desenat și decupat spre exterior) [21;23;25;92].

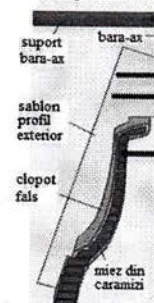


Fig.8.4 Reprezentarea clopotului fals



Fig.8.5 Şablonarea la trasarea conturului exterior la clopotului

La prima variantă, cea clasică, veche de câteva sute de ani, după uscarea clopotului fals pe suprafața acestuia se aplicau imagini, inscripții și ornamente în relief, executate din ceară cu diverse adaosuri, numai de turnătorii respectivi cunoscute.

La începuturile confeționării acestui obiect de artă, clopotul fals era realizat din ceară.

La cea de-a doua variantă, aplicarea inscripțiilor și ornamentelor se face prin imprimarea acestora, literă cu literă sau desen cu desen, în suprafața exterioară a modelului, realizată în formă metalică tronconică. După prelucrarea artistică a clopotului fals, suprafața lui se acoperă cu o vopsea antiaderentă după care se depun din nou straturi de amestec de formare.

Într-straturi se pun inele și urechi metalice pentru consolidarea formei și a putea ridica și deplasa ulterior forma-coajă (cutie) exterioară obținută, pe partea exterioară a formei, în buză, se prind simetric, niște bare pe care va culisa forma-coajă la ridicare. Pentru obținerea grosimii dorite care să asigure rezistența dorită a formei, în golul interior al miezului se face iar focul. Inscriptiile și ornamentele din ceară, încălzindu-se, se topesc și ceara rezultată se scurge din formă.

Odată uscarea terminată, forma-coajă este ridicată cu ajutorul unui dispozitiv adecvat (macara, electropalan,etc.) și se îndepărtează cu grijă sporită clopotul fals de pe miez (spargere) și se verifică, totodată, amprentele obținute în peretele exterior al formei. În acest mod se va crea un gol între miez și forma exterioară, golul-viitorul clopot, în care se va turna bronzul după asamblarea și rigidizarea formei.

Și la cea de-a doua variantă, asamblarea formei, după uscarea celor două semiforme, conduce la obținerea golului în care se va turna bronzu.

Practic, prin fixarea formei exterioare peste miez și rigidizare, forma este aproape gata pentru turnare. Deasupra formei se montează (fixează) forma pentru obținerea coroanei clopotului, formată dintr-o masă argiloasă cu goluri la interior, care reproduce configurația urechilor. De obicei aceste urechi sunt realizate din ceară, turnată în forme din ipsos, înglobate (prin ungere) în acea masă argiloasă amintită anterior și folosită și la modelare.

La uscare, ceară se topește și se scurge din formă, iar în masa argiloasă uscată rămâne amprenta coroanei. Aceste forme pentru coroană se realizează conform cu numărul de urechi al viitorului clopot, de la două până la 6 sau 8 bucăți pentru clopotele de peste o tonă.

După aceasta forma pentru obținerea coroanei se fixează la partea superioară a formei propriu-zise pentru clopot și toată această construcție se acoperă cu un material de formare.

La partea de sus a coroanei se lasă două goluri (fig. 8.6): una pentru sistemul de turnare a bronzului (cu maselotă) și alta pentru evacuarea gazelor.

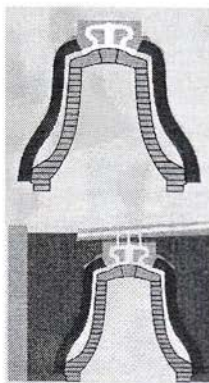


Fig. 8.6 a Reprezentarea coroanei



Fig. 8.6 b Coroana în perspectivă cu 6 bucati

Fig. 8.7 Turnarea

Dacă clopotul are dimensiuni mici, atunci se toarnă deasupra gropii de turnare, iar dacă este mai mare, în groapă. Groapa de turnare este o parte componentă a oricărei ateliere pentru turnarea clopotelor. Ea este situată alături de cuptorul de elaborare. Orificiul de evacuare al bronzului din cuptor trebuie să se găsească mai sus decât sistemul de turnare al clopotului, astfel ca metalul să se scurgă lent în cavitatea formei.

După umplerea formei cu metal, aceasta este lăsată în groapă pentru ca să se producă solidificarea și răcirea lentă a bronzului. La solidificarea și răcirea completă, forma exteroară se ridică și se extrage clopotul obținut pentru finisare și prinderea limbii.

VIII.2. Metoda de formare cu model metalic fără plan de separație

O altă tehnologie folosită la confectionarea clopotelor utilizează, la obținerea formei, modelele fără plan de separație sau cu plan de separație. În schema prezentată în anexă, se prezintă două procedee la care se folosesc modelele metalice realizate din aluminiu.

La primul procedeu se utilizează un model metallic, fără plan de separație, identic ca formă cu clopotul care se dorește a fi turnat. Pentru început se realizează semiforma inferioară, clopotul din aluminiu servind drept model, conform operațiilor obținute dintr-o turnătoare. După realizarea acesteia, și rabaterea ei cu 180° se trece la obținerea semiformei superioare.

În centru clopotului-model, aflat acum cu gura în sus, se introduce o bară metallică care va servi, în continuare, drept picior de turnare.

După suprapozarea ramei superioare peste cea inferioară, deja executată, se trece la executarea și a celei de-a doua jumătăți de formă care va conține și miezul, cavitatea clopotului-model servind, chiar dacă este impropriu spus, drept cutie de miez.

Desfacerea formei, îndepărțarea modelului uscare și asamblarea formei sunt printre ultimele operații care premerg operația de turnare. Atașarea și a formei pentru coroană încheie modelarea putându-se trece la turnare. Un interes deosebit prezintă, în acest caz, modul de realizare al iconografilor și epigrafilor. Pentru aceasta se folosete un model, care reproduce forma exteroară a treimii superioare a clopotului, realizat din metal, din cinci părți demontabile, din care una centrală ce asigură fixarea și unitatea întregului. La sfârșitul formării cele 5 părți se extrag, pe rând, din formă (partea centrală, 1, 3, 2 și 4), fără deteriorarea suprafețelor cărora le-a dat naștere. De altfel, modelul asigură obținerea, din amestec de formare pe bază de rășini, a unui inel, care la interior va avea, în negativ, iconografia și epigrafia dorită, imprimată de modelul folosit la realizarea sa. Acest inel, după extragerea din formă se va introduce și fixa pe modelul metallic al clopotului, întreaga semiformă inferioară realizându-se în jurul acestui inel.

Restul operațiilor sunt identice cu cele prezentate anterior.

VIII.3 Metoda de formare cu model metalic cu plan de separație și miez din amestec de formare

Cel de-al doilea procedeu folosește tot un model de clopot, dar cu plan de separație, fiind confectionat din două jumătăți identice. Se vor obține două semiforme, aproape identice, în care, la asamblarea formei, se va introduce și miezul obținut cu ajutorul unei cutii de miez. Sunt „aproape identice”, deoarece simetria acestora va fi afectată de realizarea rețelei de turnare, operație care se face prin planul de separație. Prin imprimarea în cele două semiforme a unor modele de litere, a unor iconițe sculptate sau a unor brâuri ornamentale se pot obține, și în acest caz, adevărate opere de artă.

STUDIU COMPARATIV PRIVIND TEHNOLOGIA DE FORMARE-TURNARE A CLOPOTELOR

METODA CLASICĂ DE FORMARE CU MIEZ DIN CARAMIZI FASONATE	METODA DE FORMARE CU MODEL METALIC	METODA DE FORMARE CU MIEZ DIN AMESTEC DE FORMARE
Particularități:	Particularități:	Particularități:
-miez îndrăzni	-modelul metalic (clopot) nu se utilizează săbioane	-miez întrig din amestec de formare
-sabioane interior și exterior	-turnare pe la baza clopotului	-utilizare semimodel inferior și superior
-turnare prin partea superioară a clopotului		-turnare orizontală a clopotului
1. Se formează miezul din caramizi fasone, respectând următoarele etape:	1. a. Se utilizează modelul metalic nu decoupat și formă de patru parti.	1. Se formează semiformă inferioră, respectându-se anumite condiții de formare cu patrășă. Se evită jumătatea inferioră a modelului, obținându-se astfel o casă cu o ușă închisă miezul.
SABION DE INTERIOR	2. Modelul metalic	R I
MIEZ	3. Modelul metalic	R II
R I	4. Modelul metalic al învelișului	
SABION DE EXTERIOR	Înveliș cu decoraturi	
R II		
2. Se formează cu același sejlon exterior, conigându-se ca va constitui exteriorul copotului.	2. Se incalzesc și se adună miezul, respectându-se densitatea și modul dispozitiv.	2. Se formează și se adună miezul metalic din dreptul de formare în semimodelul inferior. Miezul este posibil să grăbească, pentru a împiedica aderarea miezelui la beton.
Inscripțional, decorațional	R I	R I
R II	R II	R II
3. Se poartă inscripțională, decorațională pe exteriorul copotului.	3. Se formează miezul prin aplicarea americană de formare, se extrage canalul de lumură, în spatele temenii se va forma miezul.	3. Se formează semiformă superioară. Se extrage jumătatea superioară a modelului.
Inscripțional, decorațional	R II	R II
R II	Inscripțional, decorațional	R II
4. Se asamblează formă exterioară cu miezul, se rigidizează și se extindă în vedere turnării.	4. Se extrag modelul metalic și miezul din amestec de formare.	4. Se asamblează semiformele inferioare și superioare.
R II	R II	R II
5. Se turnă central, vertical pe la partea de sus a clopotului și întrăierea de turnare.	5. Adău miezul din amestec de formare, căl și formă exterioară și unuia cu grăbe, apoi se asamblează.	5. După asamblare, se rigidizează și se extindă în vedere turnării.
Turnare	Turnare	Turnare
R II	R II	R II
R I	R I	R I
6. Se formează central, vertical pe la baza clopotului prin rezăuza de turnare.	7. Se formează central, vertical pe la baza clopotului prin rezăuza de turnare.	6. Vîrfire de sus a formei cu miez și canale de lumură. Clopotul se lemnă central.
LEGENDA		
Turnare		
Săbior - indicație anumite de formare		
Ragaz de conturare după model		
Anumitor formare		
Vârfire miez		
Inscripțional, decorațional		
Relativ lemn metalic		

CAPITOLUL IX

REZULTATE EXPERIMENTALE PRIVIND REALIZAREA UNUI CLOPOT BISERICESC

IX.1 Contribuții privind turnarea unui clopot

Unul dintre principalii factori care determină sunetul viitorului clopot este profilul lui. De liniiile acestuia, după care se confecționează, aşa cum s-a arătat anterior, şablonane sau modelele, ce servesc la obținerea prin rotire sau ca garnituri de model, formei interioare (miezul, respectiv semiforma inferioară) și a celei exterioare (clopotul fals, respectiv semiforma superioară) clopotului, depinde tonalitatea principală și tonurile înalte ale viitorului obiect muzical.

Așa cum înainte de turnare, fiecare clopot face obiectul unui studiu amănunțit, tot așa, și în cazul de față, am stabilit tehnologia de formare ținând seamă de concluziile desprinse din studiul comparativ prezentat anterior.

Formarea cu şablonul se deosebește de formarea cu model prin aceea că obținerea cavității formei se realizează cu ajutorul unor şablonane, din lemn sau metalice, care, spre deosebire de modele, sunt mai ușor de confecționat, ele reprezentând niște bucăți de scândură având decupat la una dintre margini profilul dorit de a fi obținut prin această operație.

Alte avantaje care m-au determinat să optez pentru această metodă sunt:

- un consum redus de manoperă și de materiale pentru confecționarea şablonanelor decât a modelelor și cutiilor de miez;

- şablonarea poate fi executată de către muncitorii cu o calificare mai scăzută decât în cazul modelelor, acestea fiind mai simple;

- timpul necesar pentru obținerea piesei este mult mai scurt decât în cazul formării cu model;

- prețul de cost al piesei turnate este mai redus, dacă nu ținem seama de natura aliajului, ca urmare a faptului că modelul și cutiile de miez care, de obicei, sunt complicate și necesită multă manoperă și material, deci mai scumpe, sunt înlocuite cu scânduri profilate al căror preț este mult mai mic.

Există și dezavantaje ale procedeului:

- consum mai mare de manoperă pentru formare decât în cazul folosirii modelelor;

- sunt necesari muncitorii cu calificare mai ridicată decât în cazul formării cu model;

- dimensiunile pieselor turnate sunt mai puțin precise decât în cazul formării cu model, deci se pierde mai mult material și se consumă timp cu prelucrarea mecanică.

Cu toate că aceste motive determină utilizarea formării cu şablonul mai mult la turnarea pieselor mari și executate într-un număr mic, astfel ca prețul de cost al şablonanelor și al manoperei consumată la formare, pentru întreaga comandă, să fie mai mic decât prețul de cost al modelului, totuși am optat pentru acest tip de formare la modelarea formei pentru turnare. Şablonul utilizat este cu ax vertical.

Motivele care au stat la baza adoptării acestei metode au fost:

- costurile realizării modelului, din lemn sau nu, ar fi fost exagerat de mari în raport cu cele rezultate în urma decupării unor scânduri pe o simplă mașină de traforaj sau cu un ferăstrău cu panglică;

- piesa se execută într-un singur exemplar ceea ce ar fi făcut imposibilă recuperarea costurilor solicitate de executarea unui model;

- abaterile dimensionale nu sunt deosebit de mari;

- nu se impun operații costisitoare de prelucrare mecanică;

- metoda se poate utiliza și în cazul utilizării altor rețete de amestec, diferite de cea clasică.

Pe baza studiului comparativ al metodelor de proiectare a formei clopotelor, în diferite ateliere cu tradiție în confecționarea acestora și a măsurătorilor efectuate pe diferite clopote aflate în clopotnițele diferitelor biserici și mănăstiri am stabilit o metodă mai simplă de proiectare a formei clopotelor care a și stat la baza realizării unuia de dimensiuni mai mici în cadrul turnătoriei RANCON din Iași.

IX.2. Parametrii de proiectare în vederea obținerii clopotului

Pentru realizarea clopotului s-a utilizat formarea cu şablonul cu ax vertical. Înainte de formarea și turnarea clopotului se stabilesc următorii parametri de proiectare:

1. Domeniul de utilizare al clopotului:

- clopot de biserică;
- clopot pentru carillon;
- alte utilizări.

2. Parametrii geometrici de configurație (alegerea profilului clopotului):

- forma germană; forma franceză; forma rusească.

3. Caracteristicile pe care trebuie să le prezinte sunetul viitorului clopot:

- acustica locului în care va fi amplasat clopotul;
- greutatea (dimensiunile) clopotului;
- aliajul din care va fi turnat clopotul.

IX.3. Execuția clopotului după proiect

La firma S.C. RANCON S.R.L. Iași s-a turnat un clopot după un proiect propriu.

În vederea obținerii formei clopotului au fost urmărite succint următoarele etape:

- proiectarea clopotului;
- realizarea şabloanelor de interior și de exterior în baza proiectului;
- realizarea dispozitivului de şablonare;
- fixarea suportului port-şablon în formă.
- realizarea amestecului de formare;
- execuția miezului cu ajutorul şablonului de profil, pentru obținerea profilului exterior.
- formarea în două rame: inferioară și superioară;
- turnarea clopotului cu alimentarea prin sifon.

Formarea

Operația de formare constă într-o succesiune de operații bine determinate, în principal reducându-se la două, mai importante:

- realizarea şabloanelor;
- formarea propriu-zisă.

La realizarea SDV-urilor pentru formare, dat fiind faptul că acest clopot se va turna într-un singur exemplar, nu s-a putut opta pentru o tehnologie bazată pe modele, singura alegere rezonabilă constând în şablonare.

Şablonul se execută din lemn masiv, preferabil de esență tare. Partea care intră în contact cu amestecul de formare se întărește cu tablă, în scopul evitării uzurii prematură. Şablonul se fixează prin șuruburi pe brațul port-şablon.

Brațul este prevăzut cu un canal care va asigura poziționarea corectă a şablonului față de axul de şablonare. Fixarea pe braț a şablonului se face în funcție de cotele de gabarit (exterior sau interior) al clopotului.

După executarea şabloanelor, înaintea montării pe brațul port-şablon a acestora și după efectuarea acestei operații, se face o verificare a dimensiunilor acestora din punct de vedere al cotelor de gabarit și, respectiv, al celor de montaj și menținerei dimensiunilor profilului (fig. 9.1).



Fig. 9.1. Verificarea cotelor celor două şabloane.

Pentru fixarea axului de susținere a şabloanelor pe bancul de lucru, la partea inferioară a ramei de formare s-a introdus un suport metalic, rigidizat antirotire, care să nu permită deplasarea axului în timpul operației de sablonare (fig. 9.2). Acest ax este fixat, prin însurubare, în suportul metallic, astfel încât acesta să fie perfect vertical pe suprafața bancului de lucru și, implicit, a oglinzelii ramei de formare și, pe cât posibil, la intersecția diagonalelor ramei.

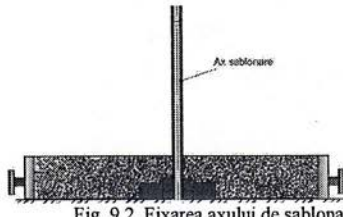


Fig. 9.2. Fixarea axului de şablonare

După fixarea axului, rama se umple cu amestec de formare, ce se îndeasă după care se nivelează obținându-se astfel un pat pentru realizarea, în continuare, pe el, a formei.



Fig. 9.3. Îndesarea amestecului de formare în rama de bază pentru formarea patului și fixarea tijei centrale

Amestecul de formare, atât cel de model cât și cel de miez, a fost realizat pe bază de nisip de Feleac cu un adaos de 3 – 4 % novolac. Este acel nisip despre care turnătorii de clopote spun că este singurul care, strâns în mână, cîntă.

Pe axul șablonului se introduce o țeavă pentru a permite manevrarea axului fără a se deteriora miezul în momentul scoaterii axului de ojel din semiformă inferioară.

Miezul, care este încunjurat de metalul lichid, trebuie să aibă proprietăți de rezistență mecanică ridicată, permeabilitate mare la gaze, compresibilitate și refractaritate ridicată.

Pentru a se putea realiza miezul, în jurul axului port șablon trebuie să existe suficient amestec și distribuit astfel încât șablonul să aibă din ce răzui în mișcarea sa rotație sau altfel spus, conturul amestecului de miez trebuie să depășească conturul profilului exterior al clopotului. Din acest motiv pe patul realizat anterior se așeză în jurul axului, pe cât posibil cât mai centrat, un cilindru metalic, care se închide pe o singură generatoare și în care se introduce amestec de formare ce se îndeasă prin batere (fig. 9.4).

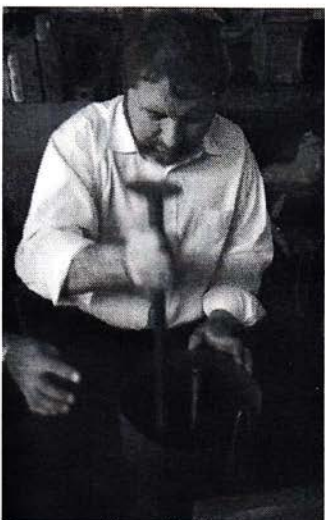


Fig. 9.4. Montarea unei forme cilindrice în care se construiește miezul ce generează profilul exterior a clopotului

Se poate și așeza și îndesa amestec în jurul axului până când conturul acestuia depășește conturul profilului exterior al clopotului, însă mai utilizată este prima metodă deoarece oferă posibilitatea unei mai bune construcții a cilindrului și gradul de îndesare dorit.

Volumul de amestec depus, va trebui să asigure șablonarea acestuia pentru obținerea conturului exterior al clopotului. Surplusul de amestec de formare nu trebuie să depășească cu mai mult de aproximativ 20+30 mm raza cilindrului pentru a nu se îngreuna foarte mult procesul de șablonare (creșterea timpului de șablonare).

Se montează pe ax bușca de fixare cu brațul port-șablon, urmând a se utiliza mai întâi șablonul pentru profilul exterior (fig. 9.5). Dimensiunile acestuia vor trebui să reproducă întocmai conturul exterior al clopotului.



Fig. 9.5. Obținerea miezului - profil exterior al clopotului cu ajutorul șablonului de exterior

După ce s-a montat șablonul pentru exterior, cu ajutorul troilei și prin mișcări alternate (înainte, înapoi) se îndepărtează excesul de amestec de formare, astfel încât să se obțină conturul exterior al clopotului.

Miezul, astfel realizat, va constitui, în continuare, modelul pentru obținerea cavității în semiformă superioară (fig. 9.6).



Fig. 9.6. Miezul – profil exterior al viitorului clopot

Se demontează bușă de fixare, brațul port-șablon și primul șablon (de exterior), cu care urmează a se obține forma exterioară a clopotului, de pe ax.



Fig. 9.7. Asamblarea și fixarea semiformei superioare peste cea inferioară și montarea rețelei de turnare.

Se asamblează ramele de formare superioare, peste cea inferioară, se fixează cu dispozitive de ghidare și elementele rețelei de turnare (fig. 9.7), după care se execută apoi semiforma superioară (îndesarea amestecului de formare în ramă, îndepărțarea surplusului, realizarea canalelor de aerisire). De menționat că această semiformă se realizează ca ori ce formă obișnuită, fără folosirea sablonului (fig. 9.8).



Fig. 9.8. Adăugarea amestecului de formare și îndesarea lui în semiforma superioară

Se demulează modelele pentru rețea de turnare și se îndepărtează semiforma superioară. Se demulează forma superioară, obținându-se forma exterioară a clopotului.

Se acoperă cu praf de grafit, suprafața activă a formei exterioare obținute, pentru a facilita viitoarea separare de amestec.

Astfel, se realizează profilul interior al clopotului.



Fig. 9.9. Montarea tijei și şablonului profilului interior

Pe axul de şablonare se montează bucşa de fixare, braţul port-şablon cu şablonul de interior, pentru formarea conturului interior al piesei (formarea miezului) repetându-se operaţiile de răzuire. Miezul – profil exterior se şablonează, cu cel pentru profilul interior, obținându-se miezul propriu-zis, respectiv suprafața interioară a clopotului.

Montarea şablonului de interior se face pe baza cotelor din desenul de execuție.

Ultimele operații de finisate sunt executate de către formator înaintea desfacerii formei (fig. 9.10).



Fig. 9.10. Operația de finisare semififormei superioare

Se demontează bucşa de fixare, braţul port-şablon, şablonul și se extrage axul de şablonare pentru a fi manevrate cele două forme mai ușor.

După operația de şablonare, se obține forma interioară a clopotului.

Se netezește foarte bine suprafața miezului. La partea superioară a miezului se fixează clema care servește la prinderea limbii clopotului, partea ovală a acesteia fiind introdusă în „capul” miezului, capetele urmând a fi poziionate astfel încât să ocupe un loc în cavitatea formei pentru a fi încastrate în corpul clopotului. Se definitivează rețea de turnare (fig. 9.11).



Fig. 9.11. Realizarea rețelei de turnare a clopotului

Cele două forme obținute prin şablonare se introduc la uscare.

Factorii care influențează regimul de uscare sunt: temperatura, timpul de uscare, materialul, dimensiunea formelor și a miezului, grosimea pereților și tipul liantului.

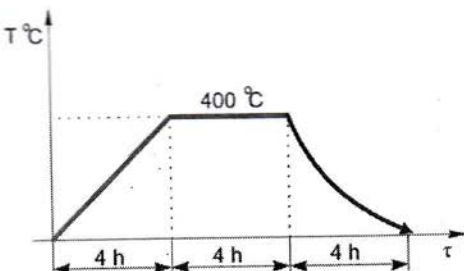


Fig. 9.12. Diagrama de uscare la 400 °C a formelor obținute prin şablonare

Formele și miezurile uscate au o permeabilitate mai bună, capacitate mai mică de a genera gaze și o rezistență mai ridicată. Pentru uscare formele și miezurile se încălzesc la o anumită temperatură (400°C), pentru eliminarea apei și mărirea capacității de liere și a celorlalți lianți (fig. 9.12). Temperatura se alege în funcție de natura liantului. După uscare cele două forme se asamblă și se asigură pentru turnare.

Elaborarea s-a făcut în cupoare electric cu inducție. Compoziția optimă pentru clopot: Cu 78%, Sn 22%.

Tehnologia de elaborare și calcul al încărcăturii pentru elaborarea unui bronz cu staniu CuSn14 se execută conform SR EN 1982 / 2008.

Turnarea se poate realiza direct, metalul topit turnându-se direct din oala de turnare în formă (fig. 9.13).



Fig. 9.13. Forma după turnarea bronzului

Forma și volumul maselotei se determină pe baza condiției fundamentale ca maselota (având volum mic) să asigure tot timpul solidificării părții pe care o alimentează curgerea Formă metalului lichid din maselotă în piesa turnată.

Dezbaterea (care constă în scoaterea clopotului din formă după solidificare și răcire, scoaterea miezului din formă) și îndepărterea refelei de turnare, precum și maselotei.

Curățirea clopotului - operația tehnologică de îndepărtere a oxizilor și a impurităților de pe suprafața acestuia, urmată de controlul calității clopotului.

Clopotul în forma lui finală este prezentat în fig. 9.14.

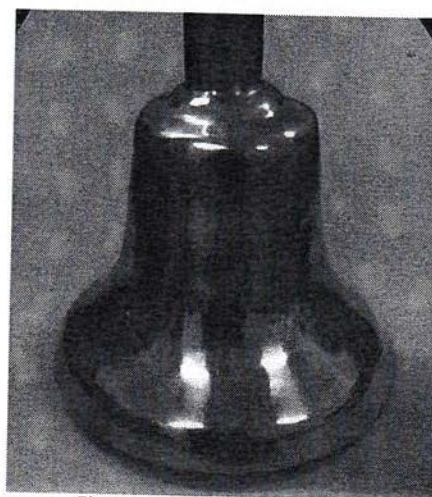


Fig. 9.14 Clopotul obținut după turnare

IX.4 Determinarea compozitiei chimice a clopotului turnat

In tabelul 9.1 sunt prezentate elementele chimice regasite in clopotul turnat din bronz, analiza chimică fiind realizata cu aparatul de măsură - spectrometru de fluorescență cu raze X. Au fost realizate doua masuratori pentru evidențierea plajei de valori pentru fiecare element observat.

Compozitia chimică a clopotului turnat

PROBA	Sn [%]	Cu [%]	Pb [%]	Ni [%]	Al [%]	Si [%]	Fe [%]
1	18,56 ± 0,3	74,41 ± 0,42	2,59 ± 0,12	1,80 ± 0,08	0,63 ± 0,23	1,8 ± 0,09	0,22 ± 0,05
2	18,82 ± 0,35	75,21 ± 0,18	2,95 ± 0,15	1,66 ± 0,09	-	1,19 ± 0,08	0,17 ± 0,05

Tabelul 9.1

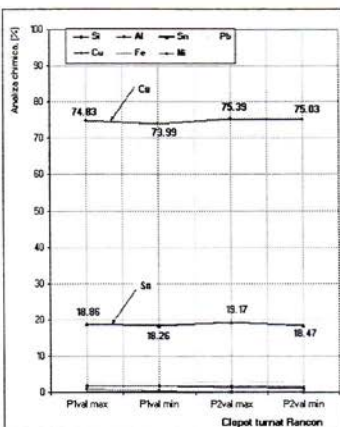


Fig.9.15 Variația conținutului principalelor elemente Cu și Sn din probele P1 și P2 analizate din clopotul turnat având caracteristicile geometrice: diametrul 196,4 mm și înălțimea 149 mm

În figura 9.15 este prezentată variația conținutului elementelor componente din probele de bronz P1 și P2 analizate cu spectrometru de fluorescență cu radiații X.

Au fost calculate valorile minime și maxime, pentru a putea fi relevante limitele de variație ale elementelor analizate din clopotul turnat.

- Din tabelul 9.1 se observă variația conținutului de staniu ce se situează între limitele de 18,3 % + 19,2 %, iar variația conținutului de cupru între limitele de 73,9 % + 75,4 %.
- Pe de o parte la creșterea conținutului de staniu se remarcă creșterea durității, iar pe de altă parte, prezența fierului (cu limitele de variație: 0,17 % + 0,22 %) și a plumbului (2,59 % + 2,95 %) în bronzul pentru clopote determină o reducere a durității.
- Prezența fazei δ (Cu_3Sn_8 - fragilă) în structură împrină calitățile sonore, iar a fazei α (Cu), îi conferă rezistență și plasticitate, între acestea existând un raport bine definit pentru adaptarea și încadrarea compozitiei chimice la mările destinate clopotelor din bronz.

IX.5 Microscopie electronică cu baleiaj

La turnarea clopotului a fost prelevată o probă în scopul determinării analizei microscopice SEM.



Fig. 9.16 Proba 1, mărire x 100



Fig. 9.17 Proba 2, mărire x 400



Fig. 9.18 Proba 3, mărire x 3000

In fig. 9.16, 9.17, 9.18, se prezintă structura bronzului turnat utilizat în analizarea clopotului proiectat obținută prin microscopie electronică cu baleaj, tip Quanta 200.

Suprafața probei de bronz prelevată a fost pregătită metalografic conform standardelor în vigoare. Imaginele SEM obținute la măriri de $x 100$, $x 400$, $x 3000$, indică prezența unei structuri dendritice tipice aliajelor turnate (Cu-Sn). Se observă sufluri, cât și unor oxizi situați ne ramurile dendritice evidențiați sub forma unor pete de culoare albă.

IX.6. Studii privind tonalitatea clopotului turnat la S.C. RANCON S.R.L. Iași

A fost realizată analiza sunetului clopotului turnat, utilizând programul Wavanal, pentru aflarea notelor muzicale în care a fost acordat. Din fig. 9.18 și 9.19 se observă că parțialul nominal editat al clopotului având caracteristicile geometrice: diametrul de 196,4 mm, înălțimea 149 mm și o masă de 7 kg este obținut la o frecvență de 1093,5 Hz, o amplitudine de 34,094 și o notă de D_{b(3)}-23.

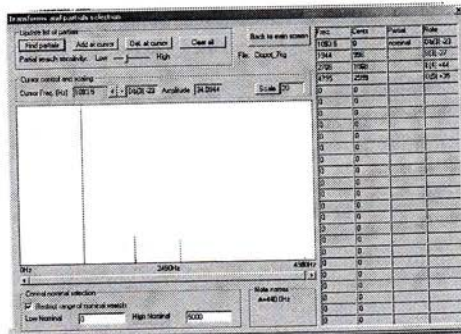


Fig. 9.19 Analiza frecvențelor și notelor muzicale în care a fost acordat clopotul

Din fig. 9.19 și 9.20 se observă că parțialul nominal editat al clopotului având caracteristicile geometrice: diametrul de 196,4 mm, înălțimea 149 mm și o masă de 7 kg este obținut la o frecvență de 1093,5 Hz, o amplitudine de 34,094 și o notă de Db(3)-23.

Fig. 9.20 Editarea partialelor

CONCLUZII cu privire la acordarea muzicală a clopotului turnat în C (DO)

Din analiza transformării partialelor clopotului se remarcă următoarele:

- la frecvență minimă 1093,5 Hz, amplitudinea este maximă de 34,094, iar nota este **D_b(3)-23**, semnificația fiind: nota **RE bemol**, numărul **3** din paranteză dă indicația octavei, iar numărul final **-23** este deviația în sutimi pentru o notă egal temperată bazată pe A(4) = 440 Hz.
 - la frecvență maximă de 4795 Hz, amplitudinea este minimă de 0,6865, iar nota este **D(5)+35**, semnificația fiind: nota **RE**, numărul **5** din paranteză dă indicația octavei, iar numărul final **+35** este deviația în sutimi pentru o notă egal temperată bazată pe A(4) = 440 Hz.

CAPITOLUL X

CONCLUZII GENERALE

- Scopul tezei de doctorat constă în analiza, modelarea și design-ul clopotului, în Biserică Răsăriteană, utilizând tehnologiile cele mai avansate care permit realizarea unei muzicalități impuse. S-a trecut de la design-ul manual la cel realizat cu ajutorul computer-ului, creându-se soft-uri speciale care să prevadă caracteristicile vibraționale ale clopotului pe baza profilului sau a aliajului, cum ar fi: soft-ul Re Shape - pentru analiza și reglarea modelelor sau soft-uri muzicale pentru analiza sunetelor: Wavanal, Sigview, Samuray.
- Avgând în vedere că nu toți oamenii au aceeași percepție auditivă, pentru a nu lăsa loc de interpretări și discuții, se impune a se utiliza programe specializate de analiză sonoră. Pe un computer dotat cu microfon se pot înregistra și vizualiza sunetele emise de un clopot reliefând dacă acestea sunete pure, sunt corect situate pe scara frecvențelor (fundamentală și armonice) și dacă nu apar și alte sunete pe diferențe frecvențe parazite datorate impurităților, ce pot da efectul de clopot "dogit". Clopotele nu se mai aleg la întâmplare după numărul de kg, ci pot fi alese după note muzicale, ele fiind turnate "din semiton în semiton" cu o precizie de o săisprezecime de semiton.
- În cazul clopotelor rusești, aglomerarea partialelor principale și tonurilor dă fiecărui clopot o "personalitate" distinctivă, astfel încât nu sunt două clopote care să sună exact la fel, chiar dacă au fost turnate în aceeași formă.
- Puritatea aliajului este o condiție indispensabilă pentru a obține un clopot de calitate. Prezența impurităților are o influență negativă asupra timbrului și sonorității clopotelor. Pentru clopote aliajul de bronz are următoarea compoziție chimică: 78% cupru și 22% staniu electrolitic, cu impurități admise <0,1% (plumb și zinc).

CONTRIBUȚII PROPRII

- În urma analizei globale a sunetelor de clopote de la diferențe lăcașuri de cult din România cu ajutorul soft-urilor Wavanal și Sigview, acordate în gamele: DO2-RE2-MI2 și separat MI1-SOL1-SI-RE2, s-a constatat existența unor discontinuități ale frecvențelor, iar în caz contrar sunetele au amplitudini și intensități diferențite. Deși se presupunea că se obțin aceleași note muzicale în cazul clopotelor de mase identice, acordate în aceeași gamă, a rezultat *unicitatea sunetelor de clopote imperceptibilă auditiv*.
- Constituirea *unei baze de date acustice* a clopotelor bisericești aparținând celor mai cunoscute lăcașuri de cult din România, rezultate în urma unui studiu comparativ complex al sunetelor emise, utilă în activitatea de proiectare, realizare și acordare muzicală a acestora.
- Măsurările sonometrice, cu aparatul de măsură a nivelului echivalent de zgomot PEAK TECH 5035 au pus în evidență *valorile maxime* înregistrate în momentul bătăii (impactului limbii de peretele clopotului) și *valorile minime* în timpul reverberației. Pe măsură creșterii distanței de măsurare a nivelului echivalent de zgomot față de sursă valorile sunetelor înregistrate sunt mai mici, cu variații de la tonuri puternice la tonuri mai slabe.
- Analiza spectrelor de sunete de clopote de la Mănăstirile Celic-Dere, Saon și Cocoș cu ajutorul soft-urilor Samuray și Wavanal reprezintă o modalitate modernă și de actualitate în vederea caracterizării acestora, fiind o amprentă specifică a clopotului, ajutând, pe de o parte, atât la diferențierea obiectivă a acestora, cât și la selectarea unui anumit clopot pentru o anumită destinație. Fiecare clopot, având o anumită formă, dimensiune și masă, are spectrul său sonor caracteristic de frecvențe și amplitudini, programul Wavanal scoțând în evidență dominata sonoră (prime, tice, quint, octave, etc.) a acestuia ceea ce constituie amprenta sa sonoră.
- În toate cazurile prezentate, analiza chimică a clopotelor indică variația în limite largi a conținutului de cupru de la 61,60 % la 85,25%. Conținutul de staniu în proporție de 20 % -25 % (cu valori chiar mai mari la Mănăstirea Celic Dere), se situează în apropierea domeniului de fragilitate maximă,

reprezentând un criteriu restricțiv pentru elementul principal de aliere. Prezența fierului (cu limitele de variație: 0,26 % - 4,52 %) și a plumbului (0,55% - 4,61%) în bronzul pentru clopoțe determină o reducere a durătății, iar sunetul va fi influențat negativ. Existența elementelor cum ar fi: aluminiul (cu limitele de variație 0,15 % - 3,54 %), fierul, nichelul (0,10 % - 2,29 %), manganul (0,30 %), determină înrăutățirea caracteristicilor sonore ale clopotelor.

6. *Nivelurile de presiune acustică în baza de octavi corespunzătoare curbelor Cz* s-au încadrat în limitele prevăzute de normativul NC0001-99, la valoarea de 100. Toate punctele rezultante au fost situate pe curbă sau în apropierea curbei Cz100, fiind influențate în mod direct de valorile maselor clopotelor.
7. Pe baza cercetărilor efectuate în ceea ce privește forma corelată cu acustica, a fost proiectat un clopot în trei variante germană, franțuzească și rusească, având următoarele caracteristici geometrice: D - diametrul mare: 196,4 mm, d - diametrul mic: 98,2 mm; H - înălțimea inclusiv corona: 186,6 mm; h - înălțimea până la umăr: 149,3 mm și G - masa totală: 7 kg.
8. Au fost stabilite ecuațiile ce conduc la obținerea profilelor de clopote.
 - Ecuațiile au ca bază de pornire condițiile la limită pentru proiectarea clopotului:
la înălțimea $h = 0$, diametrul $D_{\text{exterior}} \equiv D_{\text{interior}}$ = valoare maximă și condiția de maxim pentru grosime în dreptul buzei, aflată în secțiunea zonei de impact cu limba clopotului.
 - Ecuațiile razelor exterioare ale clopotelor, Rext1_GE, FR, RU (*GE, FR, RU - profilele de clopote: german, franțuzesc și rusească*).
 - sunt ecuațiile unor drepte, de forma: $y = ax + b$, existând unele mici variații ale coeficientului a și termenului liber b (când $x = 0$, $y = b$ = raza maximă R ext1).
 - Ecuațiile razelor exterioare și interioare ale clopotelor, Rext2 și Rint2_GE, FR, RU sunt polinomiale de gradul 6, având un coeficient corespunzător unei corelații foarte bune între înălțimea y și rază x exterioară/interioară sau altfel spus: cu cât crește înălțimea clopotului cu atât scade raza lui. S-a constatat că primii trei termeni ai ecuației polinomiale de gradul 6 sunt neglijabili, având coeficienții cu valori extrem de mici.
 - Ecuațiile razelor interioare Rint1_GE, FR, RU sunt toate polinomiale de gradul 3, având un coeficient de corelație maxim.
 - Se remarcă menținerea în toate cazurile a variațiilor de proporții L / R “*secțiunii de aur*”:
forma „germană”: $D_n = 14$ m, unghiul de la bază: $71^{\circ}27'$, raportul L / R: 1,57, L = 11 m;
forma „franțuzească”: $D_n = 15$ m, unghiul de la bază: $71^{\circ}47'$, raportul L / R: 1,6, L = 12 m;
forma „rusească”: $D_n = 12,5$ m, unghiul de la bază: $71^{\circ}47'$, raportul L / R: 1,6, L = 10 m.
 - În ceea ce privește sistemul de prindere - coroana: este amplă, dreaptă, în cazul clopotului rusesc și cu forme arcuite în celelalte două cazuri.
 - Verificând ecuațiile matematice ce generează profilul rusesc pe un clopot de la CELIC-DERE, având caracteristicile geometrice: $\varnothing = 780$ mm și $h = 592,2$ mm, a rezultat menținerea alurii curbelor, indicând corectitudinea stabilirii acestora.
 - Pornind de la proiectarea în stil franțuzesc a unui clopot cu o masa de 7 kg s-a ajuns la calcularea profilelor clopotelor cu ajutorul formulelor de construcție.
9. Construirea unui dispozitiv mecanic în vederea stabilirii: cotelor interioare și exterioare (diametrul și înălțimea), a condus la obținerea profilului clopotelor bisericesti și ecuațiilor pentru modelarea formei acestora, respectiv a volumului, și ulterior a masei acestuia.
10. Studiul comparativ privind tehnologia de formare-turnare a demonstrat eficiența formării clasice cu şablon a unui clopot bisericesc, cu cheltuieli reduse de materiale și pregătire a personalului, precum și execuția rapidă a formelor de turnare.
11. Profilul şablonului s-a executat după proiectul clopotului în stil franțuzesc, plecând de la ecuațiile pentru profilul interior și exterior stabilite în urma datelor experimentale, a celor existente în literatura de specialitate, precum și a datelor cu caracter informativ referitoare la unele clopoțe din România.

12. Execuția unui clopot în stil franțuzesc după metoda clasică de formare-turnare, în varianta cu şablon, a fost realizată după proiectul propriu, utilizând ecuațiile profilelor interioare și exterioare. Analiza chimică a clopotului, realizată cu spectrometru de fluorescență cu radiații X, indică următoarea variație a conținuturilor principalelor elemente constitutive a aliajului: cupru de la 74,41% la 75,21%, staniu de la 18,56% la 18,82%, indicând încadrarea acestora în limitele admisibile pentru bronzurile recomandate de literatura de specialitate în scopul realizării de clopote cu o acustică impusă. Din analiza Wavanal a parțialelor sunetelor clopotului proiectat și realizat, a rezultat nota muzicală corespunzătoare *RE bemol*.
13. În vederea proiectării unui clopot bisericesc este necesar să se stabilească: încadrarea într-un anumit stil (franțuzesc, rusesc, german etc.), ecuațiile profilelor interioare și exterioare (în vedere execuției şablonului pentru formare), relațiile matematice în vedere determinării volumului și a masei acestuia. În scopul realizării practice a unui clopot, având şablonul proiectat se trece la operația de formare-turnare, analiza chimică și metalografică, control ND, acordare muzicală, înregistrarea și analizarea sunetelor emise utilizând soft-uri adecvate, respectiv reacordarea lui muzicală după caz. Eșapele menționate sunt prezentate detaliat în prezența teză de doctorat, putându-se afirma că aceasta constituie un ghid util în problema analizei, modelării și design-ului clopotului bisericesc.

DIRECȚIILE VIITOARE DE CERCETARE

- Realizarea unei inventarieri privind caracteristicile constructive și sonore ale clopotelor de la lăcașurile de cult din România în scopul obținerii unei baze ample de date, deosebit de utilă în scopul proiectării de clopote de o acustică impusă.
- Utilizarea tehnologiilor moderne de formare și elaborare-turnare pentru a extinde posibilitatea de obținere a unui design nou cu o acordare precisă din punct de vedere muzical.

BIBLIOGRAFIE

1. ALDOSHINA, I.; NICANOROV, A., *The Investigation of Acoustical Characteristic of Russian Bells*, presented at the 108th Convention 2000, February 19-22 Paris, France, An Audio Engineering Society Preprint
2. BACIU, C.; ALEXANDRU, I., și a. *Știința materialelor metalice*, Editura Didactică și Pedagogică, București, 1996
3. BAUER, J., *Ursachen des Missklangs von Glocken*, Diplomarbeit an der Fachhochschule Heidelberg, Heidelberg, 2003
4. BAUER, J.; SCHIMDT, L., *Einfluss der Glockerzitter auf den Klang von Kirchenglocken* 2 S., Forum Akustische Qualitätssicherung 8, pp.12.1-12.6, 2004
5. BECONCINI, M. L.; BENNATI, S.; SALVATORE, W. *Structural characterisation of a medieval bell tower* First historical, experimental and numerical investigations, University of Pisa, pp.431-444, 2001
6. BONDARENKO, A.F., *Moskovskie kolokola XVII V.*, Moscow bells of the XVII th Century, Russkaya Panorama, Moscow, p.145,1998
7. BOTHA, A., *Investigating Bell Vibrations and Timbre from the Perspective of Physics and Music Psychology*. Diss. Rhodes University, Grahamstown, South Africa, 1996
8. BRAUN, M., *Bell tuning in ancient China*, A six-tone scale in a 12-tone system based on fifths and thirds, 2003
9. BRAUN, P. L. *Glocken in Europa*, Feature CD, Der Audio Verlag, 2000
10. CARCEA, I.; CIOCAN, M. HOPULELE, I., *Criterii de testare a materialelor pentru construcția clopotelor*, Conferința ARTCAST, Galați, 2004
11. CARCEA, I.; CIOCAN, M. HOPULELE, I., *Testarea aliajelor folosite la construcția clopotelor*, Conferința ARTCAST, Galați, 2004

12. CARTWRIGHT, J.H.E. ; GONZALEZ, D.L, PIRO O., *A New Nonlinear Model for Pitch Perception, Statistical Mechanics of Biocomplexity*, Eds. D. Reguera, M. Rubi, & J. Vilar, Lecture Notes in Physics vol. 527, pp. 205-216, Springer, 1999
13. CEANGĂ, E.; MUÑTEANU, I., *Semnale, circuite și sisteme, I - Analiza semnalelor*, Editura Academica, pp.35-37, 2001
14. COPPER DEVELOPMENT ASSOCIATION, *Equilibrium Diagrams*, Selected copper alloy diagrams illustrating the major types of phase transformation CDA, Publication No 94, 1992
15. CHENG, J.; LAN, C., *Experimental studies on sound and vibration of a two-tone Chinese Peace Bells*, Journal of Sound and Vibration 261, p. 351 - 355, 2003
16. CIOCAN, A.; BORDEI, M. BALINT, S., *Clopote, Istorie, Tipologie*, Revista Simpozionului Național „Turnătoria de la rigoarea tehnicii la artă”, Editura Academica, Galați, 2004
17. CIOCAN, A.;TUDOR, B., *Particularitățile producerii sunetului de clopot*, Revista Simpozionului Național „Turnătoria de la rigoarea tehnicii la artă”, Editura Academica, Galați, 2004
18. CIOCAN, M.; HOPULELE, I., *Clopotul, obiect de cult și subiect de cercetare științifică*, Revista Simpozionului Național „Turnătoria de la rigoarea tehnicii la artă”, Editura Academica, Galați, 2004
19. CORBIN, A., *Les cloches de la terre. Paysage sonore et culture sensible dans les campagnes au XIXe siècle* 359 S. Michel, Paris 1994, 2000
20. DOMŞA, Ş.; MIRON, Z., *Îndrumător pentru utilizarea fontelor, oțelurilor și aliajelor neferoase*, Editura Tehnică Bucureşti, 1985
21. FLOREA,GH.;DIMĂ, C.; TUDOR, B., *Tehnologia de turnare, prin proceșul Kroning clopotelor cu modele artistice*, Revista Simpozionului Național „Turnătoria de la rigoarea tehnicii la artă”, Editura Academica, Galați, 2004
22. FLOREA, GH.; CHIRIAC, AL.; FLOREA, B.; CROITORU Gh., *The models of art object obtained by stereolithography process*, Conferința ARTCAST Galați, 2008
23. FLOREA,GH.; CHIRIAC, AL.; FLOREA, B.; CROITORU, Gh., *Bronzuri folosite la turnarea clopotelor*, Revista Simpozionului Național „Turnătoria de la rigoarea tehnicii la artă”, Editura Academica, Galați, 2004
24. FLOREA, GH.; CHIRIAC, AL.; FLOREA, B.; CROITORU, Gh., *Forma clopotelor*, Revista de turnătoria, nr.5-6, p.17, 2005
25. FLOREA, GH.; VLĂDUȚ, A., *Turnarea clopotelor de mari dimensiuni*, Conferința ARTCAST, Galați, 2004
26. FORSTER, C., *Musical Mathematics - On the art and science of acoustic instruments*, Chronicle Books LLC, California, 2010
27. GARABET,M.;NEACŞU,I., *Sunete. Înregistrările*, Microsoft Partners in Learning, 2008
28. GÂDEA, S., *Manualul inginerului metalurg*, vol.I, Editura Tehnică, Bucureşti, p.1317, 1978
29. GÂDEA, S., *Manualul inginerului metalurg*, vol.II, Editura Tehnică, Bucureşti pp.120÷124, 1982
30. GERU, N., *Metalurgie fizică*, E.D.P. Bucureşti, 1981
31. GONAY, J.P., *Les cloches de l'église de Barvaux sur Ourthe*, Bulletin Campanaire n°26, Association Campanaire Wallonne, 2001
32. GRIGORE, C., *The History of Russian Orthodox Church in the 19 th Century (1800-1918)*, Science and religion as reflected in KOLOKOL journal, PhD, 2010
33. HAYASHI, M.; CIOCAN A., *Comparison between iron and copper-tin japanese buddhist bell based on acoustic characteristics*, 4th International Conference ARTCAST: Casting, from Rigor of Technique to Art, Univ.Dunărea de Jos of Galati, 2008
34. HERZEN, A., *Kolokol*, Publisher Nabu Press, 748 p., 2010
35. HEYMAN, J.; THRELFALL, B., *Inertia forces due to bell-ringing* in: International Journal of Mechanical Sciences, Bd. 18 , S. 161-164, 1976

36. HIBBERT, W.A., *The Quantification of Strike Pitch and Pitch Shifts in Church Bells*, Thesis, 2002
37. HIGSON, A., *The Introduction of Harmonic Tuning at Taylor's Bellfoundry*, in: Ringing World, S. 1085-1086, 2004
38. JUPP, E. W., *Bell Watching*, Intellect Ltd., British, 2003
39. KAMINSKI, J., *Kolokol: Spectres of the Russian Bell*, Dissertation, University and Technology, Sydney, 2006
40. KRAMER, K., *Klänge zwischen Himmel und Erde*, Eine lyrische Bilderreise durch die Kulturgegeschichte der Glocke, in Der Prüfingenieur, ISSN 1430-9084, H.28, S. 24-32, April 2006
41. LEHR, A., *From Theory to Practice*, Music Perception, Spring, Vo.4, No.3, pp.267-280, 1987
42. LINDSAY, J., *Encyclopedia of religion - Seasonal ceremonies*, Second Edition, Thomson Gale-The Thomson Corporation, no.11, p.8209, 2005
43. KEES, L.; HIELTJE, R., *Mathematical model for the bell motion*, project Old Church Delft,10 S., Delft University of Technology, 2004
44. KELLY, D. *The Sound of Bells*, in the The Ringing World, pp. 239-40, 394-7, 631-2, 749, 1997
45. LÖWISCH, G., *Das Glockengießergewerbe in Deutschland* 74 S. Lang, Frankfurt, 2005
46. LUKIANOV, F., *O scură istorie a clopotelor rusești*, The American Bell Association (ABA) International, Inc. The Bell Tower, vol.57, no.4, 1999
47. MÄRGINEAN I., *Cercetări privind mărirea compactității și îmbunătățirii calității pieselor turnate*, Teza de doctorat, UPB, 1995
48. McLACHLAN, N.; CABRERA, D., Calculated Pitch Sensations for New Musical Bell Designs in: *Proceedings of the 7th International Conference on Music Perception and Cognition*, Sydney, S. 600-603, 2002
49. McLACHLAN, N.; NIGJEH, B. K.; HASELL, A., The design of bells with harmonic overtones, *J. Acoust. Soc. Am.*, Volume 114, Issue 1, pp. 505-511, 2003
50. MEESTERS, M., Les cloches de la Basilique de Saint Hubert, *Bulletin Campanaire n°25*, Association Campanaire Wallonne, 2001
51. MITOȘERIU,O.; LEVCOVICI, D. T.; FILIP, G.L.; ORAC, L., *Identificarea și determinarea cuprului din aliaje speciale*, Conferința ARTCAST Galați, 2006
52. NEJNERU, C.; SURDU, I.; CIOCAN, M.; HOPULELE, I., Dimensional design of the bell with respect to acoustic vibration frequency, *Revista Simpozionului Național „Turnătoria de la rigoarea tehnicii la artă”*, Editura Academica, Galați, 2004
53. NIGJEH, B.K.; TRIVAILO, P.McLACHLAN, N., *Application of modal analysis to musical bell design*, Acoustics 2002 – Innovation in Acoustics and Vibration, Annual Conference of the Australian Acoustical Society, 2002, Adelaide, Australia
54. NISHIGUCHI, I.; TAKAZAWA, Y.; *Acoustics of Bonsho (Japanese temple bell)-Modal analysis by FEM*, Jpn. Acoust. Soc. Jpn. (J), 53, pp. 844-850, 1997
55. OANCEA, Ctin; GHEORGHIIEŞ, C.; CONDURACHE-BOTA S., *Complex analysis of the bells' sounds from the "Saint Trinity" Cathedral from Alba Iulia*, European Journal of Science & Theology, vol.7, No.4, pp.103-119, December, 2011
56. OANCEA, Ctin; GHEORGHIIEŞ, C.; CONDURACHE-BOTA, S., *Comparative analysis of bell sounds from several Romanian orthodox monasteries and churches*, Journal of Science and Art, 12(1):pp.199-204, 2010
57. FLOREA B., HAGIOGLU, P.; GHEORGHIIEŞ, C.; CANTARAGIU,A.M.; OANCEA, Ctin; ATANASIU, O.V., *Corrosion behaviour of some metallic samples in NaCl solution*, Metalurgia International, No.11, p.169, 2011
58. OANCEA, Ctin; GHEORGHIIEŞ, C; FLOREA, G; FLOREA B., *XRD Studies on superficial layer of steel subjected to fatigue process*, Metalurgia International, Volume: 15, Issue: 11, pp.: 66-68, 2010

59. FLOREA, G.; OANCEA, Ctin; GHEORGHIES, C., *New Achievements in Manufacturing of Church Bells*, pp. 155-157, Conferința ARCAST Galați 2010
60. FLOREA, G.; C. OANCEA; GHEORGHIIES, C.; GHEORGHIES, L. - *New Achievements in Manufacturing of Church Bells*, The Annals of "Dunarea de Jos" University of Galati. Fascicle IX. Metallurgy and Materials Science, No. 3, pp.42-47, ISSN 1453 – 083X, sept. 2010
61. GHEORGHIES, C.; GHEORGHIES, L.;OANCEA, Ctin; HAGIOGLU, P.; ATANASIU, O.V., *On the corrosion behavior of organic nanocomposite coatings*, The Annals of "Dunarea de Jos" University of Galati. Fascicle IX. Metallurgy and Materials Science, No. 2, ISSN 1453 – 083X, pp.38-41, 2009
62. GHEORGHIES, C.; LEVCOVICI, S.; PAUNOIU, V.; GHEORGHIES, L.; OSTACHE, I.; OANCEA, Ctin, ALEXANDRU P., *XRD Analysis in front of a corrosion crack tip*, The Annals of "Dunarea de Jos" University of Galati, Fascicle IX, Metallurgy and Materials Science No. 1, ISSN 1453 – 083X, pp.37-46, 2008
63. GHEORGHIES, C.; CIOCAN, O.; PAUNOIU, V.; OANCEA, Ctin, *Structural Changes Induced by hydrostatic Extrusion Process of Alumínium*, Proceedings of ICAA11, Aachen, Germany, vol. 2, pp.1280-1285, Sept.24-27, 2008
64. GHEORGHIES, C.; CIOCAN, O.; PAUNOIU, V.; OANCEA, Ctin, *Structural Changes Induced by hydrostatic Extrusion Process of Aluminum*, pp.1850-1858 Hirsch, Jürgen / Skrotzki, Birgit / Gottstein, Günter (Editors), *Aluminium Alloys, Their Physical and Mechanical Properties*, Wiley-VCH, Weinheim, Edition - October 2008
65. GHEORGHIES, C.; OSTACHE,I.; GHEORGHIES, L.; OANCEA, Ctin., *Using of Laser Radiation in micromachining process of metals*, Nonconventional Technologies Review - No. 4, pp.17-22, 2007
66. OKAMOTO, H., *Desk handbook: Phase Diagrams for Binary Alloys* – ASM International the Materials Information Society, pp.296-308, 2000
67. OKUMA T., *Historical change in the partial tone of temple*, J. Acoust. Soc. Jpn. (J), 54, pp. 119-126, 1998
68. OKUMA T.,*Sound Characteristic of restoration iron bell*, Annals of research of Fukushima Prefectural Culture Foundation, Fukushima Cultural Property Centre, Shirakawa branch. Jpn. (J), pp. 85-96, 2005
69. PAN, J., *Acoustical properties of ancient Chinese musical bells*, Proceedings of Acoustics, Adelaide, Australia, pp.1-7, 23-25 November, 2009
70. PERRIN, R.; SWALLOWE, G. M.; CHARNLEY, T.; MARSHALL, C.,*On the Debossing, Annealing and Mounting of Bells* in: Journal of Sound and Vibration 227, 2, S. 409-425, 1999
71. PERRIN, R.; SWALLOWE, G. M., *Rayleigh's bell model revisited* in: Proceedings of the Stockholm Music Acoustics Conference, Stockholm, S. 347-350, 2003
72. PETROSKI, H.J., *On the Cracked Bell*, Journal of Sound and Vibration, Volume 96, Issue4, 22 October, pp.485-493, 1984
73. POPA, E, Metode de prelucrare a semnalului muzical - Elemente de acustică, Ed. Artes, Iași, 2008
74. RAICHEL, D.R. The Science And Applications Of Acoustics, *Second edition*, University of New York, Springer Science-Business Media, Inc., 2006
75. RÂPĂ-BUICIU, D.; RÂCARIU, G., Marginalii asupra terminologiei românești privind metalurgia și artefactele obținute prin turnare în epoca medievală. Conferința Națională „Turnătoria de la rigoarea tehnicii la artă”, p. 236-237, Galați, 14-15 mai, 2004
76. ROOZEN-KROON-P.J.M., Structural optimization of bells, *PhD-thesis*, Eindhoven University of Technology, The Netherlands, 1992
77. ROSSING, T. D.,*The Science of Sound*, Northern Illinois University, Addison-Wesley Publishing Company, Inkom till KTH, pp. 214-219, 2000
78. ROSSING, T. D.;FLETCHER, N.H., Principles of vibration and sound, 2nd ed., Springer Science Business Media, 2004
79. ROSSING, T. D., *Science of percussion instruments*, World Scientific Publishing Co.Pte.Ltd, 2005

80. RUPP, A.; FLADE, D., Bestimmung von Einflussgrößen auf die Lebensdauer von Glocken, *LBF Bericht 8382, Verein Deutscher Gießereifachleute VDG, Verband Deutscher, Glockegießereien*, 1999
81. RUPP, A., Ringing Bells – State of the Art in the Durability Evaluation of Church Bells, *Development and Evaluation, LAVEK Ljubljana, Slovenija*, 2006
82. RUSSELL, A. M.; LEE, K.L., Structure, property relations in nonferrous metals, Publishing Company: Wiley Interscience, John Wiley & Sons, Inc., Hoboken, NJ, USA, p.302, 2005
83. SCHAD, C.R.; Warlimont, H., *Acoustical Investigation of the influence of the material on the Sound of Bells* in: *Acustica* 29, S.1-14,1973
84. SCHILLING, M., *Glocken, Gestalt, Klang und Zier* 369 S., Dresden, 1988
85. SCHMIDT, L.; BAUER, J.; KOTTERBA, B., *Acoustic analysis of sonority and discord of church bells*, Manuscript zum Vortrag auf der DAGA 2 S, 2004
86. SCHOOPS, A.J.G., *Experimental design and structural optimization*, PhD-thesis, Eindhoven University of Technology, The Netherlands, 1987
87. SCHOUTEN, J.F., *The Residue Revisited* in: *Periodicity Detection in Hearing*, S. 41-58, 1970
88. SEBASTIAN, L., *Subsidios para a historia da fundicao sineira em Portugal*, Museu Municipal de Coruche, p.36, 2008
89. SEMEN, P., *Arheologie biblică în actualitate*, Editura Mitropoliei Moldovei și Bucovinei, Iași, p.16-17,1997
90. SIEBERT, A., BLANKENHORN, G., SCHWEIZERHOF,K., *Investigation the Vibration Behavior and Sound of Church Bells Considering Ornaments and Reliefs Using LS-DYNA*, 9th International LS -DYNA Users Conference, pp.8.1-8.12, 2006
91. SMITH D., *A paradox of musical pitch*, Monitor Staff, Vol 32, No. 6, p. 68, July 2001
92. SOFRONIU L., BRABIE V., BRATU C-tin, *Bazele teoretice ale turnării*, Editura Didactică și Pedagogică București, 1980
93. SPIESS, H.; LAU, B.; WRIGGERS, P., *Analysis of the initial vibrations of a bell*, Institute of Mechanics and Computational Mechanics, 2004
94. STRÎMBU, Ctin, *Semnale și circuite electronice – Analiza și prelucrarea semnalelor*, Editura Academiei Forțelor Aeriene "Henri Coandă", Brașov, 2007
95. SUZUKI, Y.; MELLERT, V.; RICHTER, U.; MOLLER, H.; NIELSEN, L.; HELLMAN, R.; ASHIHARA, K.; OZAWA, K.; TAKESHIMA, H., *Precise and full-range determination of two-dimensional equal loudness contours*, NEDO project for ISO revision (E), 2000
96. SWALLOE, GERRY M.; PERRIN, R., *On the Strike Note of Bells* in: *Proceedings on the International Symposium on Musical Acoustics*, Perugia, S. 367-370, 2001
97. TAKESHIMA, H.; SUZUKI, Y.; KUMAGAI, M.; SONE, T.; FUJIMORI T.; MIURA, H., *Threshold of hearing for pure tone under free-field listening conditions*, *J. Acoust. Soc. Jpn.(E)*, 15, pp. 159-169,1994
98. TAYLOR,N., *Tuning, Temperaments and Bells*, Change Ringing Resources, 2002
99. TERHARDT, E.; STOLL, G.; SEEWANN, M., *Pitch of complex signals according to virtual-pitch theory*, Tests, examples, and predictions in: *Journal of the Acoustical Society of America* 71, S. 671-678, 1982
100. TERHARDT, E.; SEEWANN, M., *Auditive und objektive Bestimmung der Schlagtonhöhe von historischen Kirchenglocken*, *Acustica*, Bd.54, N 3.S, 129-144, 1984
101. TRUAX, B., *Handbook for acoustic ecology*, No.5, The Music of the Environment Series, R. Murray Schafer Series Editor, World Soundscape project, Second Edition, 1999
102. WERNISCH, J., *Untersuchungen an Kirchenglocken unter besonderer Berücksichtigung des Klangverhaltens, der Konstruktion und der Werkstoffeinflüsse* – Dissertation, 2004
103. WILLIAMS, E.V., *The Bells of Russia*, History and Technology 275 S., Princeton Univ., 1985
104. WILSON, C. E., *Noise Control, Malabar, FL, United States*: Krieger Publishing Company, 2006.

